

Annex 2: Resultats del model d'onatge

En la següent taula es presenta la nomenclatura utilitzada per a les diferents configuracions del model SWAN:

Taula 1: Configuració del model SWAN per a un camp de vents determinat en funció de la resolució del seu domini, els camps de vents i les dades del contorn.

Número de la configuració	Resolució dels dominis model SWAN (km)		
	ESPACIAL	VENTS	CONTORN
1	9x9	9x9	-
2	3x3	9x9	9x9
3	3x3	3x3	9x9
4	1x1	9x9	9x9
5	1x1	3x3	9x9
6	1x1	3x3	3x3
7	1x1	1x1	9x9
8	1x1	1x1	3x3

Pel que fa a la nomenclatura dels dominis (d), camps de vent (v) i *inputs* del contorn (i), es considera que '1' correspon a una resolució de 9x9 km, '2' correspon a una resolució de 3x3 km i '3' correspon a una resolució de 1x1 km. A continuació es mostren els resultats del model d'onatge en cada una de les localitzacions d'on es disposaven dades d'onatge.

Boia 1: Pont del Petroli

Altura d'ona significant

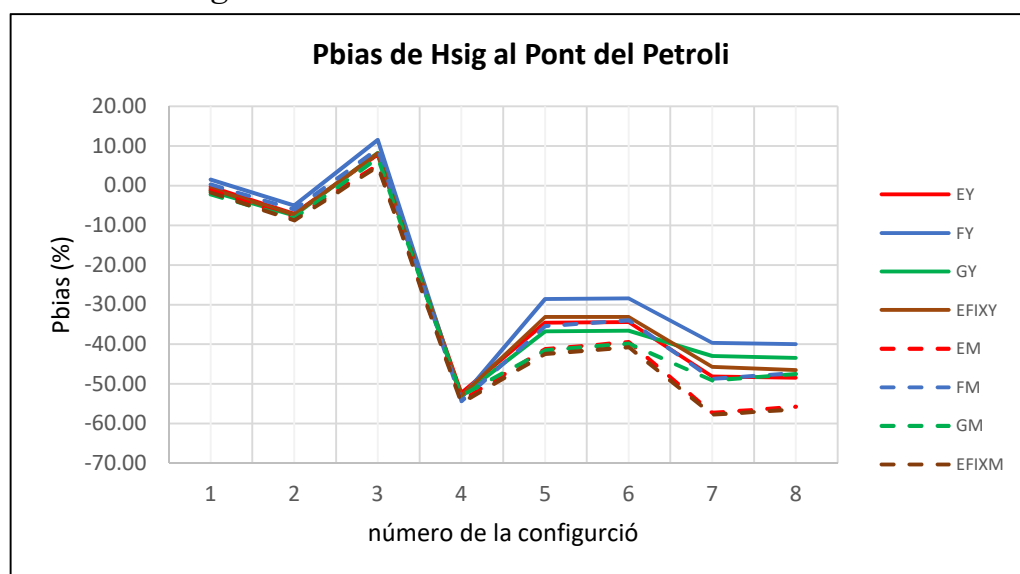


Figura 1: Evolució del Pbias del Període de pic al Pont del Petroli per a cada una de les configuracions del model SWAN forçat amb camps de vent provinents de cada una de les configuracions del model WRF.

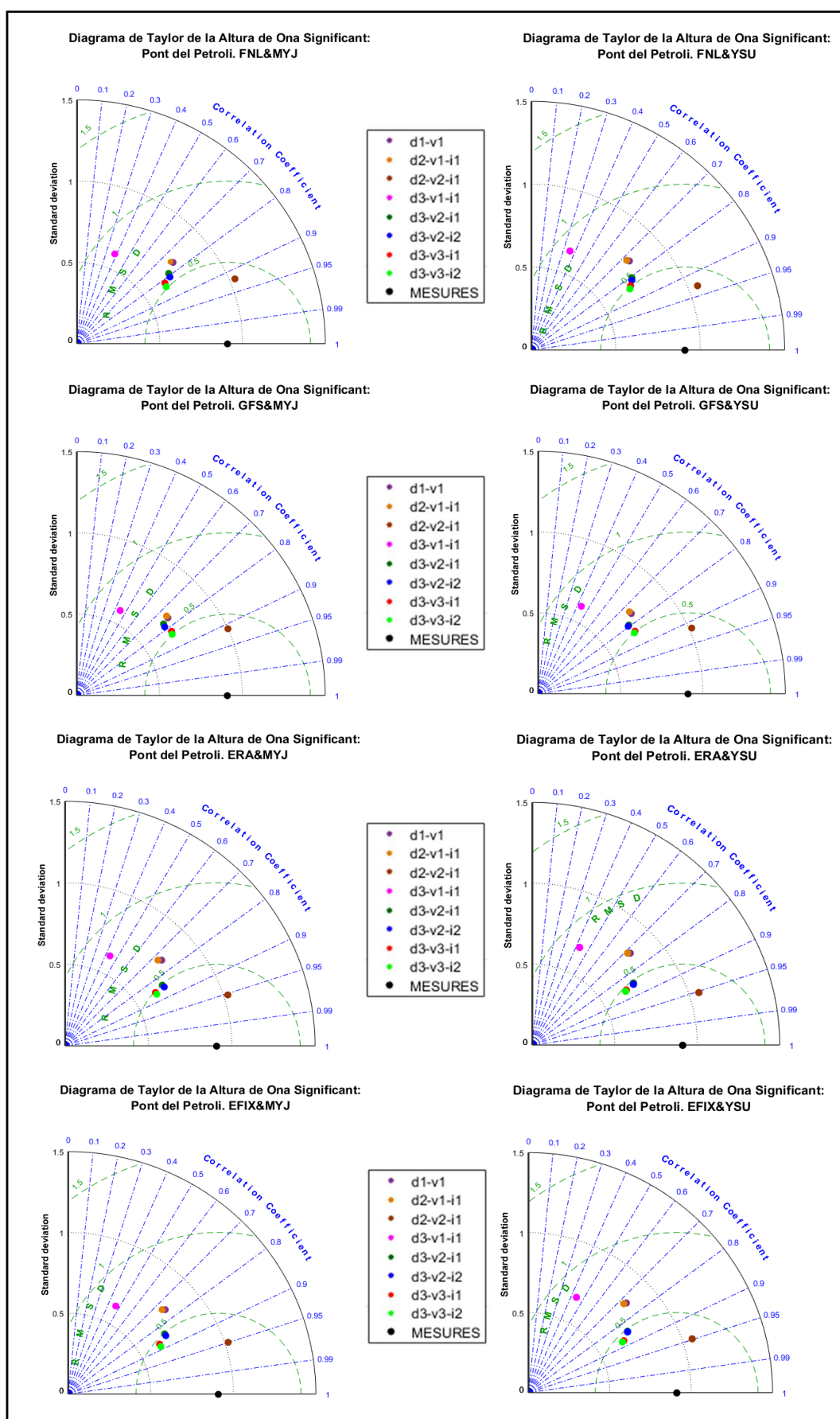


Figura 2: Diagrames de Taylor de l'altura d'ona significant al Pont del Petroli per a cada una de les configuracions del model SWAN forçat amb camps de vent provinents de cada una de les configuracions del model WRF.

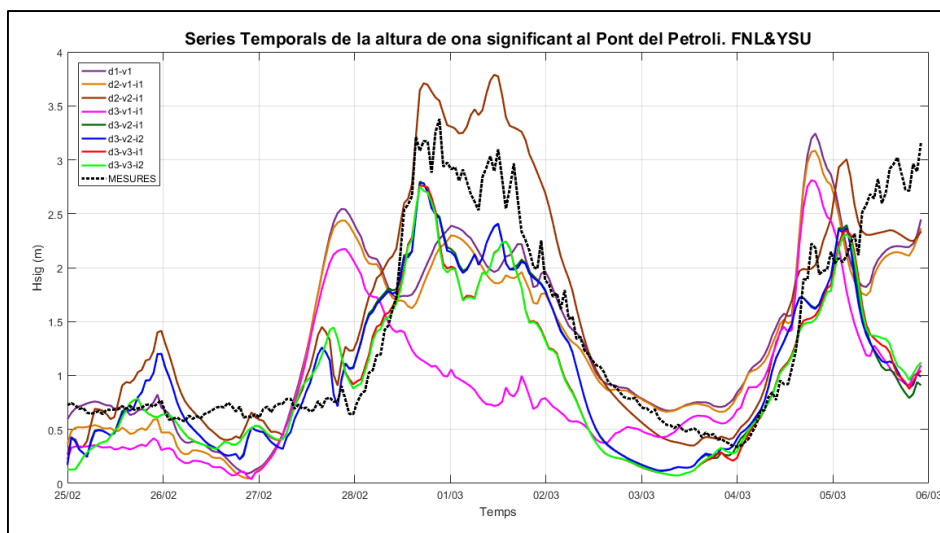


Figura 3: Sèries temporals de l'altura d'ona significant, en les diferents configuracions del model SWAN, al Pont del Petroli per al camp de vents resultant de la configuració FNL & YSU del model WRF.

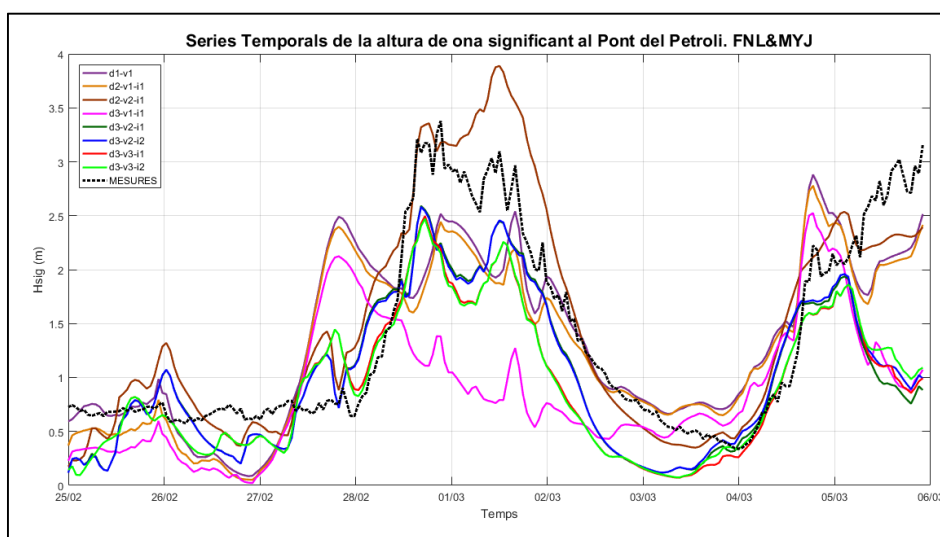


Figura 4: Sèries temporals de l'altura d'ona significant, en les diferents configuracions del model SWAN, al Pont del Petroli per al camp de vents resultant de la configuració FNL & MYJ del model WRF.

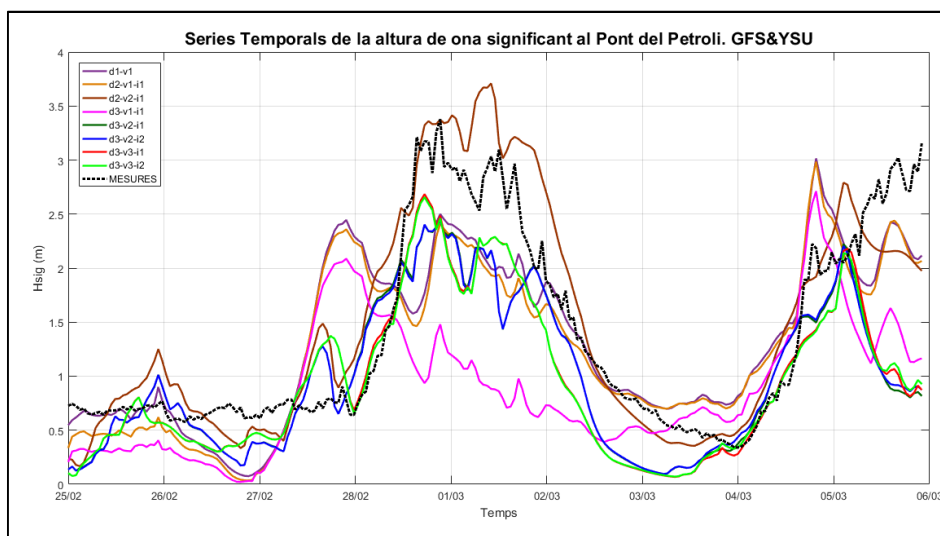


Figura 5: Sèries temporals de l'altura d'ona significant, en les diferents configuracions del model SWAN, al Pont del Petroli per al camp de vents resultant de la configuració GFS & YSU del model WRF.

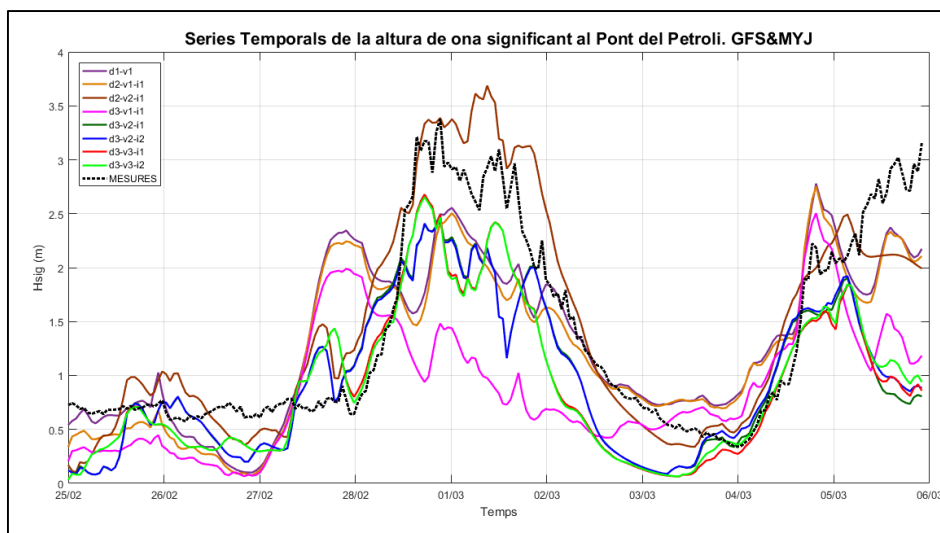


Figura 6: Sèries temporals de l'altura d'ona significant, en les diferents configuracions del model SWAN, al Pont del Petroli per al camp de vents resultant de la configuració GFS & MYJ del model WRF.

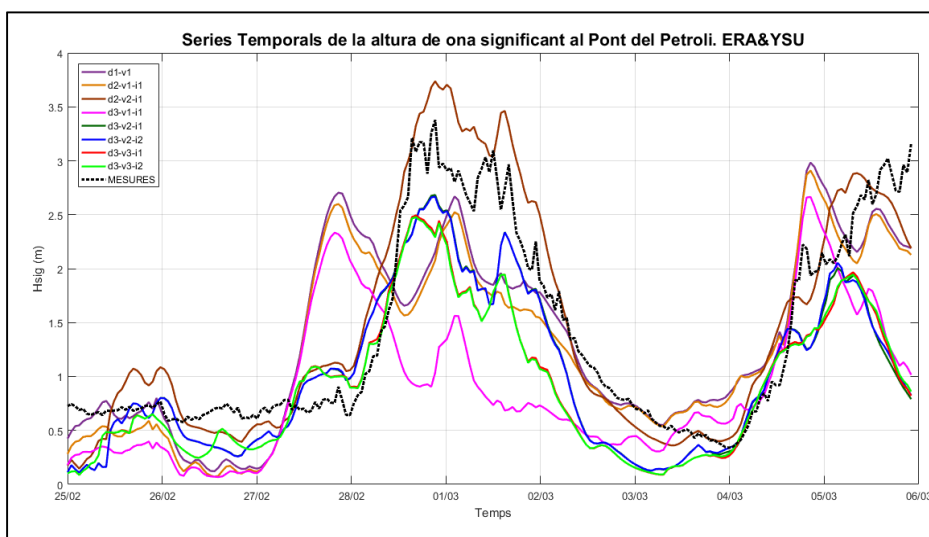


Figura 7: Sèries temporals de l'altura d'ona significant, en les diferents configuracions del model SWAN, al Pont del Petroli per al camp de vents resultant de la configuració ERA & YSU del model WRF.

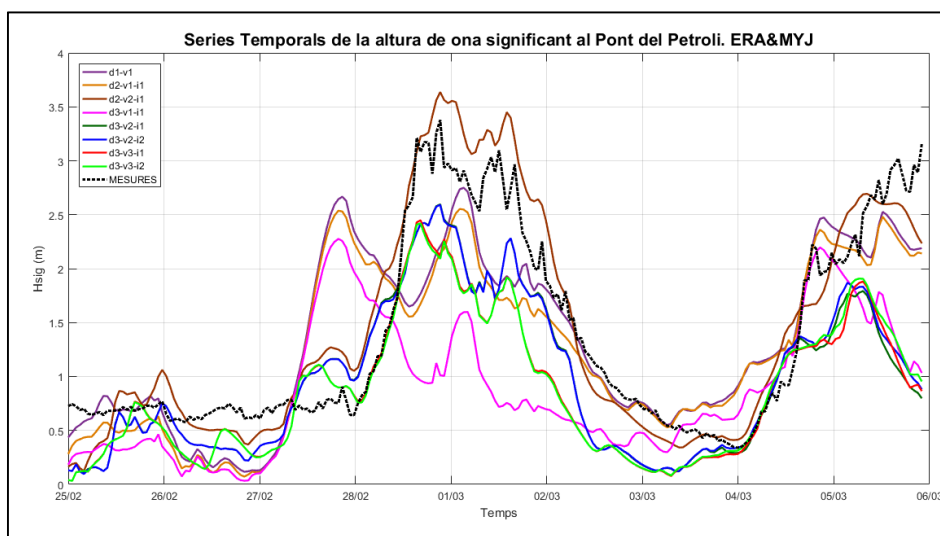


Figura 8: Sèries temporals de l'altura d'ona significant, en les diferents configuracions del model SWAN, al Pont del Petroli per al camp de vents resultant de la configuració ERA & MYJ del model WRF.

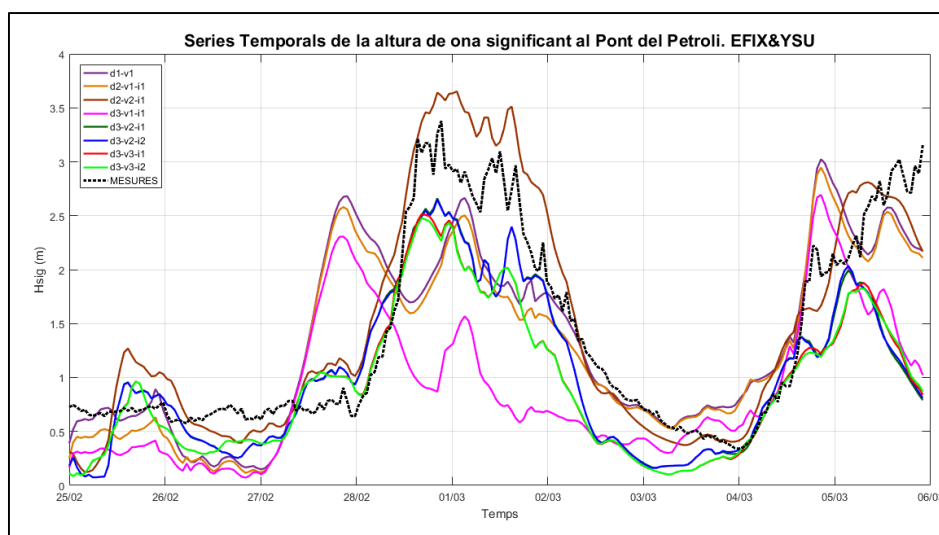


Figura 9: Sèries temporals de l'altura d'ona significant, en les diferents configuracions del model SWAN, al Pont del Petroli per al camp de vents resultant de la configuració EFIX & YSU del model WRF.

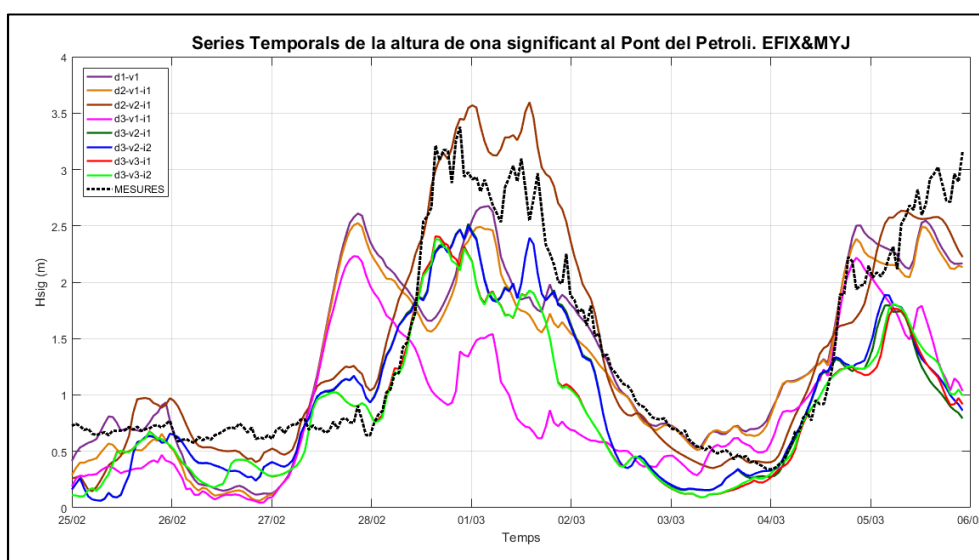


Figura 10: Sèries temporals de l'altura d'ona significant, en les diferents configuracions del model SWAN, al Pont del Petroli per al camp de vents resultant de la configuració EFIX & MYJ del model WRF.

Taula 2: Paràmetres estadístics de l'altura d'ona significant al Pont del Petroli per cada una de les configuracions del model SWAN forçat amb el camp de vents resultant de cada una de les configuracions del model WRF, respecte de les mesures. Pbias mesura la desviació, STD és la desviació estàndard, CRMSD és l'error quadràtic mig centrat i el Coef. Correlació mesura l'ajust.

HsigBoia1	Configuració SWAN	Pbias (%)	STD	CRMSD	Coef. Correlació
Mesures		0.00	0.91	0.00	1.00
EM	1	-1.15	0.78	0.62	0.74
	2	-8.16	0.77	0.63	0.73
	3	5.27	1.02	0.32	0.95
	4	-54.16	0.61	0.85	0.44
	5	-41.16	0.69	0.50	0.84
	6	-39.43	0.70	0.48	0.86
	7	-57.25	0.63	0.49	0.85
	8	-55.71	0.63	0.48	0.87

<i>HsigBoia1</i>	<i>Configuració SWAN</i>	<i>Pbias (%)</i>	<i>STD</i>	<i>CRMSD</i>	<i>Coef. Correlació</i>
EY	1	-0.37	0.82	0.65	0.72
	2	-7.13	0.81	0.66	0.72
	3	7.77	1.06	0.34	0.95
	4	-52.27	0.67	0.87	0.43
	5	-34.59	0.72	0.48	0.85
	6	-34.36	0.72	0.48	0.85
	7	-48.08	0.66	0.48	0.86
	8	-48.40	0.66	0.48	0.86
FM	1	0.34	0.76	0.60	0.76
	2	-6.02	0.76	0.61	0.75
	3	9.29	1.03	0.40	0.92
	4	-54.32	0.60	0.88	0.38
	5	-35.38	0.70	0.56	0.79
	6	-33.90	0.70	0.54	0.81
	7	-48.69	0.65	0.53	0.82
	8	-47.23	0.64	0.51	0.84
FY	1	1.53	0.79	0.63	0.73
	2	-5.04	0.78	0.64	0.72
	3	11.53	1.06	0.39	0.93
	4	-53.53	0.64	0.91	0.36
	5	-28.62	0.74	0.54	0.81
	6	-28.44	0.73	0.53	0.82
	7	-39.62	0.70	0.50	0.83
	8	-39.96	0.69	0.49	0.84
GM	1	-2.16	0.73	0.60	0.76
	2	-8.20	0.73	0.61	0.74
	3	6.99	1.00	0.41	0.91
	4	-52.91	0.58	0.83	0.45
	5	-41.50	0.68	0.58	0.77
	6	-39.77	0.68	0.57	0.78
	7	-49.10	0.69	0.52	0.82
	8	-47.50	0.69	0.50	0.84
GY	1	-1.41	0.75	0.60	0.75
	2	-7.55	0.75	0.62	0.74
	3	8.23	1.02	0.41	0.92
	4	-53.03	0.60	0.84	0.44
	5	-36.71	0.69	0.56	0.79
	6	-36.61	0.69	0.55	0.80
	7	-42.97	0.71	0.50	0.84
	8	-43.41	0.70	0.50	0.84
EFIXM	1	-1.75	0.79	0.61	0.75
	2	-8.76	0.77	0.63	0.74
	3	4.89	1.02	0.33	0.95
	4	-54.71	0.62	0.83	0.47

<i>HsigBoia1</i>	<i>Configuració SWAN</i>	<i>Pbias (%)</i>	<i>STD</i>	<i>CRMSD</i>	<i>Coef. Correlació</i>
	5	-42.36	0.69	0.50	0.84
	6	-40.71	0.69	0.48	0.85
	7	-57.70	0.64	0.47	0.87
	8	-56.35	0.63	0.46	0.89
<i>EFIXY</i>	1	-0.83	0.82	0.64	0.73
	2	-7.25	0.81	0.64	0.72
	3	8.14	1.06	0.35	0.95
	4	-52.96	0.66	0.86	0.44
	5	-33.08	0.72	0.49	0.85
	6	-33.13	0.72	0.49	0.85
	7	-45.73	0.67	0.46	0.87
	8	-46.49	0.66	0.46	0.88

Període de Pic

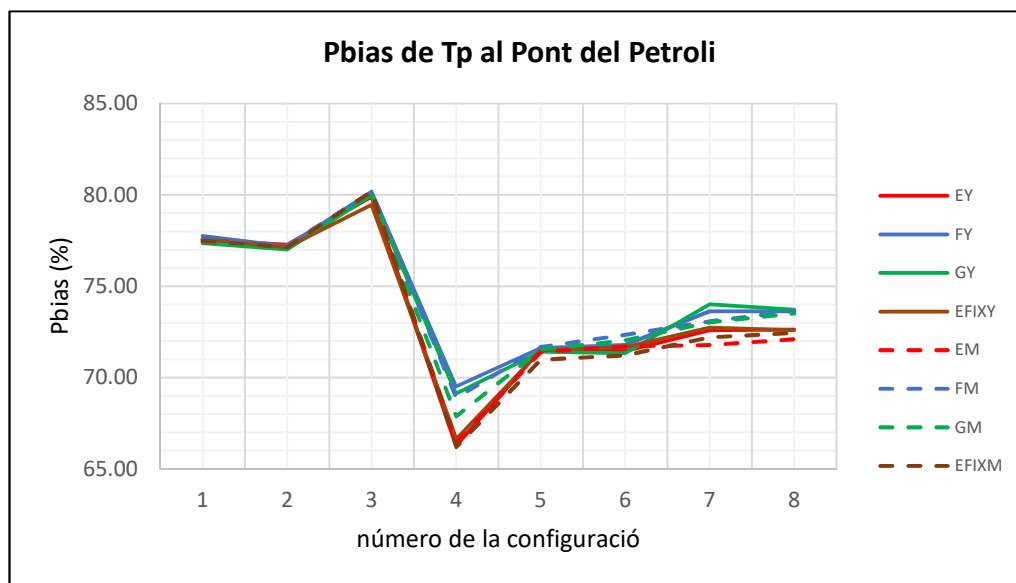


Figura 11: Evolució del Pbias del període de pic al Pont del Petroli per a cada una de les configuracions del model SWAN forçat amb camps de vent provinents de cada una de les configuracions del model WRF.

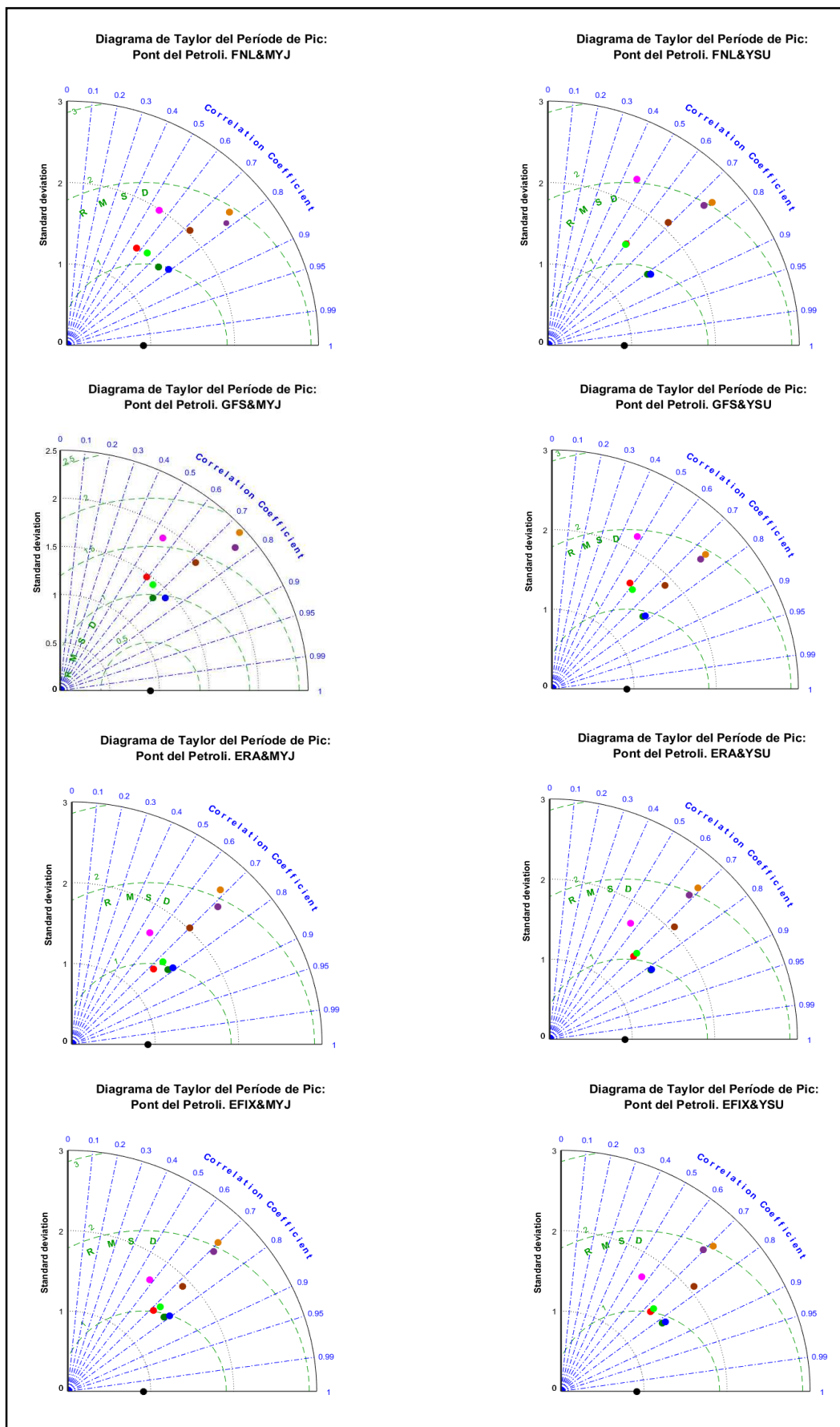


Figura 12: Diagrames de Taylor del període de pic al Pont del Petroli per a cada una de les configuracions del model SWAN forçat amb camps de vent provinents de cada una de les configuracions del model WRF.

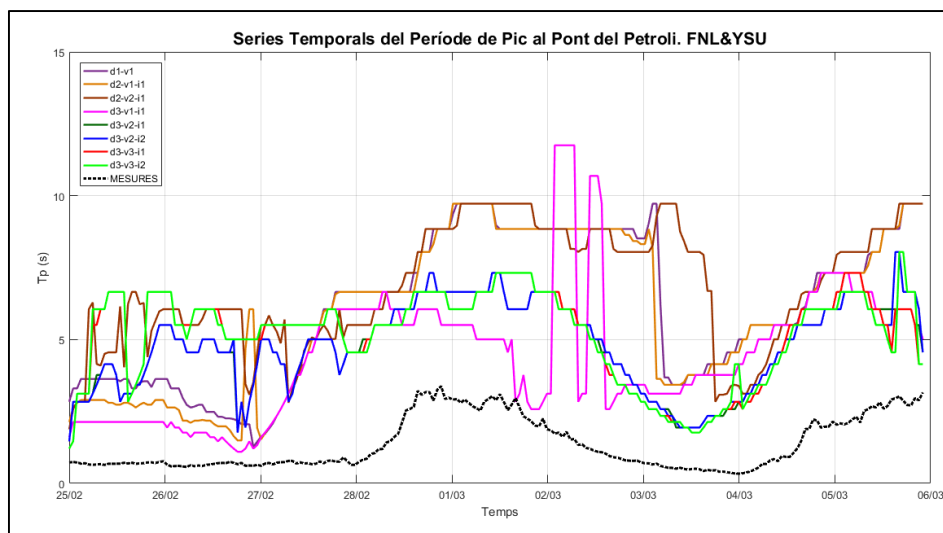


Figura 13: Sèries temporals del període de pic, en les diferents configuracions del model SWAN, al Pont del Petroli per al camp de vents resultant de la configuració FNL & YSU del model WRF.

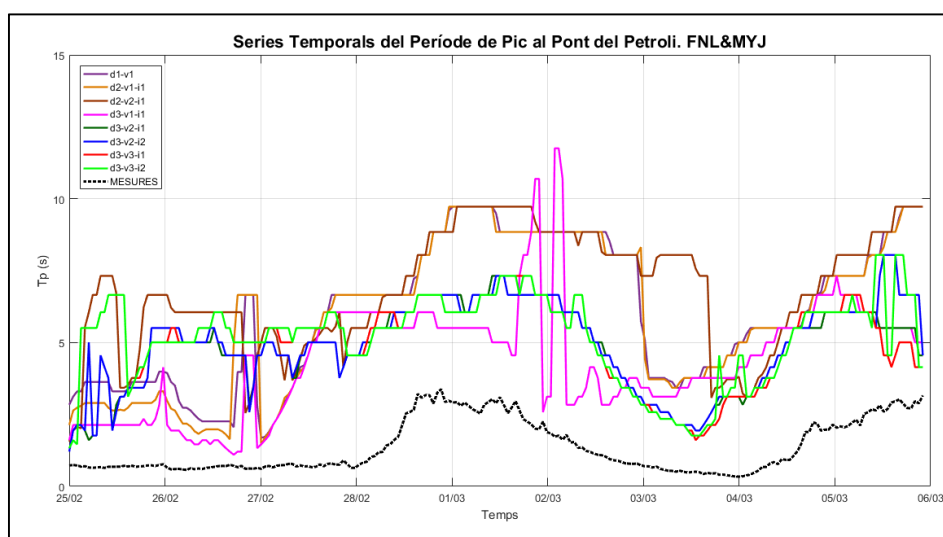


Figura 14: Sèries temporals del període de pic, en les diferents configuracions del model SWAN, al Pont del Petroli per al camp de vents resultant de la configuració FNL & MYJ del model WRF.

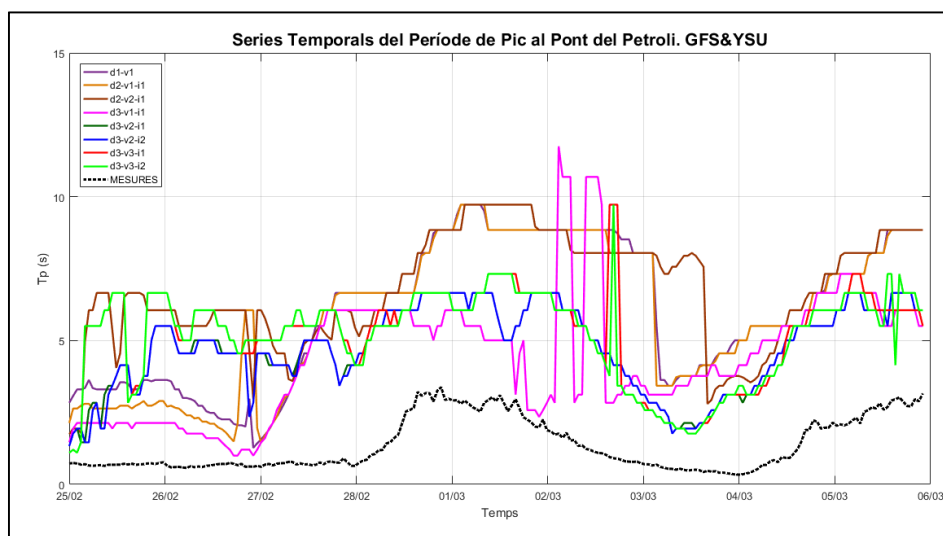


Figura 15: Sèries temporals del període de pic, en les diferents configuracions del model SWAN, al Pont del Petroli per al camp de vents resultant de la configuració GFS & YSU del model WRF.

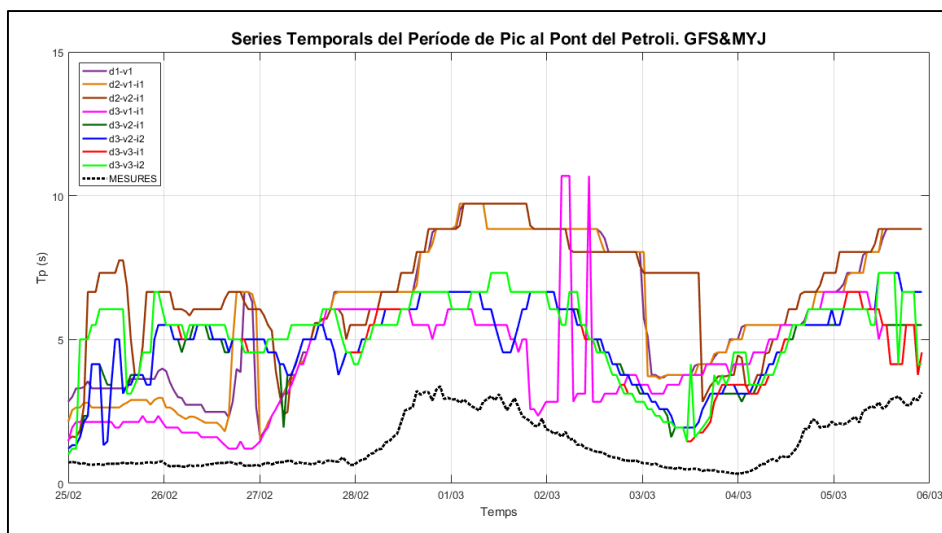


Figura 16: Sèries temporals del període de pic, en les diferents configuracions del model SWAN, al Pont del Petroli per al camp de vents resultant de la configuració GFS & MYJ del model WRF.

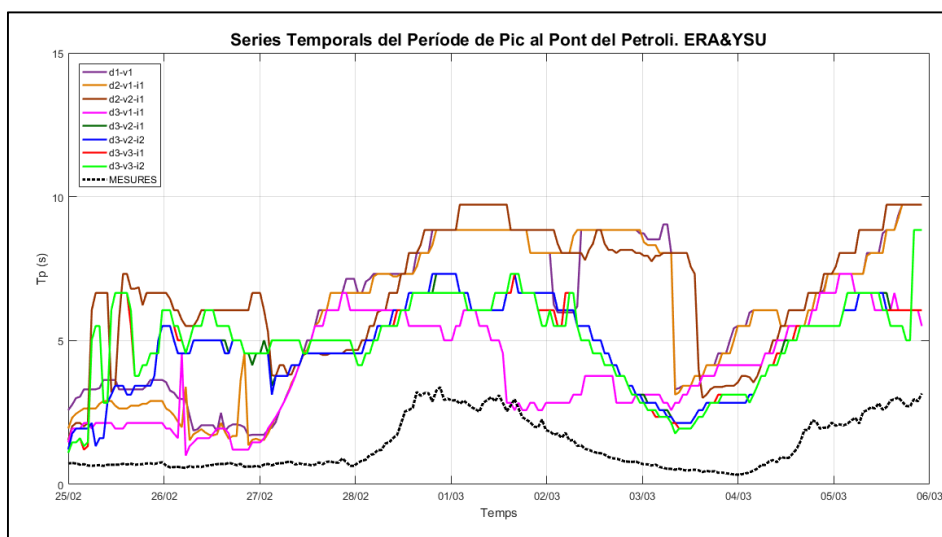


Figura 17: Sèries temporals del període de pic, en les diferents configuracions del model SWAN, al Pont del Petroli per al camp de vents resultant de la configuració ERA & YSU del model WRF.

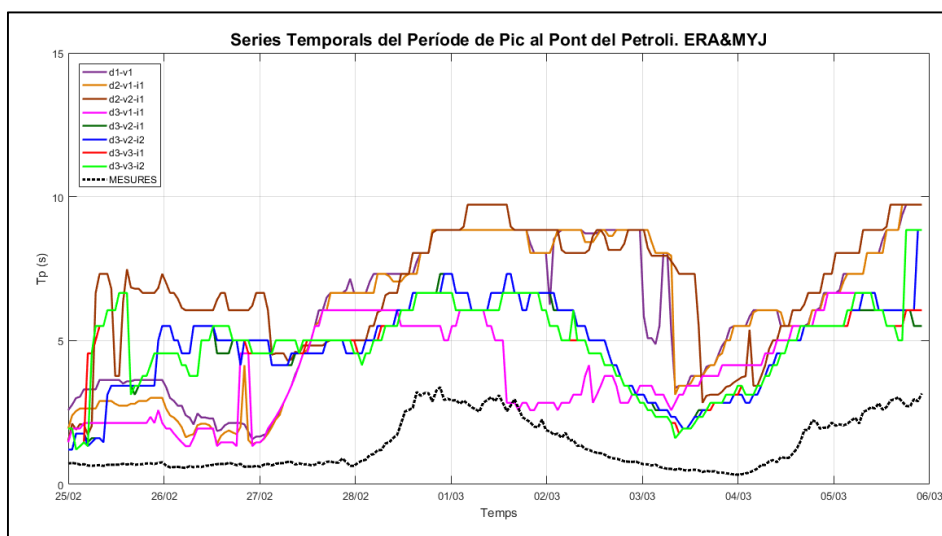


Figura 18: Sèries temporals del període de pic, en les diferents configuracions del model SWAN, al Pont del Petroli per al camp de vents resultant de la configuració ERA & MYJ del model WRF.

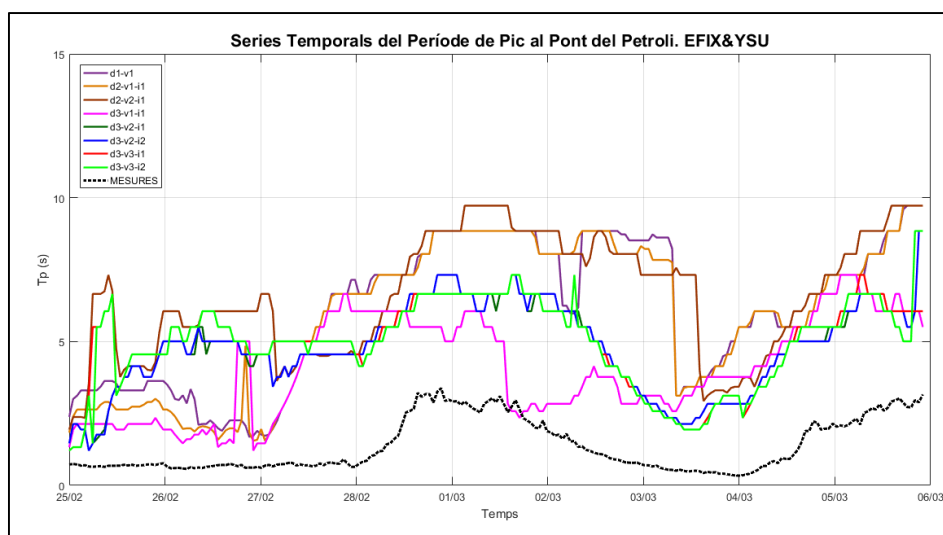


Figura 19: Sèries temporals del període de pic, en les diferents configuracions del model SWAN, al Pont del Petroli per al camp de vents resultant de la configuració EFIX & YSU del model WRF.

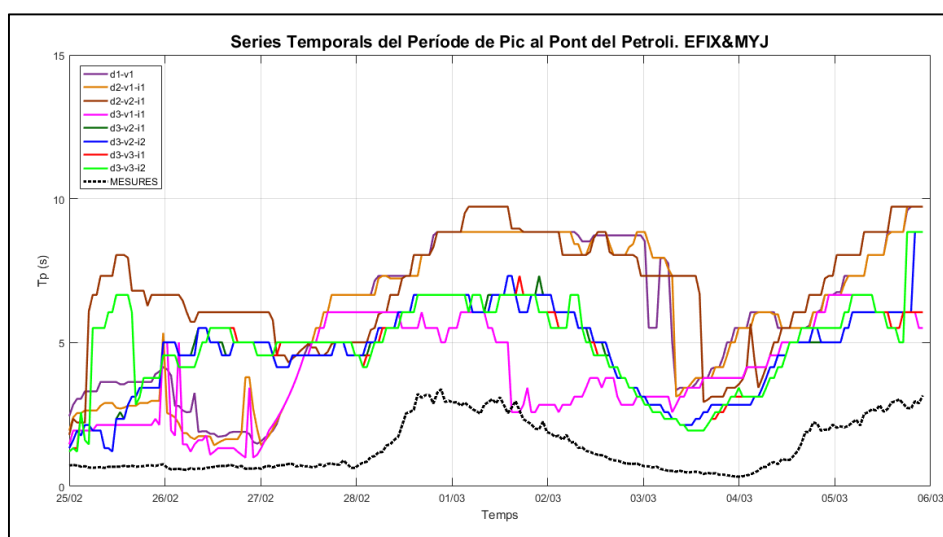


Figura 20: Sèries temporals del període de pic, en les diferents configuracions del model SWAN, al Pont del Petroli per al camp de vents resultant de la configuració EFIX & MYJ del model WRF.

Taula 3: Paràmetres estadístics del període de pic al Pont del Petroli per cada una de les configuracions del model SWAN forçat amb el camp de vents resultant de cada una de les configuracions del model WRF, respecte de les mesures. Pbias mesura la desviació, STD és la desviació estàndard, CRMSD és l'error quadràtic mig centrat i el Coef. Correlació mesura l'ajust.

TpBoia1	Configuració SWAN	Pbias (%)	STD	CRMSD	Coef. Correlació
Mesures		0.00	0.91	0.00	1.00
EM	1	77.43	2.44	1.90	0.72
	2	77.22	2.61	2.10	0.68
	3	80.09	2.02	1.52	0.70
	4	66.45	1.67	1.38	0.56
	5	71.41	1.48	0.96	0.78
	6	71.72	1.54	0.99	0.79
	7	71.79	1.35	0.94	0.72
	8	72.10	1.49	1.04	0.73

<i>TpBoia1</i>	<i>Configuració SWAN</i>	<i>Pbias (%)</i>	<i>STD</i>	<i>CRMSD</i>	<i>Coef. Correlació</i>
<i>EY</i>	1	77.54	2.47	1.96	0.68
	2	77.27	2.60	2.08	0.69
	3	79.90	2.06	1.53	0.73
	4	66.26	1.75	1.45	0.56
	5	71.50	1.50	0.92	0.82
	6	71.45	1.51	0.93	0.82
	7	72.59	1.45	1.04	0.70
	8	72.62	1.51	1.09	0.70
<i>FM</i>	1	77.57	2.42	1.80	0.78
	2	77.26	2.54	1.93	0.76
	3	80.17	2.04	1.52	0.72
	4	68.90	1.99	1.67	0.55
	5	71.69	1.46	0.98	0.75
	6	72.34	1.53	0.98	0.79
	7	73.08	1.46	1.20	0.57
	8	73.67	1.48	1.14	0.64
<i>FY</i>	1	77.75	2.54	1.96	0.74
	2	77.19	2.63	2.05	0.74
	3	80.18	2.08	1.60	0.69
	4	69.51	2.30	2.04	0.46
	5	71.62	1.48	0.92	0.81
	6	71.78	1.51	0.93	0.82
	7	73.63	1.56	1.25	0.60
	8	73.63	1.54	1.24	0.60
<i>GM</i>	1	77.45	2.31	1.72	0.76
	2	77.14	2.44	1.87	0.74
	3	80.06	1.91	1.41	0.72
	4	67.88	1.90	1.59	0.55
	5	71.55	1.34	0.96	0.70
	6	72.05	1.43	0.98	0.74
	7	73.04	1.47	1.18	0.59
	8	73.51	1.44	1.10	0.65
<i>GY</i>	1	77.36	2.43	1.86	0.74
	2	77.01	2.52	1.94	0.74
	3	79.98	1.90	1.38	0.73
	4	69.12	2.17	1.92	0.48
	5	71.41	1.44	0.93	0.77
	6	71.33	1.46	0.95	0.78
	7	74.01	1.64	1.33	0.58
	8	73.71	1.58	1.25	0.62
<i>EFIXM</i>	1	77.50	2.48	1.94	0.71
	2	77.15	2.59	2.06	0.70
	3	80.19	1.90	1.39	0.73
	4	66.20	1.71	1.39	0.58

<i>TpBoia1</i>	<i>Configuració SWAN</i>	<i>Pbias (%)</i>	<i>STD</i>	<i>CRMSD</i>	<i>Coef. Correlació</i>
	5	70.98	1.48	0.96	0.78
	6	71.22	1.55	0.99	0.79
	7	72.22	1.44	1.01	0.72
	8	72.46	1.54	1.07	0.73
EFIXY	1	77.58	2.45	1.93	0.70
	2	77.13	2.58	2.03	0.71
	3	79.47	2.07	1.48	0.77
	4	66.64	1.72	1.43	0.56
	5	71.50	1.49	0.90	0.82
	6	71.67	1.53	0.93	0.82
	7	72.74	1.46	1.00	0.74
	8	72.60	1.52	1.05	0.74

Boia 2: Barcelona II (REDCOS)

Altura d'ona significant

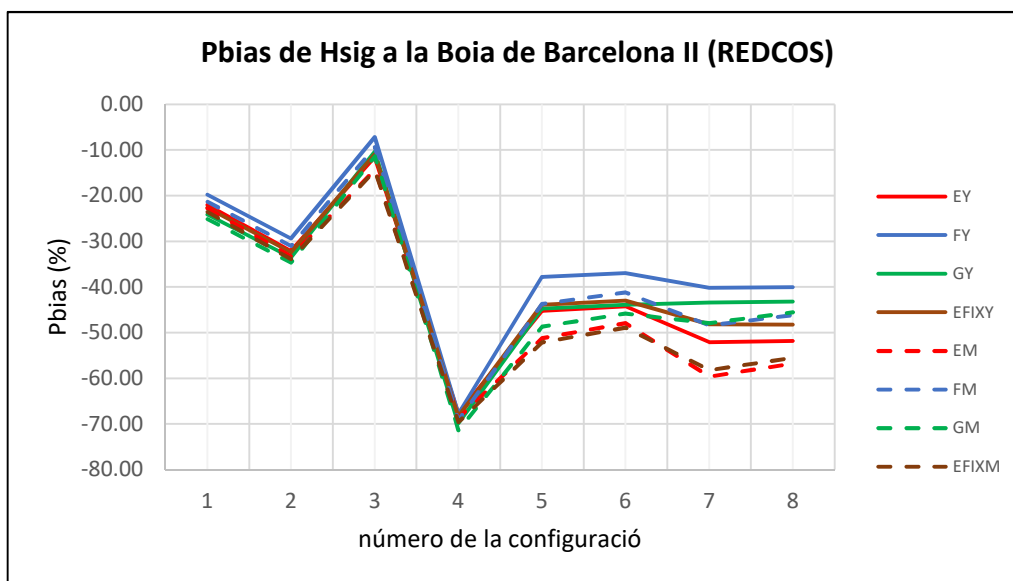


Figura 21: Evolució del Pbias del l'altura d'ona significant a la boia de Barcelona II per a cada una de les configuracions del model SWAN forçat amb camps de vent provinents de cada una de les configuracions del model WRF.

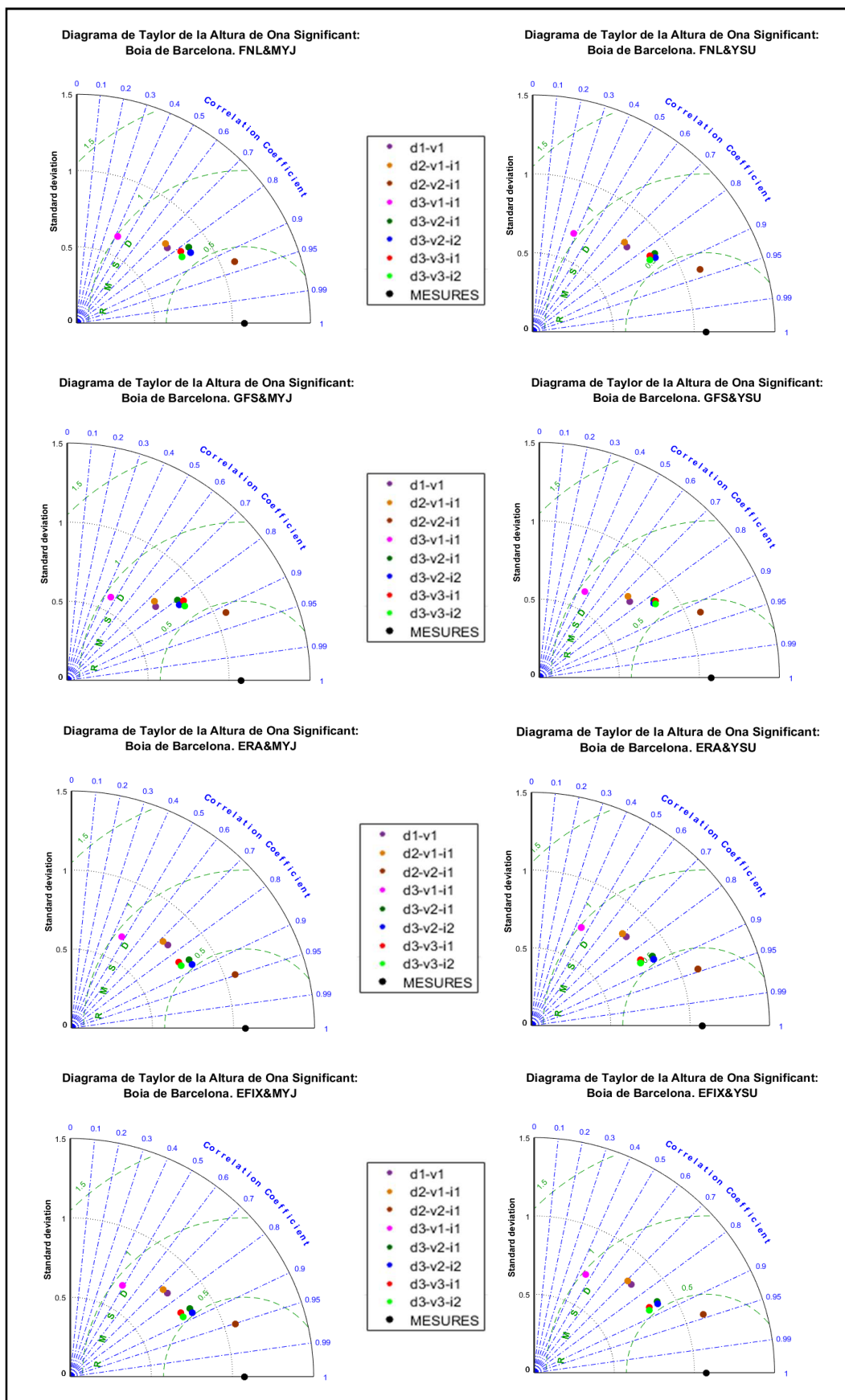


Figura 22: Diagrames de Taylor de l'altura d'ona significant al Pont del Petroli per a cada una de les configuracions del model SWAN forçat amb camps de vent provinents de cada una de les configuracions del model WRF.

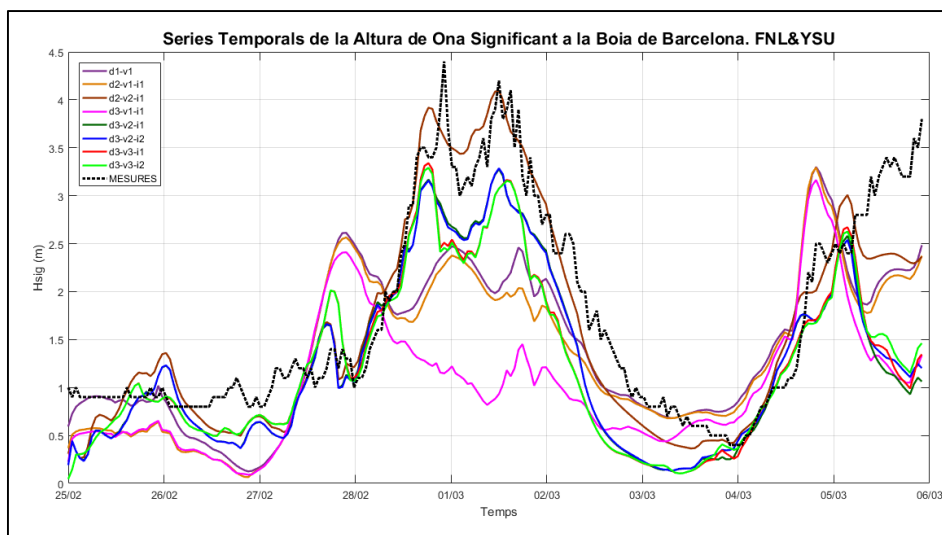


Figura 23: Sèries temporals de l'altura d'ona significant, en les diferents configuracions del model SWAN, a la boia de Barcelona II per al camp de vents resultant de la configuració FNL & YSU del model WRF.

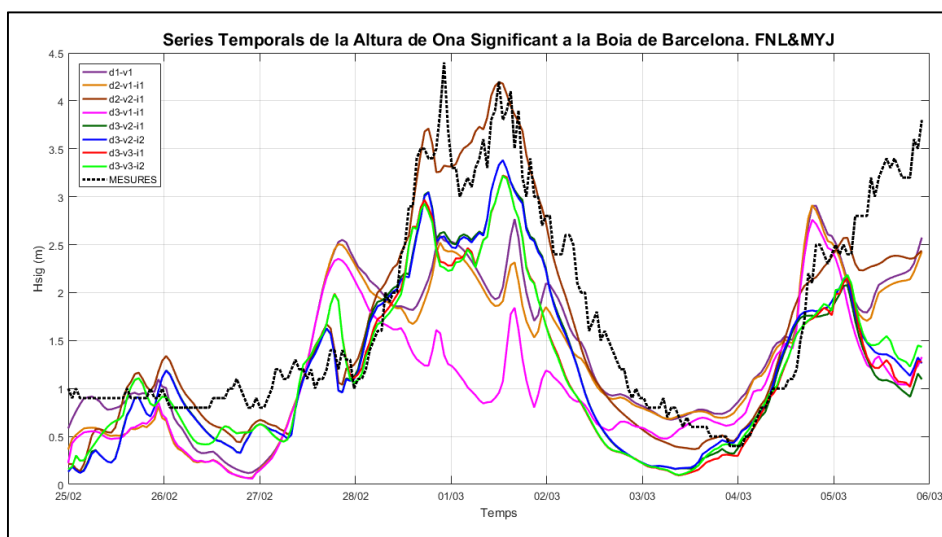


Figura 24: Sèries temporals de l'altura d'ona significant, en les diferents configuracions del model SWAN, a la boia de Barcelona II per al camp de vents resultant de la configuració FNL & MYJ del model WRF.

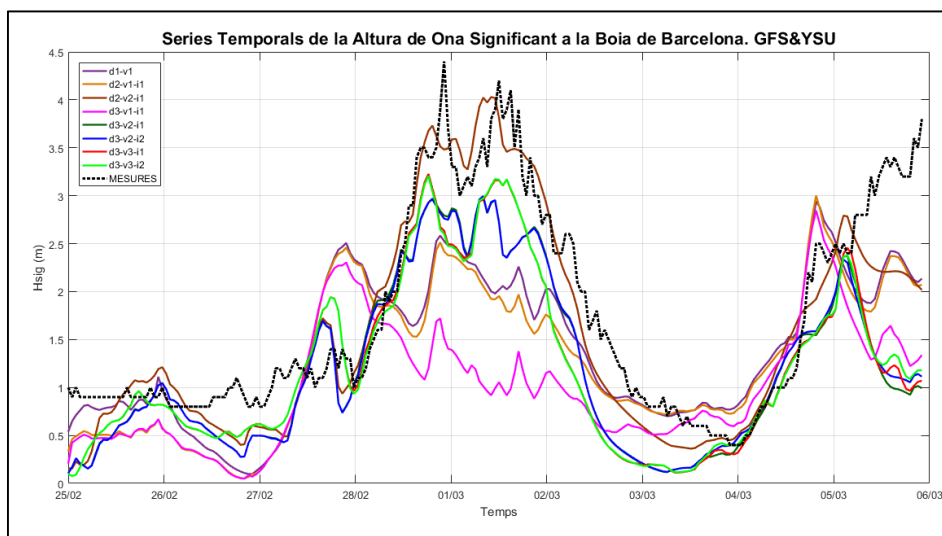


Figura 25: Sèries temporals de l'altura d'ona significant, en les diferents configuracions del model SWAN, a la boia de Barcelona II per al camp de vents resultant de la configuració GFS & YSU del model WRF.

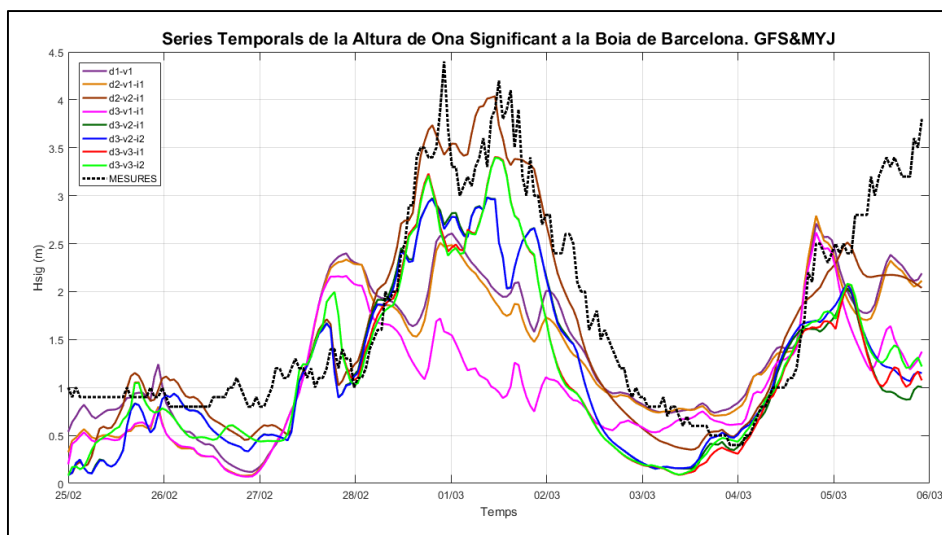


Figura 26: Sèries temporals de l'altura d'ona significant, en les diferents configuracions del model SWAN, a la boia de Barcelona II per al camp de vents resultant de la configuració GFS & MYJ del model WRF.

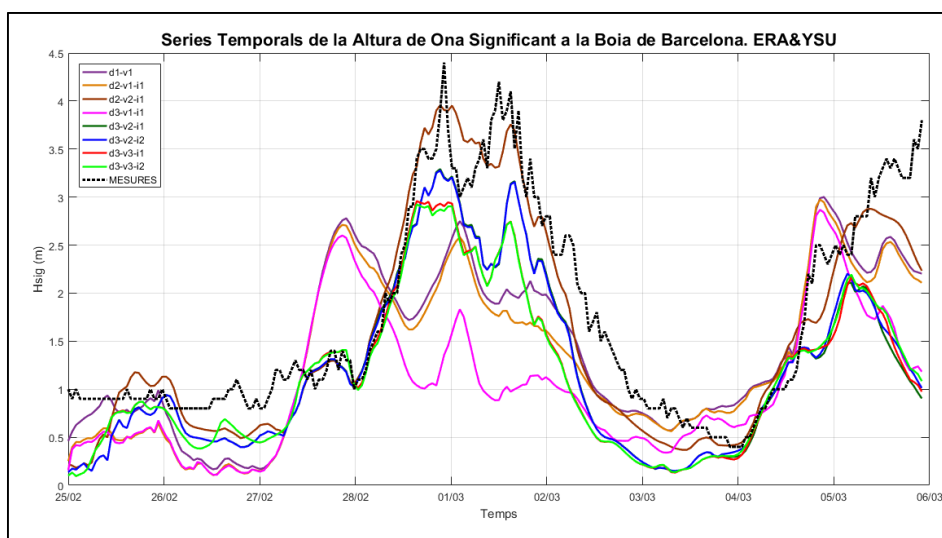


Figura 27: Sèries temporals de l'altura d'ona significant, en les diferents configuracions del model SWAN, a la boia de Barcelona II per al camp de vents resultant de la configuració ERA & YSU del model WRF.

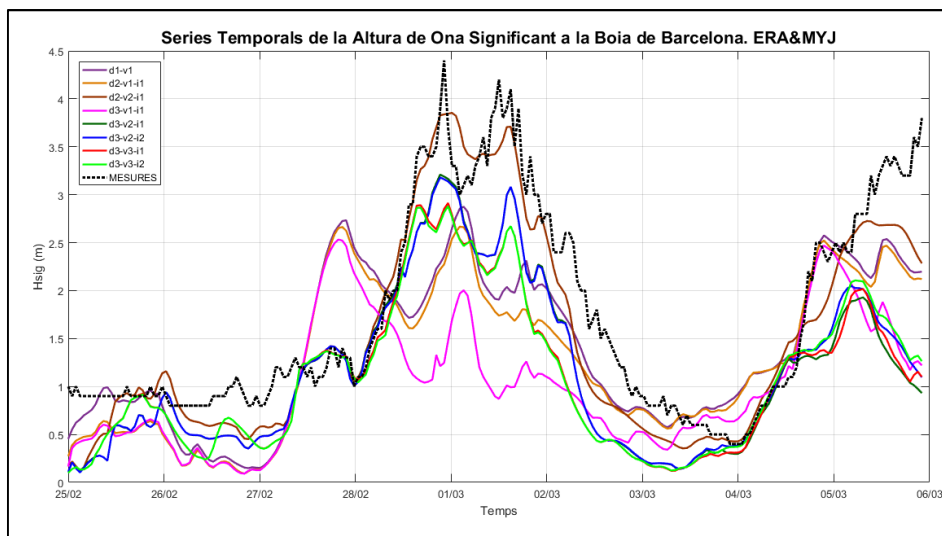


Figura 28: Sèries temporals de l'altura d'ona significant, en les diferents configuracions del model SWAN, a la boia de Barcelona II per al camp de vents resultant de la configuració ERA & MYJ del model WRF.

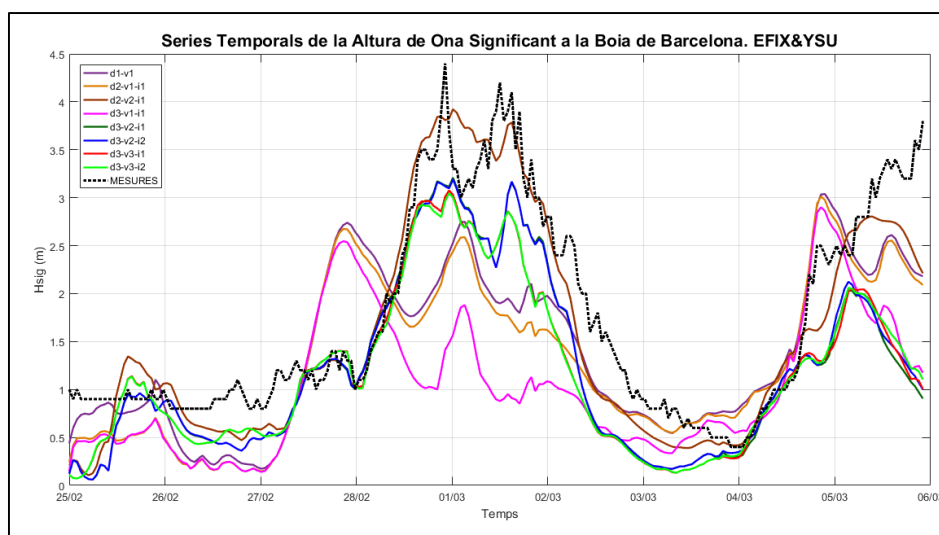


Figura 29: Sèries temporals de l'altura d'ona significativa, en les diferents configuracions del model SWAN, a la boia de Barcelona II per al camp de vents resultant de la configuració EFIX & YSU del model WRF.

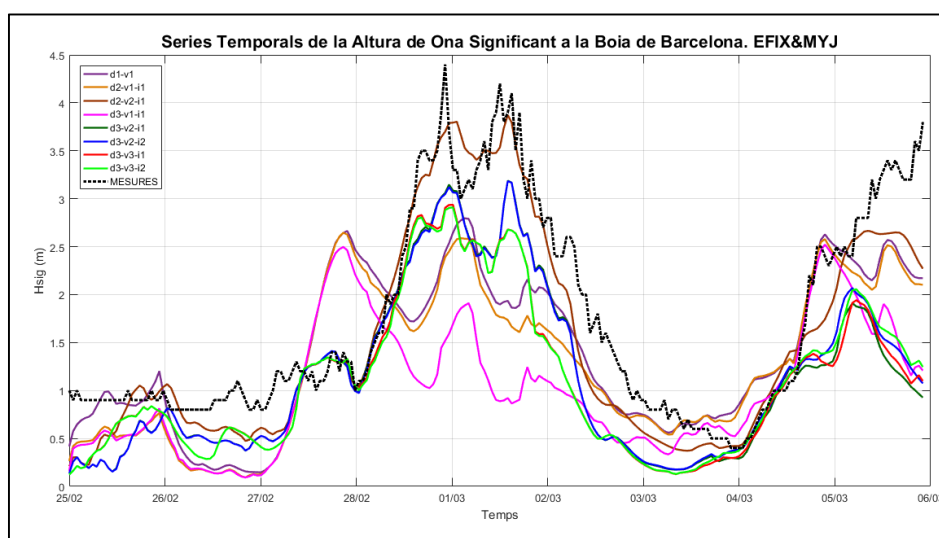


Figura 30: Sèries temporals de l'altura d'ona significativa, en les diferents configuracions del model SWAN, a la boia de Barcelona II per al camp de vents resultant de la configuració EFIX & YSU del model WRF.

Taula 4: Paràmetres estadístics de l'altura d'ona significativa a la boia de Barcelona II per cada una de les configuracions del model SWAN forçat amb el camp de vents resultant de cada una de les configuracions del model WRF, respecte de les mesures. Pbias mesura la desviació, STD és la desviació estàndard, CRMSD és l'error quadràtic mig centrat i el Coef. Correlació mesura l'ajust.

HsigBoia2	Configuració SWAN	Pbias (%)	STD	CRMSD	Coef. Correlació
Mesures		0.00	1.08	0.00	1.00
EM	1	-22.73	0.79	0.71	0.75
	2	-33.21	0.79	0.75	0.72
	3	-14.27	1.07	0.34	0.95
	4	-68.68	0.66	0.96	0.48
	5	-51.21	0.84	0.56	0.86
	6	-47.89	0.85	0.52	0.88
	7	-59.62	0.78	0.59	0.85
	8	-56.72	0.78	0.56	0.86

<i>HsigBoia2</i>	<i>Configuració SWAN</i>	<i>Pbias (%)</i>	<i>STD</i>	<i>CRMSD</i>	<i>Coef. Correlació</i>
EY	1	-22.00	0.83	0.74	0.72
	2	-32.09	0.83	0.78	0.70
	3	-11.59	1.11	0.37	0.94
	4	-67.72	0.71	0.99	0.44
	5	-45.24	0.88	0.54	0.86
	6	-44.28	0.88	0.53	0.87
	7	-52.07	0.81	0.57	0.85
	8	-51.80	0.80	0.56	0.86
FM	1	-21.34	0.76	0.70	0.76
	2	-30.97	0.77	0.73	0.74
	3	-9.33	1.09	0.41	0.93
	4	-69.12	0.63	0.99	0.42
	5	-43.66	0.87	0.61	0.82
	6	-41.15	0.86	0.58	0.85
	7	-48.41	0.81	0.62	0.82
	8	-46.15	0.80	0.59	0.84
FY	1	-19.81	0.79	0.73	0.74
	2	-29.39	0.80	0.76	0.71
	3	-7.20	1.11	0.40	0.94
	4	-67.77	0.67	1.03	0.38
	5	-37.82	0.90	0.59	0.84
	6	-36.98	0.89	0.57	0.85
	7	-40.19	0.87	0.60	0.83
	8	-40.05	0.86	0.57	0.85
GM	1	-25.13	0.72	0.71	0.76
	2	-34.64	0.73	0.73	0.73
	3	-11.34	1.07	0.44	0.92
	4	-71.34	0.59	0.96	0.46
	5	-48.68	0.85	0.64	0.80
	6	-45.76	0.84	0.61	0.82
	7	-47.91	0.88	0.62	0.82
	8	-45.48	0.87	0.59	0.84
GY	1	-24.12	0.75	0.70	0.76
	2	-33.50	0.76	0.73	0.73
	3	-10.37	1.09	0.42	0.92
	4	-69.87	0.62	0.96	0.46
	5	-44.73	0.87	0.61	0.82
	6	-43.90	0.86	0.59	0.83
	7	-43.42	0.88	0.60	0.83
	8	-43.21	0.87	0.58	0.84
EFIXM	1	-23.57	0.80	0.71	0.75
	2	-33.87	0.79	0.74	0.72
	3	-14.50	1.07	0.33	0.95
	4	-69.57	0.66	0.95	0.49

<i>HsigBoia2</i>	<i>Configuració SWAN</i>	<i>Pbias (%)</i>	<i>STD</i>	<i>CRMSD</i>	<i>Coef. Correlació</i>
	5	-52.08	0.85	0.55	0.86
	6	-48.85	0.85	0.52	0.88
	7	-58.21	0.79	0.56	0.86
	8	-55.46	0.79	0.53	0.88
EFIXY	1	-22.64	0.83	0.73	0.73
	2	-32.38	0.83	0.76	0.71
	3	-10.97	1.12	0.37	0.94
	4	-68.37	0.70	0.98	0.46
	5	-43.92	0.89	0.55	0.86
	6	-43.00	0.89	0.53	0.87
	7	-48.20	0.83	0.55	0.86
	8	-48.21	0.82	0.54	0.87

Període de pic

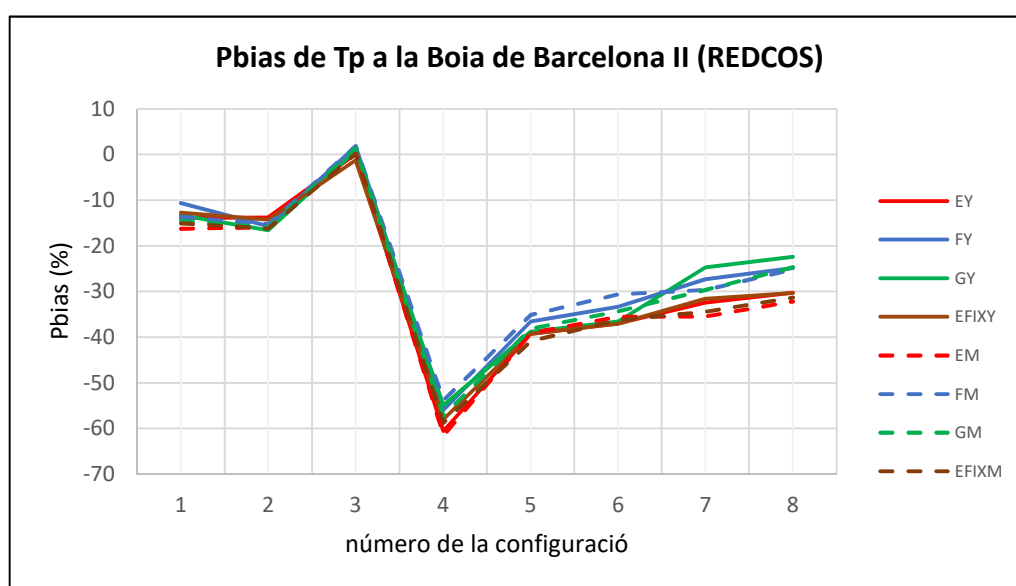


Figura 31: Evolució del Pbias del el període de pic a la boia de Barcelona II per a cada una de les configuracions del model SWAN forçat amb camps de vent provinents de cada una de les configuracions del model WRF.

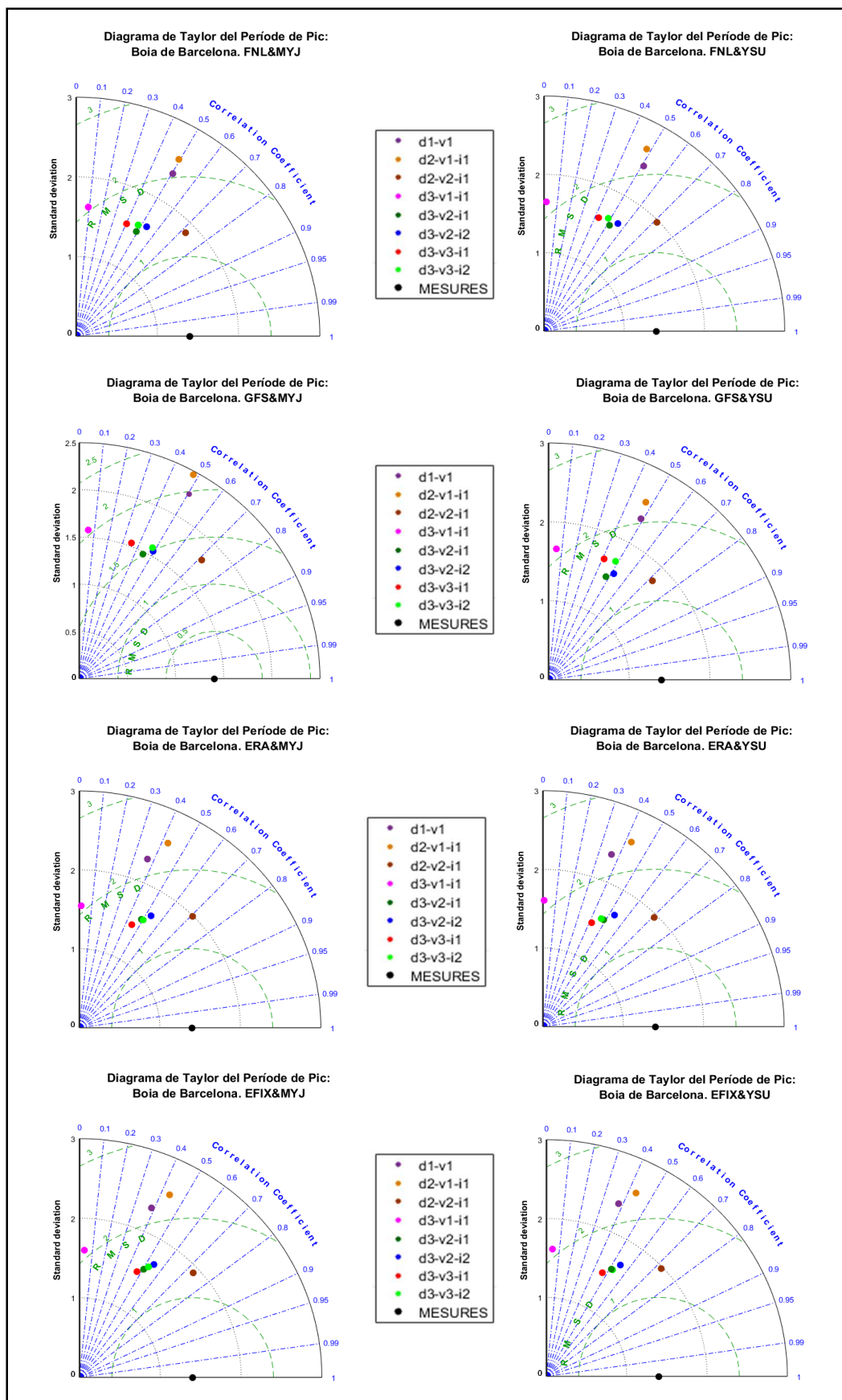


Figura 32: Diagrames de Taylor del període de pic a la boia de Barcelona II per a cada una de les configuracions del model SWAN forçat amb camps de vent provinents de cada una de les configuracions del model WRF.

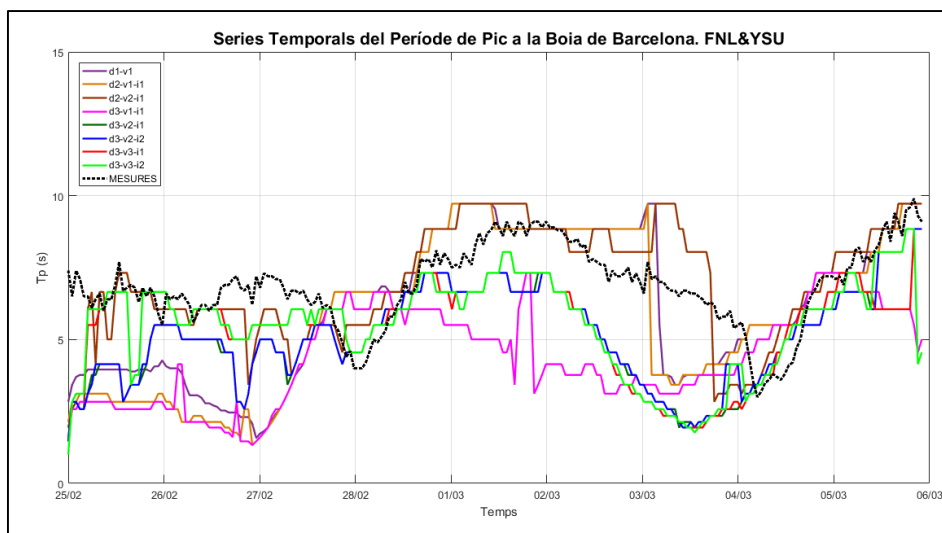


Figura 33: Sèries temporals del període de pic, en les diferents configuracions del model SWAN, a la boia de Barcelona II, per al camp de vents resultant de la configuració FNL & YSU del model WRF.

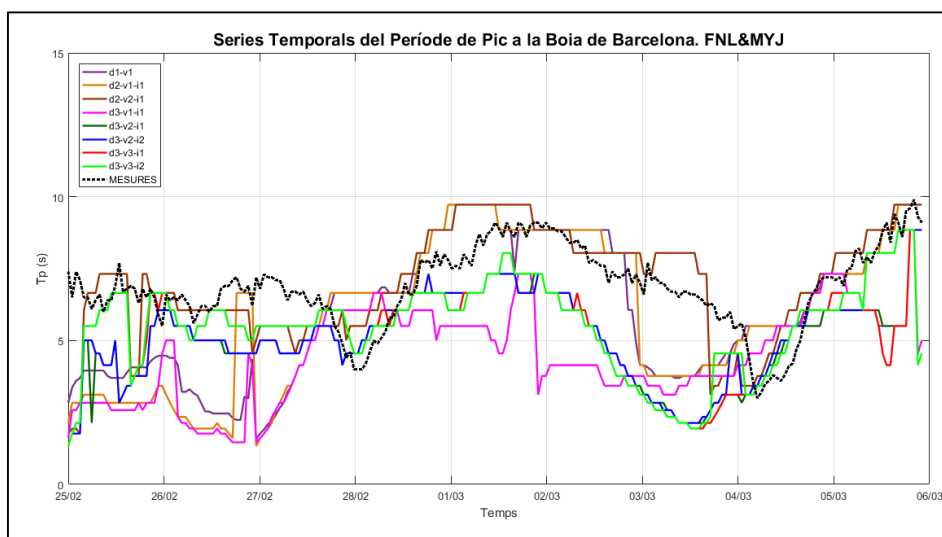


Figura 34: Sèries temporals del període de pic, en les diferents configuracions del model SWAN, a la boia de Barcelona II, per al camp de vents resultant de la configuració FNL & MYJ del model WRF.

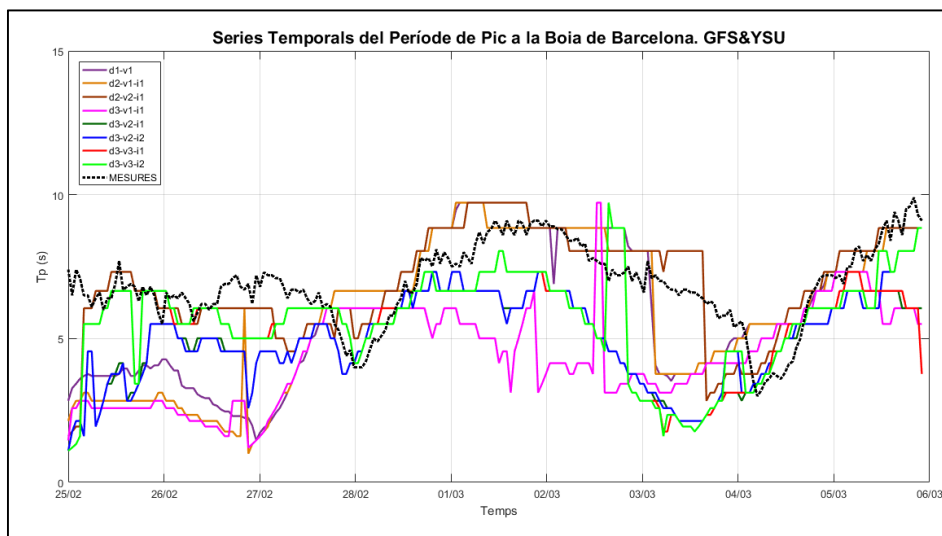


Figura 35: Sèries temporals del període de pic, en les diferents configuracions del model SWAN, a la boia de Barcelona II, per al camp de vents resultant de la configuració GFS & YSU del model WRF.

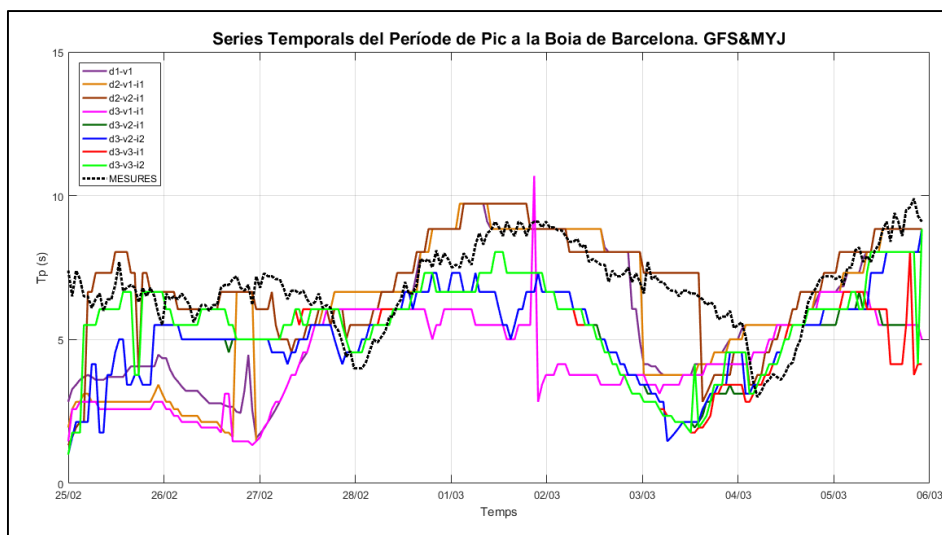


Figura 36: Sèries temporals del període de pic, en les diferents configuracions del model SWAN, a la boia de Barcelona II, per al camp de vents resultant de la configuració GFS & MYJ del model WRF.

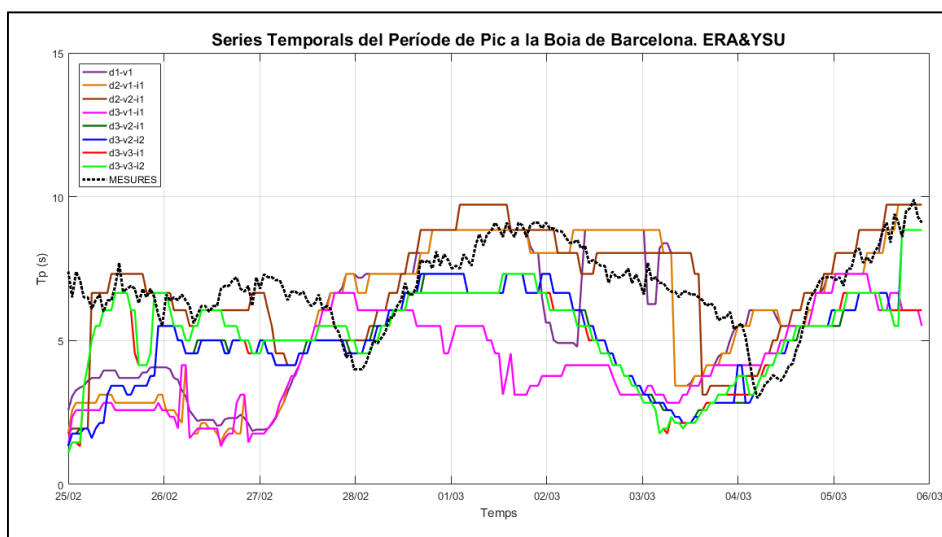


Figura 37: Sèries temporals del període de pic, en les diferents configuracions del model SWAN, a la boia de Barcelona II, per al camp de vents resultant de la configuració ERA & YSU del model WRF.

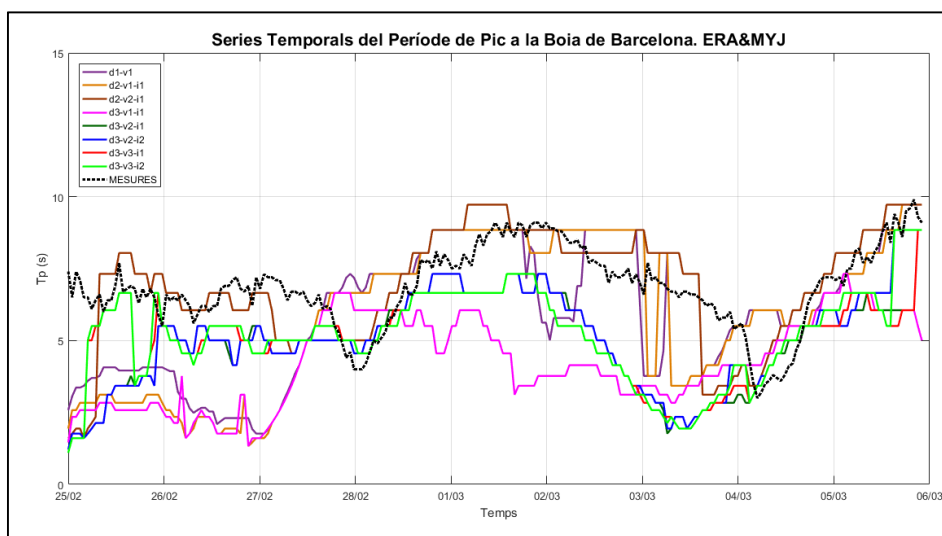


Figura 38: Sèries temporals del període de pic, en les diferents configuracions del model SWAN, a la boia de Barcelona II, per al camp de vents resultant de la configuració ERA & MYJ del model WRF.

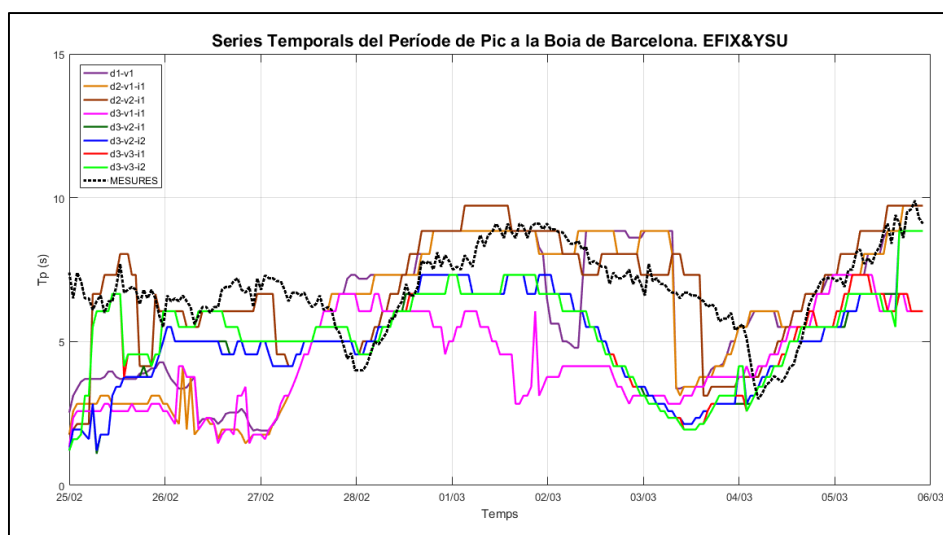


Figura 39: Sèries temporals del període de pic, en les diferents configuracions del model SWAN, a la boia de Barcelona II, per al camp de vents resultant de la configuració EFIX & YSU del model WRF.

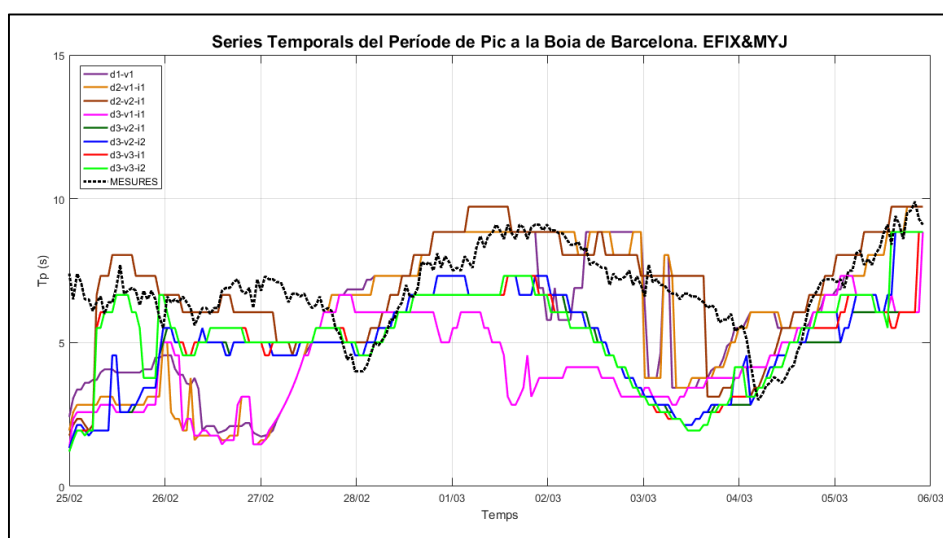


Figura 40: Sèries temporals del període de pic, en les diferents configuracions del model SWAN, a la boia de Barcelona II, per al camp de vents resultant de la configuració EFIX & MYJ del model WRF.

Taula 5: Paràmetres estadístics del període de pic a la boia de Barcelona II per cada una de les configuracions del model SWAN forçat amb el camp de vents resultant de cada una de les configuracions del model WRF, respecte de les mesures. Pbias mesura la desviació, STD és la desviació estàndard, CRMSD és l'error quadràtic mig centrat i el Coef. Correlació mesura l'ajust.

TpBoia2	Configuració SWAN	Pbias (%)	STD	CRMSD	Coef. Correlació
Mesures		0	1.40	0.00	1.00
EM	1	-16	2.30	2.20	0.37
	2	-16	2.59	2.36	0.43
	3	1	1.99	1.41	0.71
	4	-61	1.54	2.07	0.01
	5	-39	1.57	1.51	0.49
	6	-35	1.68	1.51	0.53
	7	-35	1.46	1.51	0.45
	8	-32	1.58	1.50	0.50

<i>TpBoia2</i>	<i>Configuració SWAN</i>	<i>Pbias (%)</i>	<i>STD</i>	<i>CRMSD</i>	<i>Coef. Correlació</i>
<i>EY</i>	1	-14	2.35	2.26	0.36
	2	-14	2.59	2.37	0.42
	3	0	1.96	1.39	0.71
	4	-61	1.60	2.12	0.01
	5	-39	1.56	1.51	0.49
	6	-37	1.67	1.51	0.53
	7	-32	1.46	1.54	0.42
	8	-30	1.55	1.53	0.47
<i>FM</i>	1	-14	2.37	2.05	0.50
	2	-15	2.55	2.22	0.49
	3	2	1.87	1.30	0.72
	4	-54	1.62	2.05	0.09
	5	-35	1.51	1.47	0.49
	6	-31	1.62	1.47	0.53
	7	-30	1.54	1.61	0.40
	8	-25	1.59	1.53	0.48
<i>FY</i>	1	-11	2.45	2.12	0.51
	2	-16	2.65	2.33	0.48
	3	2	1.97	1.39	0.71
	4	-56	1.65	2.14	0.02
	5	-37	1.57	1.47	0.52
	6	-33	1.65	1.45	0.56
	7	-27	1.60	1.62	0.43
	8	-25	1.65	1.56	0.49
<i>GM</i>	1	-14	2.26	1.97	0.50
	2	-16	2.46	2.17	0.48
	3	1	1.79	1.26	0.71
	4	-57	1.57	2.04	0.06
	5	-38	1.47	1.51	0.45
	6	-34	1.56	1.49	0.49
	7	-30	1.54	1.68	0.35
	8	-25	1.58	1.53	0.48
<i>GY</i>	1	-13	2.34	2.06	0.49
	2	-17	2.55	2.26	0.47
	3	1	1.80	1.26	0.72
	4	-55	1.66	2.11	0.06
	5	-39	1.49	1.48	0.48
	6	-37	1.57	1.47	0.52
	7	-25	1.68	1.68	0.41
	8	-22	1.71	1.60	0.48
<i>EFIXM</i>	1	-15	2.31	2.19	0.39
	2	-16	2.55	2.31	0.44
	3	0	1.92	1.31	0.73
	4	-59	1.60	2.09	0.04

<i>TpBoia2</i>	<i>Configuració SWAN</i>	<i>Pbias (%)</i>	<i>STD</i>	<i>CRMSD</i>	<i>Coef. Correlació</i>
	5	-41	1.57	1.49	0.50
	6	-36	1.69	1.50	0.54
	7	-34	1.51	1.50	0.47
	8	-31	1.63	1.49	0.52
<i>EFIXY</i>	1	-13	2.36	2.24	0.38
	2	-14	2.58	2.34	0.43
	3	-1	1.97	1.37	0.72
	4	-58	1.62	2.09	0.05
	5	-39	1.58	1.48	0.51
	6	-37	1.69	1.49	0.55
	7	-32	1.49	1.49	0.47
	8	-30	1.58	1.47	0.52

Direcció mitjana de l'onatge

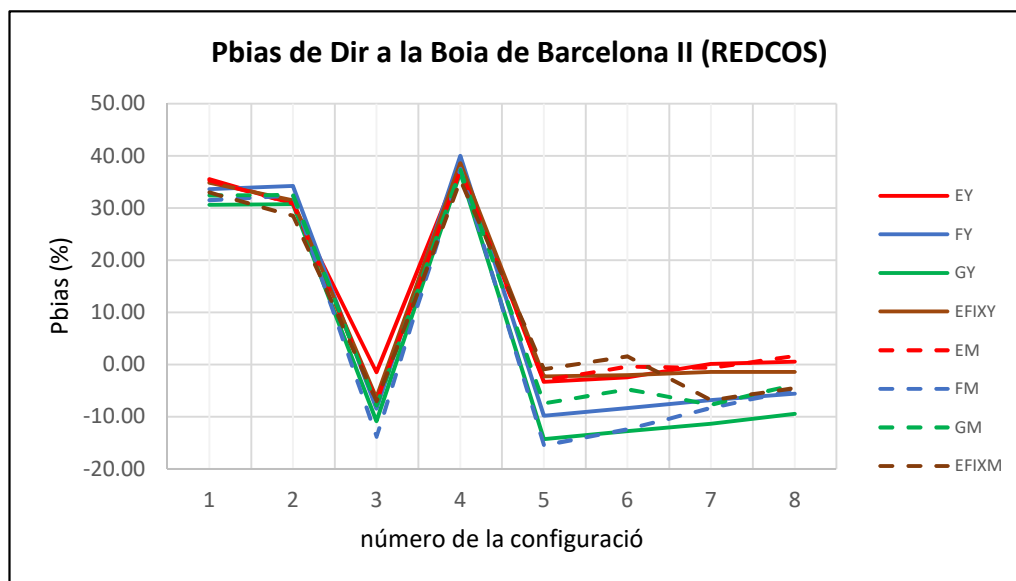


Figura 41: Evolució del Pbias de la direcció mitjana de l'onatge a la boia de Barcelona II per a cada una de les configuracions del model SWAN forçat amb camps de vent provinents de cada una de les configuracions del model WRF.

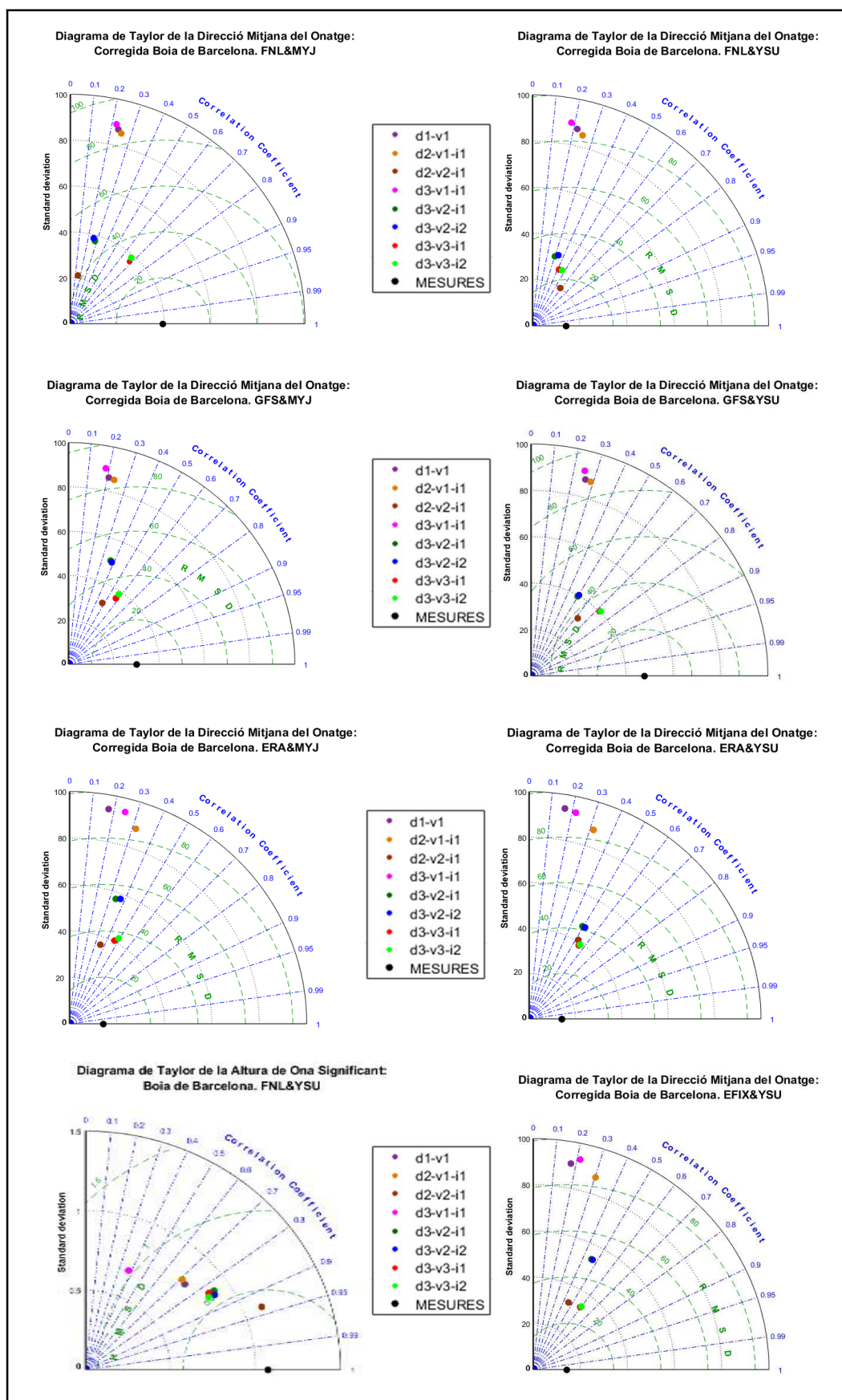


Figura 42: Diagrames de Taylor de la direcció mitjana de l'onatge a la boia de Barcelona II per a cada una de les configuracions del model SWAN forçat amb camps de vent provinents de cada una de les configuracions del model WRF.

Taula 6: Paràmetres estadístics de la direcció mitjana de l'onatge a la boia de Barcelona II per cada una de les configuracions del model SWAN forçat amb el camp de vents resultant de cada una de les configuracions del model WRF, respecte de les mesures. Pbias mesura la desviació, STD és la desviació estàndard, CRMSD és l'error quadràtic mig centrat i el Coef. Correlació mesura l'ajust.

DirBoia2	Configuració SWAN	Pbias (%)	STD	CRMSD	Coef. Correlació
Mesures		0.00	14.14	0.00	1.00
EM	1	35.28	93.86	92.43	0.18
	2	30.85	88.35	84.96	0.32
	3	-7.04	36.49	34.08	0.36
	4	37.31	94.22	91.73	0.25
	5	-3.01	57.13	53.97	0.34
	6	-0.37	57.99	54.37	0.37
	7	-0.59	40.56	36.21	0.47
	8	1.65	42.19	37.34	0.49
EY	1	35.52	93.82	92.53	0.17
	2	30.85	87.66	84.25	0.32
	3	-1.50	40.59	35.31	0.52
	4	38.26	93.06	91.03	0.22
	5	-3.31	46.80	41.66	0.49
	6	-2.45	46.95	41.52	0.51
	7	0.13	38.73	33.11	0.55
	8	0.56	39.31	33.51	0.56
FM	1	31.56	87.05	86.74	0.23
	2	32.42	85.64	84.78	0.25
	3	-13.78	21.21	41.79	0.16
	4	37.56	89.12	89.15	0.22
	5	-15.46	37.49	46.19	0.28
	6	-12.38	38.58	47.43	0.26
	7	-8.27	37.12	30.65	0.68
	8	-4.83	38.92	31.86	0.67
FY	1	33.60	87.20	85.25	0.22
	2	34.22	85.02	82.65	0.25
	3	-8.49	20.09	16.50	0.58
	4	39.97	89.45	87.97	0.18
	5	-9.82	31.62	30.47	0.30
	6	-8.34	32.38	30.67	0.34
	7	-6.81	26.69	24.42	0.42
	8	-5.56	27.21	24.19	0.46
GM	1	32.45	86.18	85.18	0.21
	2	32.54	85.61	83.79	0.24
	3	-7.83	31.45	31.57	0.48
	4	37.31	89.99	89.48	0.18
	5	-7.43	50.34	48.19	0.37
	6	-4.72	49.88	47.33	0.39
	7	-7.67	36.46	31.11	0.58
	8	-3.79	38.67	32.60	0.58

<i>DirBoia2</i>	<i>Configuració SWAN</i>	<i>Pbias (%)</i>	<i>STD</i>	<i>CRMSD</i>	<i>Coef. Correlació</i>
GY	1	30.64	87.67	88.27	0.26
	2	30.73	87.45	86.75	0.29
	3	-10.87	31.65	37.51	0.62
	4	36.78	91.32	92.02	0.25
	5	-14.31	39.70	44.42	0.50
	6	-12.78	40.22	44.55	0.50
	7	-11.36	40.08	33.58	0.72
	8	-9.43	40.41	33.44	0.73
EFIXM	1	33.01	91.13	91.58	0.21
	2	28.54	85.66	83.37	0.29
	3	-6.99	43.75	55.12	0.13
	4	35.35	91.35	90.53	0.24
	5	-0.87	64.10	63.04	0.34
	6	1.58	64.23	62.89	0.34
	7	-6.82	42.39	35.88	0.62
	8	-4.48	43.34	36.44	0.62
EFIXY	1	34.84	90.54	89.14	0.18
	2	31.47	87.37	84.16	0.30
	3	-6.31	32.81	29.18	0.46
	4	38.61	93.01	91.03	0.21
	5	-2.27	53.89	49.04	0.46
	6	-2.01	53.70	48.72	0.47
	7	-1.39	33.55	27.58	0.60
	8	-1.42	34.06	27.96	0.60

Boia 3: Boia de Tarragona (REDEXT)

Altura d'ona significant

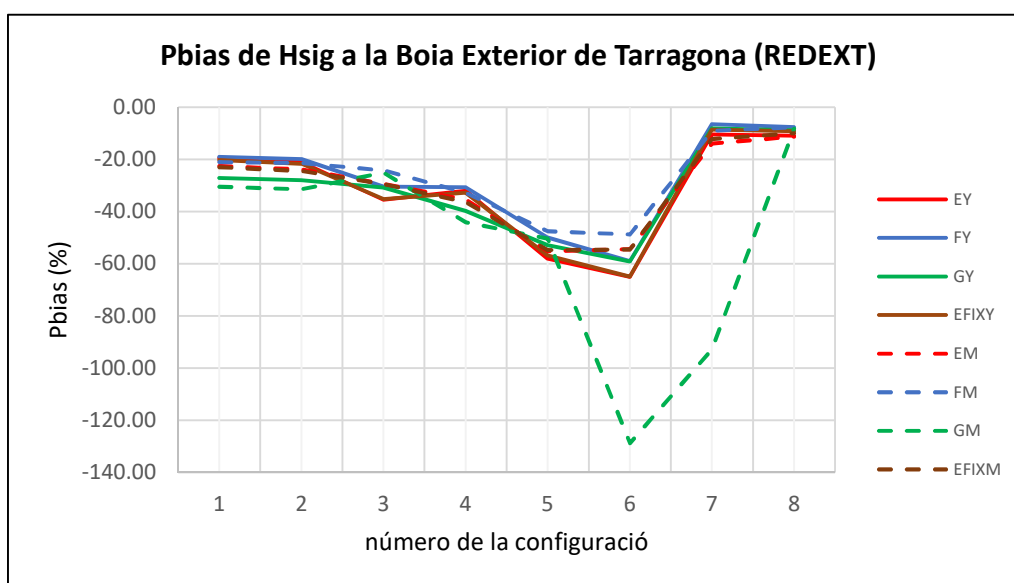


Figura 43: Evolució del Pbias de l'altura d'ona significant a la boia exterior de Tarragona per a cada una de les configuracions del model SWAN forçat amb camps de vent provinents de cada una de les configuracions del model WRF.

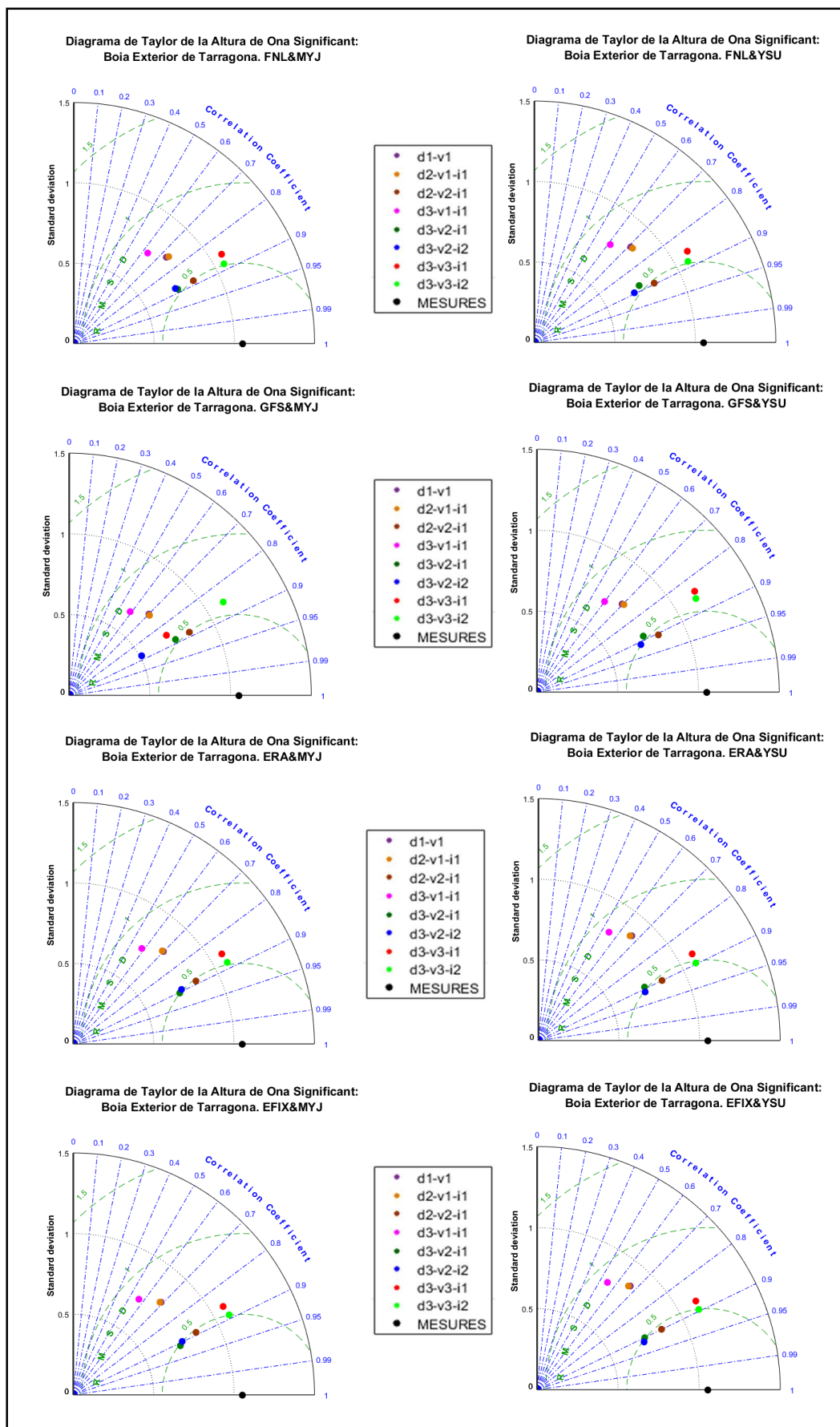


Figura 44: Diagrames de Taylor de l'altura d'ona significant a la boia exterior de Tarragona per a cada una de les configuracions del model SWAN forçat amb camps de vent provinents de cada una de les configuracions del model WRF.

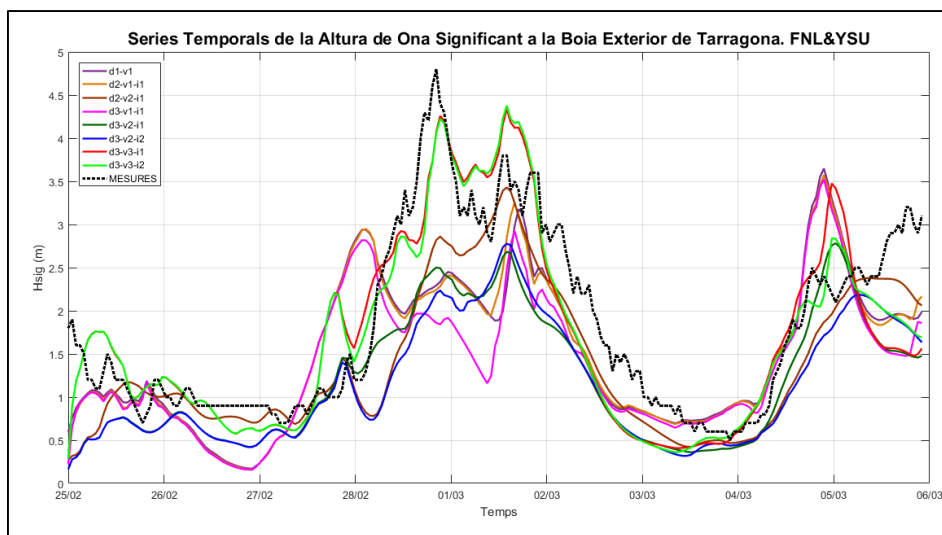


Figura 45: Sèries temporals de l'altura d'ona significant, en les diferents configuracions del model SWAN, a la boia exterior de Tarragona, per al camp de vents resultant de la configuració FNL & YSU del model WRF.

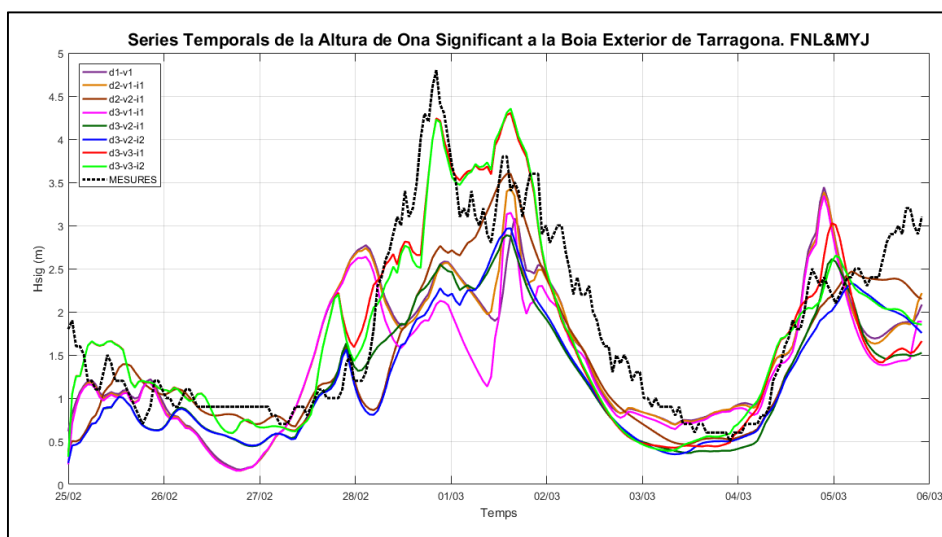


Figura 46: Sèries temporals de l'altura d'ona significant, en les diferents configuracions del model SWAN, a la boia exterior de Tarragona, per al camp de vents resultant de la configuració FNL & MYJ del model WRF.

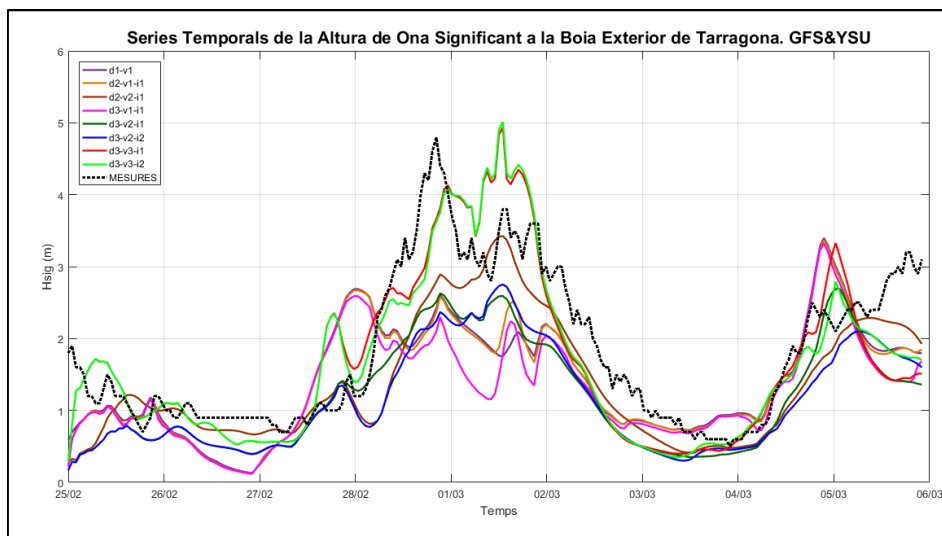


Figura 47: Sèries temporals de l'altura d'ona significant, en les diferents configuracions del model SWAN, a la boia exterior de Tarragona, per al camp de vents resultant de la configuració GFS & YSU del model WRF.

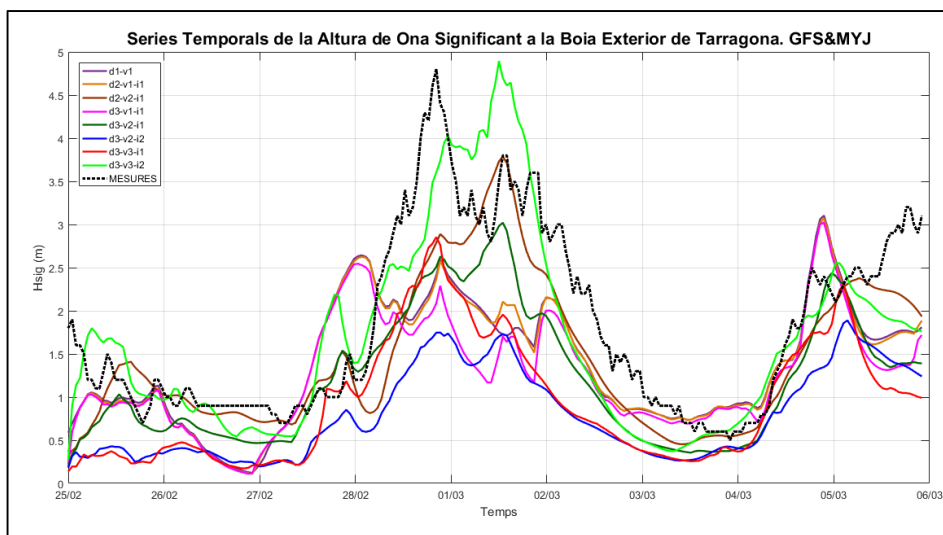


Figura 48: Sèries temporals de l'altura d'ona significant, en les diferents configuracions del model SWAN, a la boia exterior de Tarragona, per al camp de vents resultant de la configuració GFS & MYJ del model WRF.

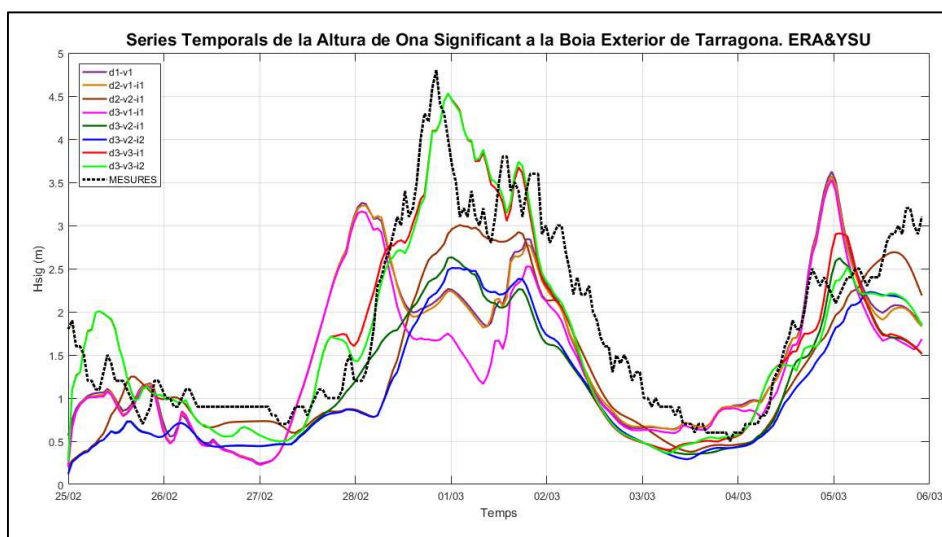


Figura 49: Sèries temporals de l'altura d'ona significant, en les diferents configuracions del model SWAN, a la boia exterior de Tarragona, per al camp de vents resultant de la configuració ERA & YSU del model WRF.

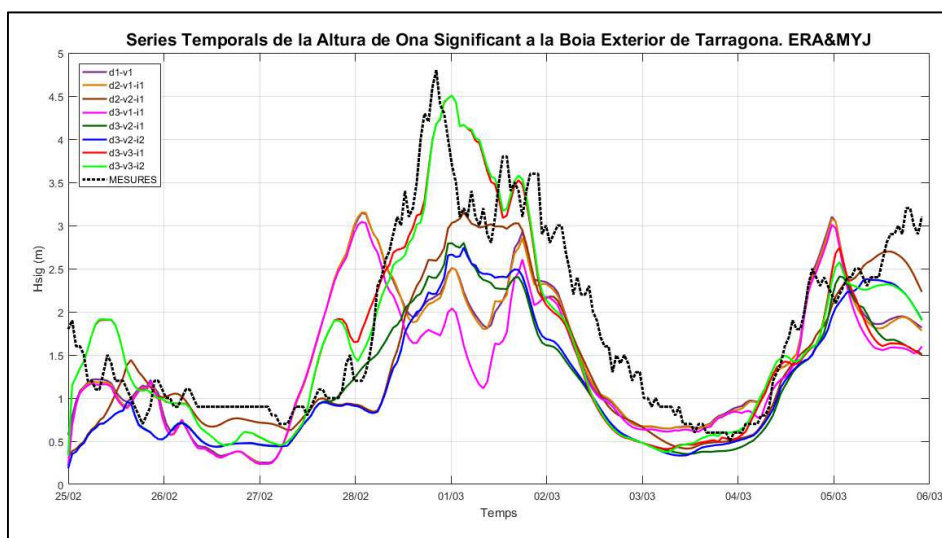


Figura 50: Sèries temporals de l'altura d'ona significant, en les diferents configuracions del model SWAN, a la boia exterior de Tarragona, per al camp de vents resultant de la configuració ERA & MYJ del model WRF.

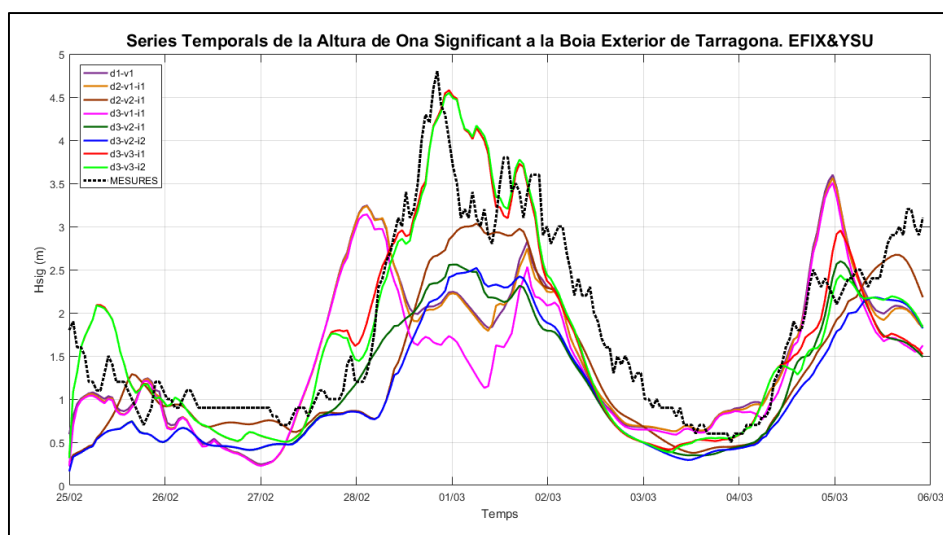


Figura 51: Sèries temporals de l'altura d'ona significant, en les diferents configuracions del model SWAN, a la boia exterior de Tarragona, per al camp de vents resultant de la configuració EFIX & YSU del model WRF.

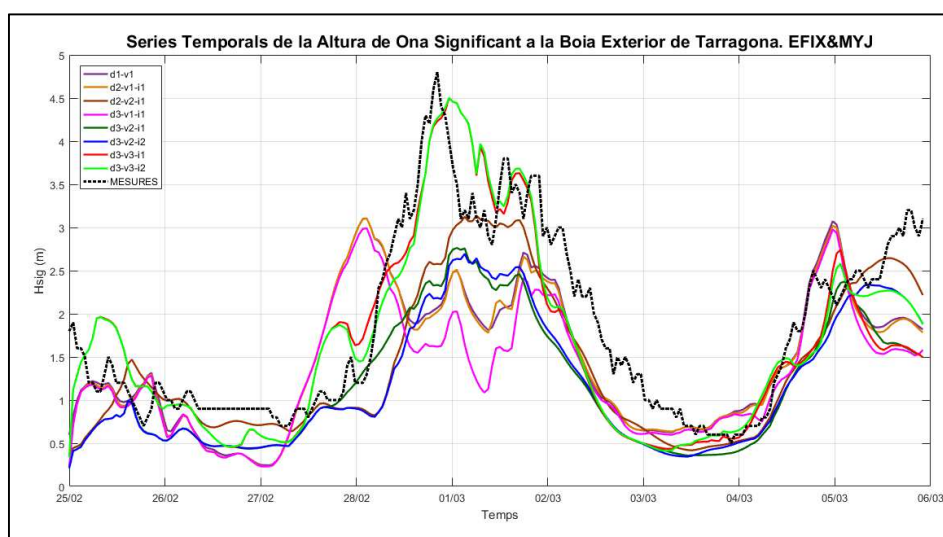


Figura 52: Sèries temporals de l'altura d'ona significant, en les diferents configuracions del model SWAN, a la boia exterior de Tarragona, per al camp de vents resultant de la configuració EFIX & MYJ del model WRF.

Taula 7: Paràmetres estadístics de l'altura d'ona significant a la boia exterior de Tarragona per cada una de les configuracions del model SWAN forçat amb el camp de vents resultant de cada una de les configuracions del model WRF, respecte de les mesures. Pbias mesura la desviació, STD és la desviació estàndard, CRMSD és l'error quadràtic mig centrat i el Coef. Correlació mesura l'ajust.

HsigBoia3	Configuració SWAN	Pbias (%)	STD	CRMSD	Coef. Correlació
Mesures		0.00	1.05	0.00	1.00
EM	1	-22.44	0.80	0.76	0.70
	2	-23.89	0.80	0.77	0.69
	3	-29.41	0.86	0.49	0.89
	4	-35.36	0.73	0.86	0.58
	5	-55.20	0.73	0.50	0.90
	6	-54.44	0.76	0.51	0.89
	7	-13.92	1.08	0.57	0.86

<i>HsigBoia3</i>	<i>Configuració SWAN</i>	<i>Pbias (%)</i>	<i>STD</i>	<i>CRMSD</i>	<i>Coef. Correlació</i>
	8	-11.26	1.08	0.52	0.88
EY	1	-19.60	0.87	0.80	0.67
	2	-21.03	0.86	0.81	0.66
	3	-35.53	0.85	0.47	0.90
	4	-32.10	0.80	0.91	0.55
	5	-58.11	0.74	0.51	0.89
	6	-65.12	0.73	0.49	0.91
	7	-10.44	1.10	0.55	0.87
	8	-10.92	1.09	0.49	0.90
FM	1	-21.05	0.79	0.72	0.73
	2	-21.43	0.80	0.71	0.74
	3	-24.16	0.84	0.50	0.89
	4	-32.76	0.73	0.82	0.63
	5	-47.56	0.73	0.53	0.89
	6	-48.74	0.72	0.54	0.88
	7	-9.04	1.07	0.57	0.86
	8	-7.69	1.06	0.51	0.88
FY	1	-19.11	0.84	0.75	0.71
	2	-19.88	0.85	0.74	0.72
	3	-30.43	0.83	0.48	0.90
	4	-30.68	0.77	0.84	0.61
	5	-50.03	0.74	0.54	0.88
	6	-59.08	0.69	0.53	0.90
	7	-6.51	1.11	0.58	0.86
	8	-7.64	1.08	0.51	0.88
GM	1	-30.48	0.70	0.75	0.70
	2	-31.48	0.70	0.75	0.71
	3	-25.11	0.84	0.50	0.88
	4	-44.10	0.64	0.85	0.59
	5	-50.33	0.74	0.53	0.88
	6	-128.75	0.51	0.65	0.88
	7	-92.73	0.71	0.58	0.85
	8	-8.22	1.12	0.58	0.86
GY	1	-27.21	0.76	0.76	0.70
	2	-28.01	0.76	0.75	0.71
	3	-30.85	0.83	0.47	0.90
	4	-39.84	0.70	0.85	0.60
	5	-52.91	0.74	0.53	0.88
	6	-59.13	0.71	0.50	0.91
	7	-8.15	1.16	0.63	0.84
	8	-8.86	1.14	0.58	0.86
EFIXM	1	-22.96	0.79	0.77	0.69
	2	-24.51	0.79	0.77	0.68
	3	-29.52	0.86	0.48	0.89

<i>HsigBoia3</i>	<i>Configuració SWAN</i>	<i>Pbias (%)</i>	<i>STD</i>	<i>CRMSD</i>	<i>Coef. Correlació</i>
	4	-36.40	0.72	0.87	0.57
	5	-54.74	0.73	0.49	0.91
	6	-54.57	0.75	0.50	0.90
	7	-12.20	1.08	0.56	0.86
	8	-9.96	1.09	0.50	0.89
<i>EFIXY</i>	1	-20.23	0.86	0.80	0.67
	2	-21.73	0.85	0.80	0.66
	3	-35.25	0.85	0.47	0.90
	4	-32.78	0.79	0.91	0.55
	5	-56.84	0.74	0.50	0.90
	6	-64.91	0.72	0.49	0.91
	7	-8.62	1.12	0.55	0.87
	8	-9.29	1.11	0.50	0.90

Període de pic

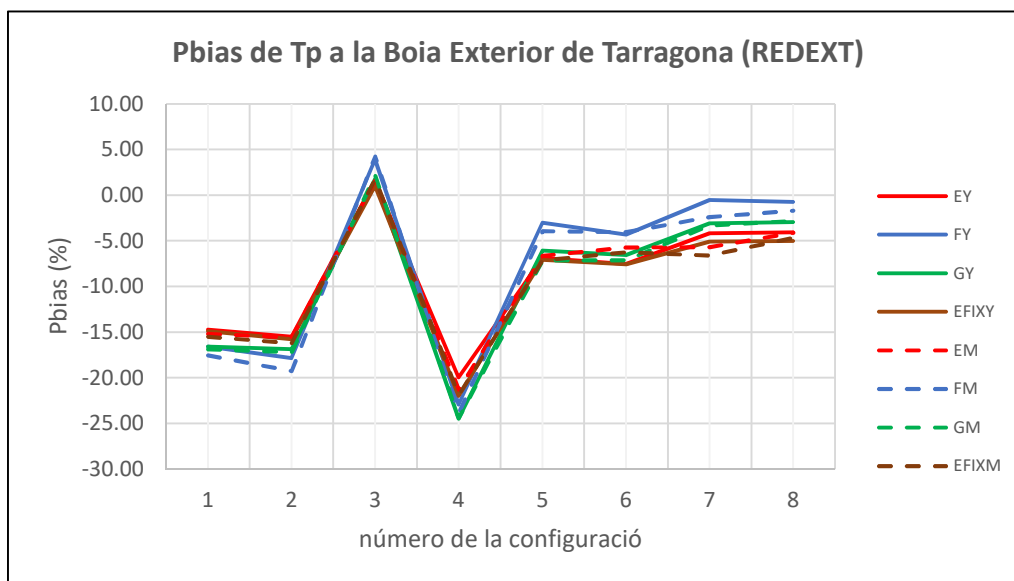


Figura 53: Evolució del Pbias del període de pic a la boia exterior de Tarragona per a cada una de les configuracions del model SWAN forçat amb camps de vent provinents de cada una de les configuracions del model WRF.

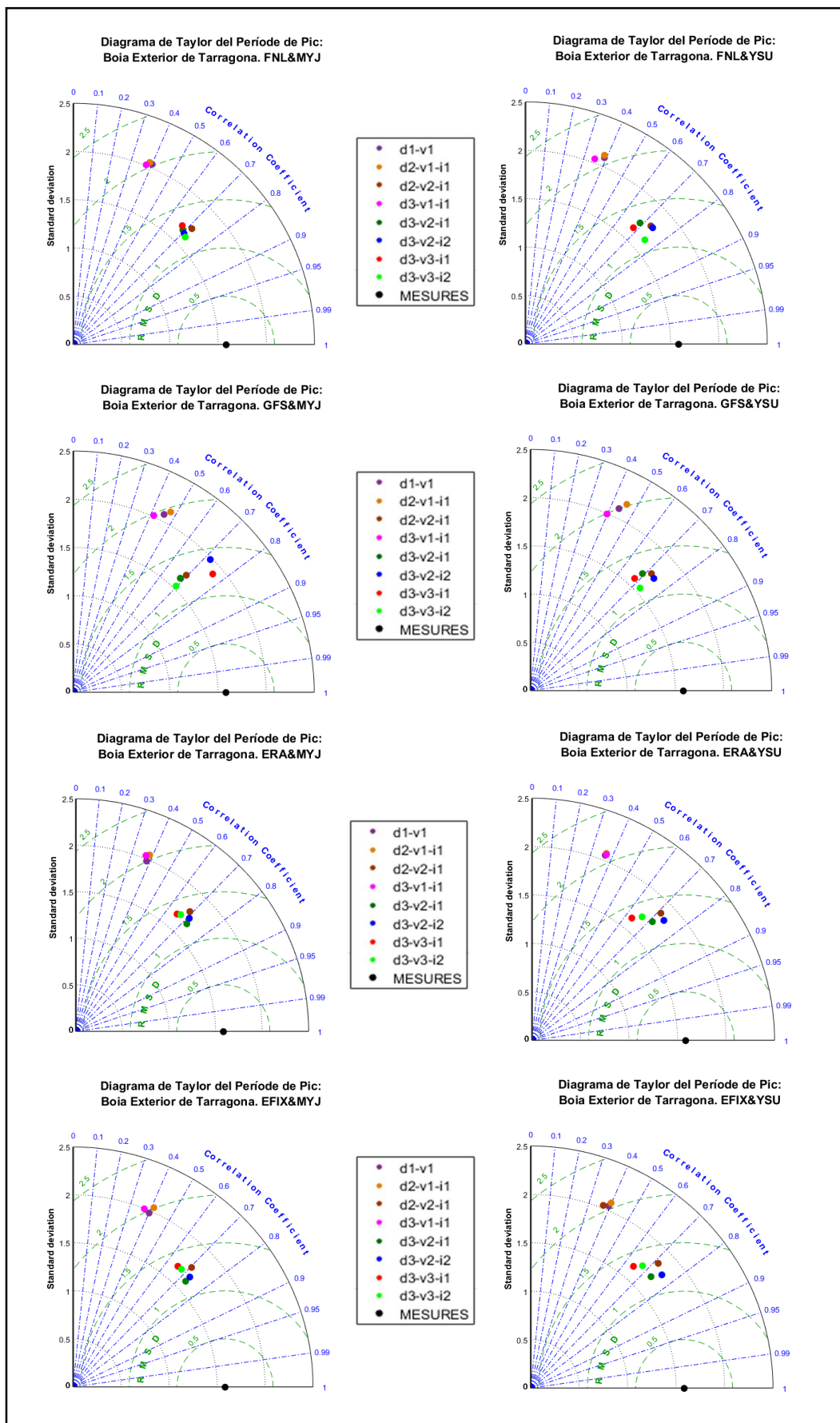


Figura 54: Diagrames de Taylor del període de pic a la boia exterior de Tarragona per a cada una de les configuracions del model SWAN forçat amb camps de vent provinents de cada una de les configuracions del model WRF.

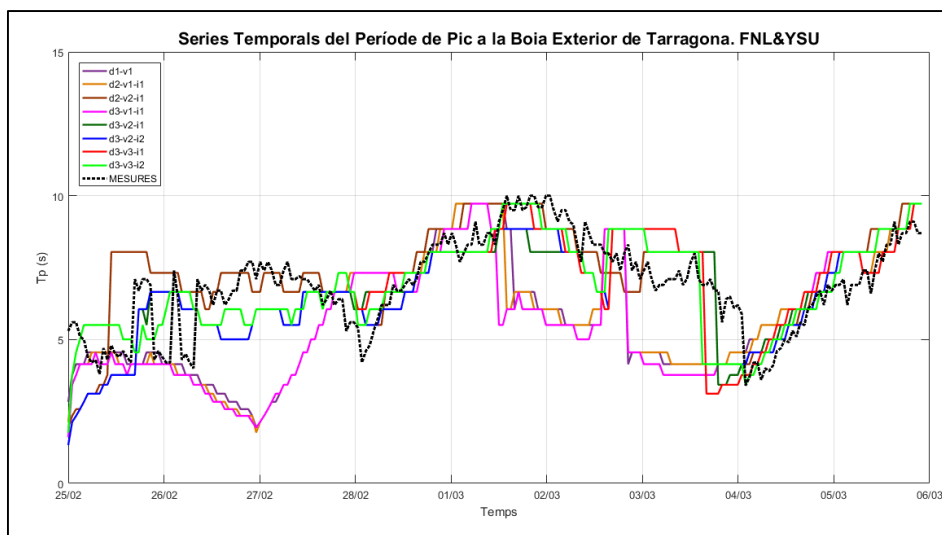


Figura 55: Sèries temporals del període de pic, en les diferents configuracions del model SWAN, a la boia exterior de Tarragona, per al camp de vents resultant de la configuració FNL & YSU del model WRF.

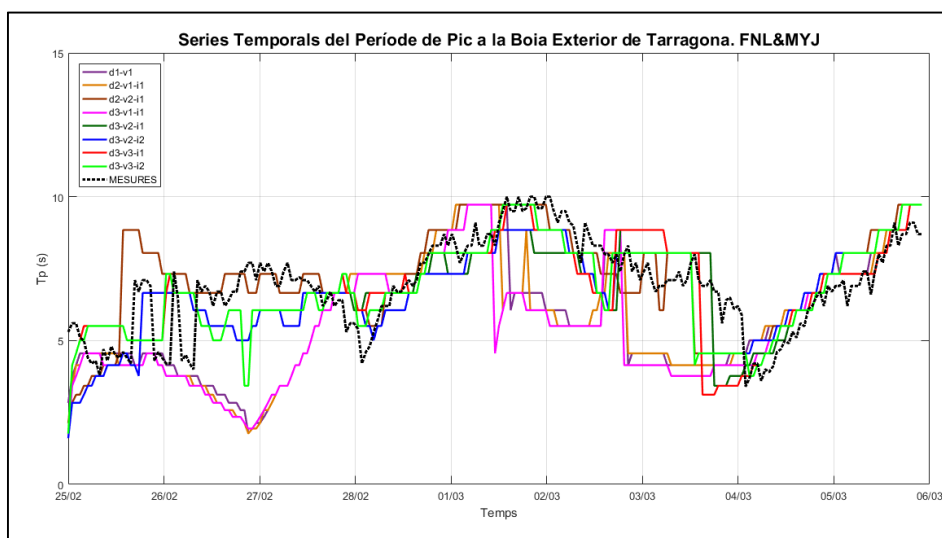


Figura 56: Sèries temporals del període de pic, en les diferents configuracions del model SWAN, a la boia exterior de Tarragona, per al camp de vents resultant de la configuració FNL & MYJ del model WRF.

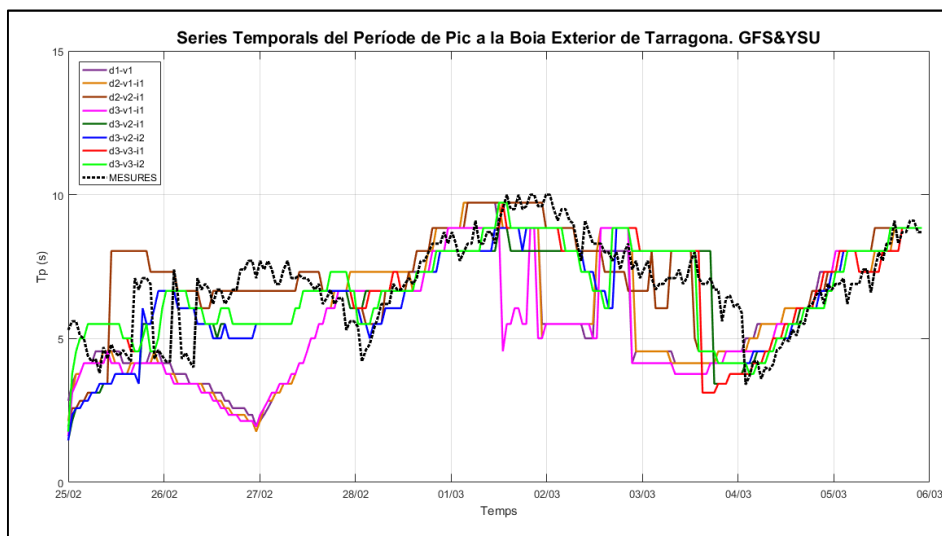


Figura 57: Sèries temporals del període de pic, en les diferents configuracions del model SWAN, a la boia exterior de Tarragona, per al camp de vents resultant de la configuració GFS & YSU del model WRF.

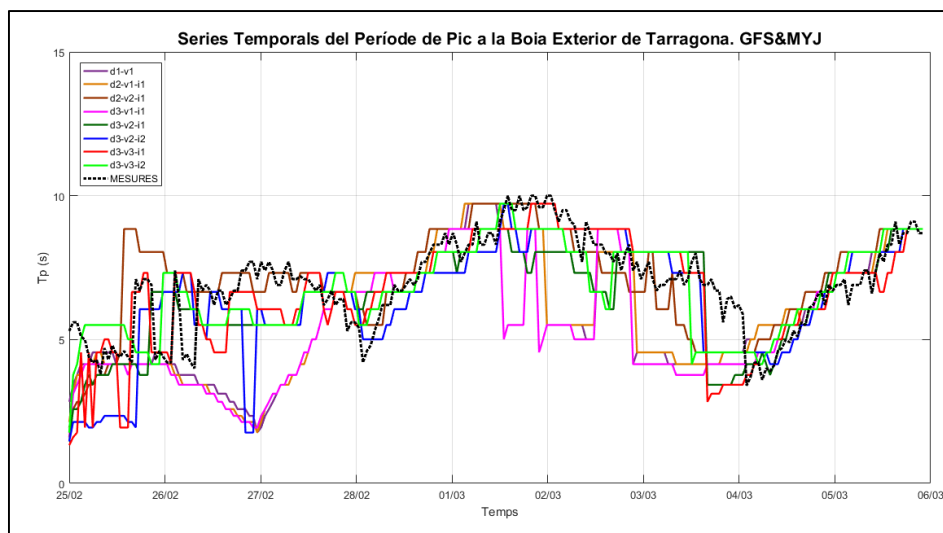


Figura 58: Sèries temporals del període de pic, en les diferents configuracions del model SWAN, a la boia exterior de Tarragona, per al camp de vents resultant de la configuració GFS & MYJ del model WRF.

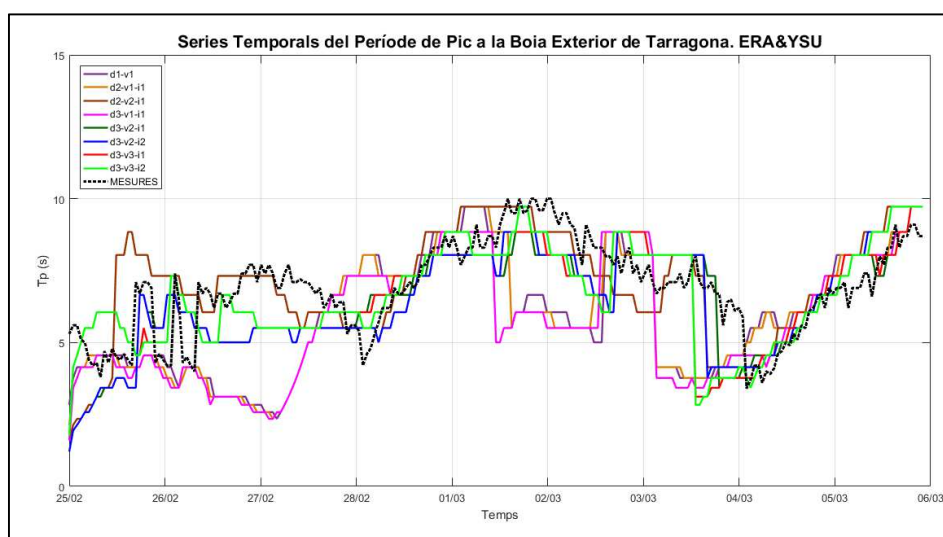


Figura 59: Sèries temporals del període de pic, en les diferents configuracions del model SWAN, a la boia exterior de Tarragona, per al camp de vents resultant de la configuració ERA & YSU del model WRF.

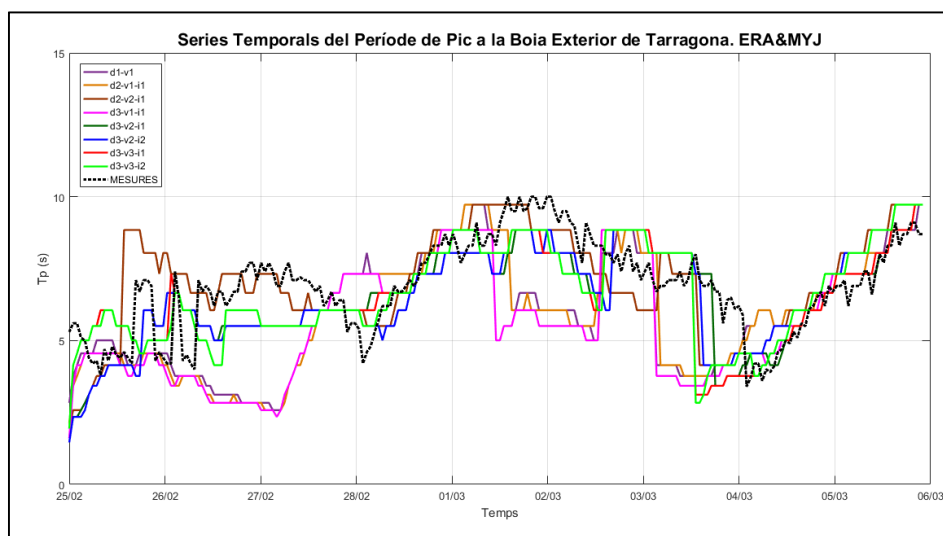


Figura 60: Sèries temporals del període de pic, en les diferents configuracions del model SWAN, a la boia exterior de Tarragona, per al camp de vents resultant de la configuració ERA & MYJ del model WRF.

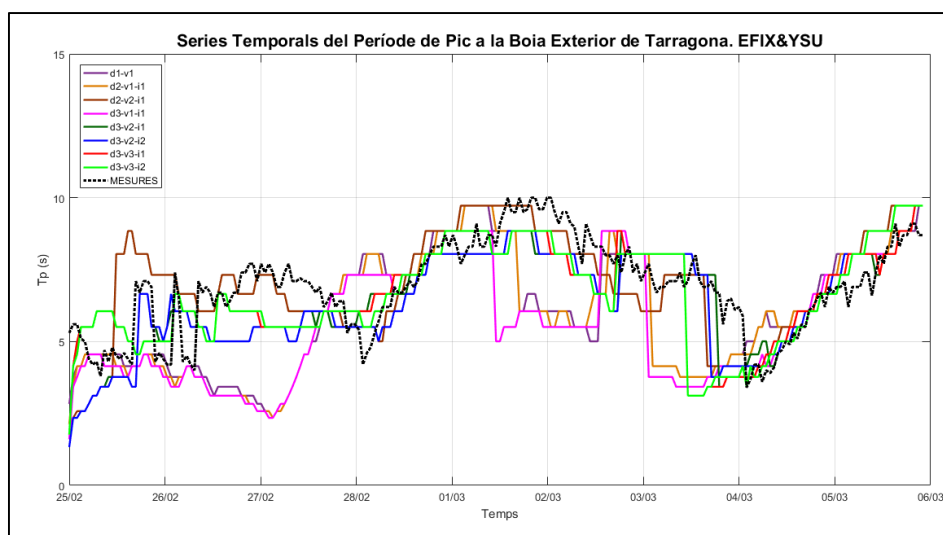


Figura 61: Sèries temporals del període de pic, en les diferents configuracions del model SWAN, a la boia exterior de Tarragona, per al camp de vents resultant de la configuració EFIX & YSU del model WRF.

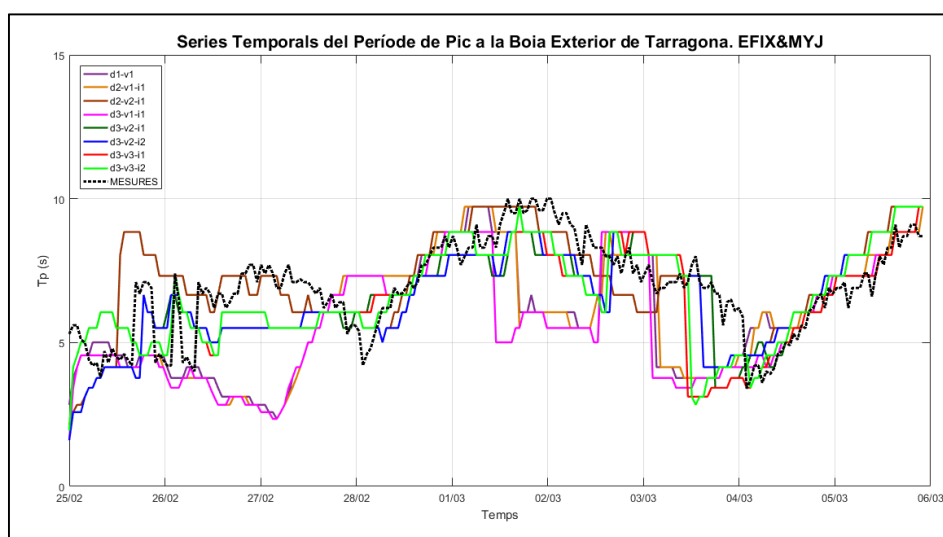


Figura 62: Sèries temporals del període de pic, en les diferents configuracions del model SWAN, a la boia exterior de Tarragona, per al camp de vents resultant de la configuració FNL & YSU del model WRF.

Taula 8: Paràmetres estadístics del període de pic a la boia exterior de Tarragona per cada una de les configuracions del model SWAN forçat amb el camp de vents resultant de cada una de les configuracions del model WRF, respecte de les mesures. Pbias mesura la desviació, STD és la desviació estàndard, CRMSD és l'error quadràtic mig centrat i el Coef. Correlació mesura l'ajust.

TpBoia3	Configuració SWAN	Pbias (%)	STD	CRMSD	Coef. Correlació
Mesures		0.00	1.58	0.00	1.00
EM	1	-15.19	1.98	2.01	0.38
	2	-15.58	2.06	2.06	0.39
	3	1.64	1.78	1.34	0.69
	4	-21.28	2.03	2.06	0.37
	5	-6.62	1.66	1.22	0.72
	6	-5.73	1.72	1.27	0.71

<i>TpBoia3</i>	<i>Configuració SWAN</i>	<i>Pbias (%)</i>	<i>STD</i>	<i>CRMSD</i>	<i>Coef. Correlació</i>
	7	-5.67	1.66	1.36	0.65
	8	-4.10	1.69	1.34	0.67
<i>EY</i>	1	-14.73	2.06	2.09	0.37
	2	-15.50	2.08	2.09	0.37
	3	1.61	1.87	1.33	0.71
	4	-19.95	2.06	2.08	0.37
	5	-6.89	1.75	1.27	0.71
	6	-7.53	1.84	1.26	0.74
	7	-4.18	1.63	1.38	0.63
	8	-4.08	1.71	1.35	0.66
<i>FM</i>	1	-17.54	2.04	2.02	0.40
	2	-19.24	2.05	2.05	0.39
	3	4.25	1.72	1.25	0.72
	4	-23.84	2.01	2.04	0.37
	5	-3.94	1.64	1.27	0.69
	6	-4.02	1.63	1.23	0.71
	7	-2.38	1.67	1.31	0.68
	8	-1.70	1.61	1.19	0.72
<i>FY</i>	1	-16.59	2.09	2.07	0.39
	2	-17.86	2.11	2.10	0.39
	3	3.88	1.78	1.25	0.73
	4	-22.93	2.04	2.10	0.35
	5	-3.03	1.72	1.31	0.69
	6	-4.31	1.78	1.23	0.74
	7	-0.53	1.64	1.29	0.68
	8	-0.73	1.64	1.13	0.75
<i>GM</i>	1	-16.87	2.07	1.95	0.46
	2	-17.19	2.12	1.95	0.48
	3	2.19	1.69	1.28	0.70
	4	-24.43	2.01	1.97	0.42
	5	-7.11	1.62	1.27	0.68
	6	-7.11	1.98	1.38	0.72
	7	-3.30	1.89	1.23	0.76
	8	-2.80	1.53	1.22	0.70
<i>GY</i>	1	-16.57	2.10	2.00	0.44
	2	-16.85	2.17	2.02	0.46
	3	1.80	1.74	1.25	0.72
	4	-24.47	2.00	2.00	0.40
	5	-6.07	1.68	1.29	0.69
	6	-6.56	1.73	1.20	0.74
	7	-3.07	1.58	1.27	0.68
	8	-2.96	1.55	1.15	0.73
<i>EFIXM</i>	1	-15.51	1.97	1.98	0.40
	2	-16.19	2.05	2.01	0.41

<i>TpBoia3</i>	<i>Configuració SWAN</i>	<i>Pbias (%)</i>	<i>STD</i>	<i>CRMSD</i>	<i>Coef. Correlació</i>
	3	1.77	1.75	1.30	0.70
	4	-21.88	2.00	2.04	0.37
	5	-7.13	1.61	1.18	0.73
	6	-6.25	1.67	1.20	0.73
	7	-6.61	1.66	1.35	0.65
	8	-4.67	1.67	1.31	0.68
<i>EFIXY</i>	1	-14.90	2.04	2.03	0.39
	2	-15.78	2.09	2.06	0.40
	3	1.02	1.84	1.31	0.72
	4	-21.99	2.03	2.06	0.37
	5	-7.07	1.69	1.20	0.73
	6	-7.59	1.79	1.19	0.76
	7	-5.07	1.64	1.36	0.65
	8	-5.00	1.71	1.34	0.67

Direcció mitjana de l'onatge

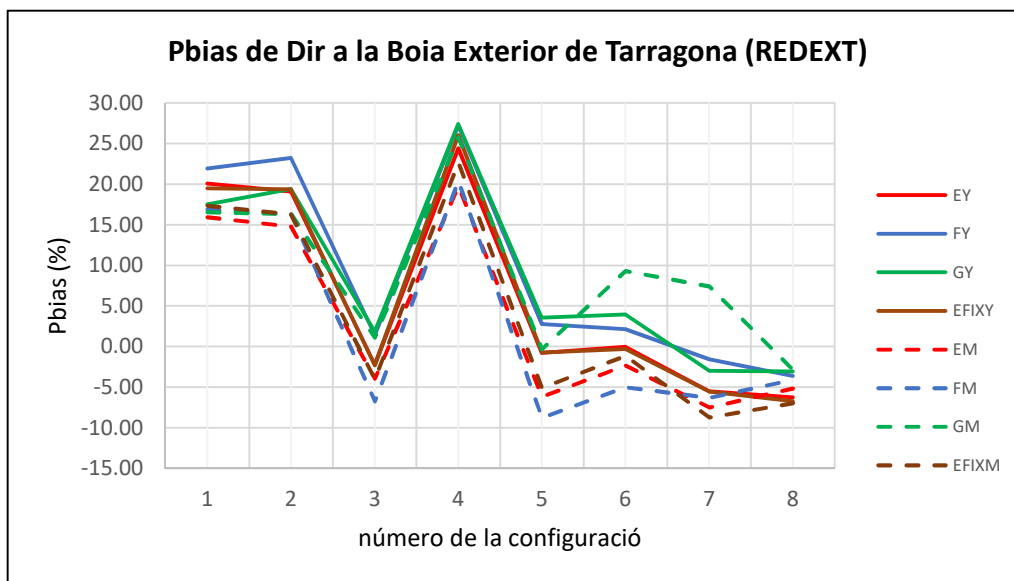


Figura 63: Evolució del Pbias de la direcció mitjana de l'onatge a la boia exterior de Tarragona per a cada una de les configuracions del model SWAN forçat amb camps de vent provinents de cada una de les configuracions del model WRF.

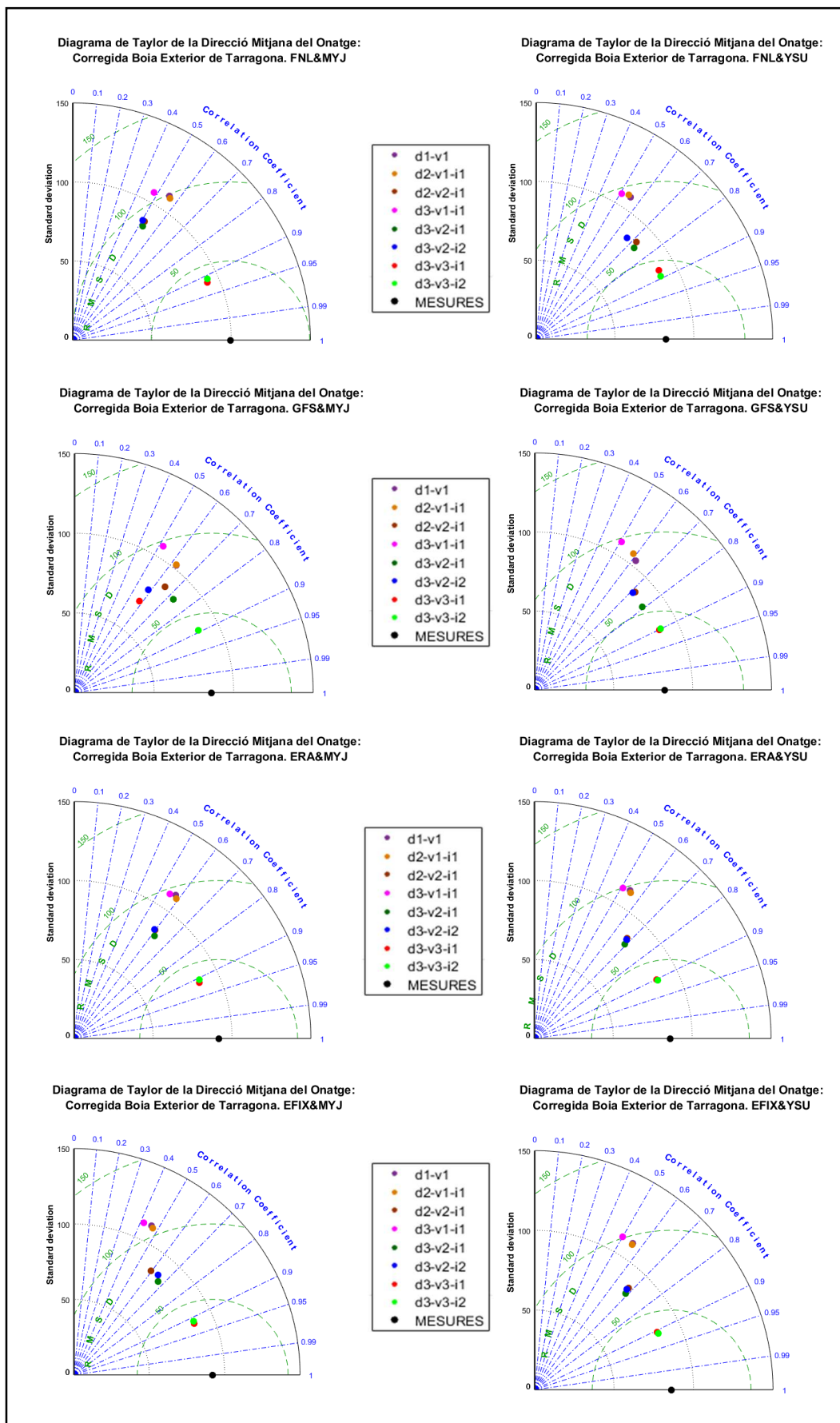


Figura 64: Diagrames de Taylor de la direcció mitjana de l'onatge a la boia exterior de Tarragona per a cada una de les configuracions del model SWAN forçat amb camps de vent provinents de cada una de les configuracions del model WRF.

Taula 9: Paràmetres estadístics de la direcció mitjana de l'onatge a la boia exterior de Tarragona per cada una de les configuracions del model SWAN forçat amb el camp de vents resultant de cada una de les configuracions del model WRF, respecte de les mesures. Pbias mesura la desviació, STD és la desviació estàndard, CRMSD és l'error quadràtic mig centrat i el Coef. Correlació mesura l'ajust.

DirBoia3	Configuració SWAN	Pbias (%)	STD	CRMSD	Coef. Correlació
Mesures		0.00	91.57	0.00	1.00
EM	1	15.93	111.21	94.73	0.58
	2	14.81	109.65	92.48	0.59
	3	-3.94	85.63	79.49	0.60
	4	19.80	109.55	96.53	0.55
	5	-6.20	82.56	76.72	0.62
	6	-2.32	85.86	80.31	0.59
	7	-7.49	86.95	37.33	0.91
	8	-5.15	87.64	39.17	0.91
EY	1	20.07	111.80	97.25	0.54
	2	19.09	110.52	95.70	0.55
	3	-2.22	86.45	69.14	0.68
	4	24.43	110.45	99.74	0.51
	5	-0.77	82.79	66.48	0.69
	6	-0.02	85.47	68.49	0.68
	7	-5.50	85.73	38.15	0.90
	8	-6.27	86.34	37.73	0.90
FM	1	16.93	109.61	99.07	0.56
	2	16.33	108.51	97.41	0.56
	3	-6.73	87.51	92.60	0.52
	4	20.43	106.64	105.13	0.48
	5	-8.77	84.49	90.93	0.52
	6	-5.00	87.85	93.97	0.50
	7	-6.32	92.52	39.28	0.92
	8	-4.10	93.37	41.53	0.91
FY	1	21.94	108.26	92.81	0.55
	2	23.25	108.70	94.49	0.54
	3	1.42	88.44	64.15	0.72
	4	27.27	107.05	96.40	0.51
	5	2.78	84.71	61.25	0.73
	6	2.13	86.29	68.77	0.67
	7	-1.58	89.10	43.79	0.87
	8	-3.62	88.51	39.82	0.89
GM	1	16.57	102.24	82.79	0.63
	2	16.35	102.68	83.22	0.62
	3	1.11	87.40	72.53	0.65
	4	25.79	107.58	96.87	0.52
	5	-0.31	85.37	63.52	0.73
	6	9.33	79.39	75.68	0.58
	7	7.43	70.41	73.27	0.58
	8	-2.84	87.28	40.01	0.89

<i>DirBoia3</i>	<i>Configuració SWAN</i>	<i>Pbias (%)</i>	<i>STD</i>	<i>CRMSD</i>	<i>Coef. Correlació</i>
GY	1	17.53	103.88	83.80	0.62
	2	19.41	106.53	88.51	0.59
	3	1.83	88.56	64.60	0.72
	4	27.43	108.53	97.49	0.51
	5	3.56	86.10	54.31	0.79
	6	3.97	87.67	64.86	0.71
	7	-2.97	87.62	38.30	0.90
	8	-3.07	88.38	38.67	0.90
EFIXM	1	17.36	111.60	106.83	0.46
	2	16.28	110.27	105.07	0.47
	3	-4.02	85.58	80.17	0.59
	4	22.67	111.13	110.72	0.42
	5	-5.07	83.41	71.60	0.67
	6	-1.12	86.76	75.45	0.65
	7	-8.73	86.50	36.10	0.92
	8	-6.97	86.96	37.57	0.91
EFIXY	1	19.50	110.70	95.15	0.56
	2	19.37	110.02	94.58	0.56
	3	-2.33	86.84	69.21	0.68
	4	26.04	110.80	100.83	0.50
	5	-0.74	83.11	67.08	0.69
	6	-0.31	85.76	69.12	0.68
	7	-5.56	85.23	37.09	0.91
	8	-6.74	85.70	36.46	0.91

Boia 4: Port de Tarragona (REDCOS)

Altura d'ona significant

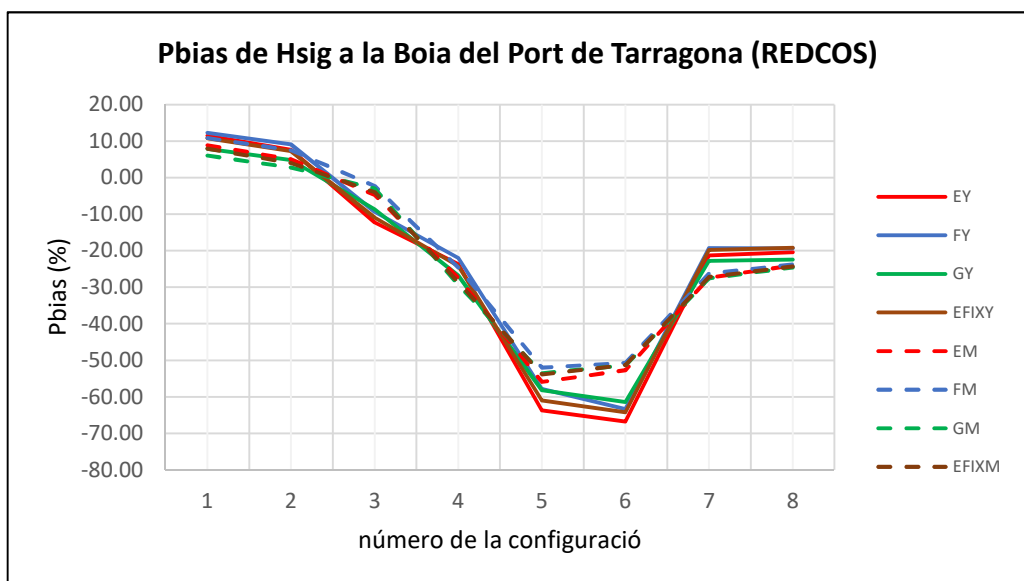


Figura 65: Evolució del Pbias de l'altura d'ona significant a la boia del port de Tarragona per a cada una de les configuracions del model SWAN forçat amb camps de vent provinents de cada una de les configuracions del model WRF.

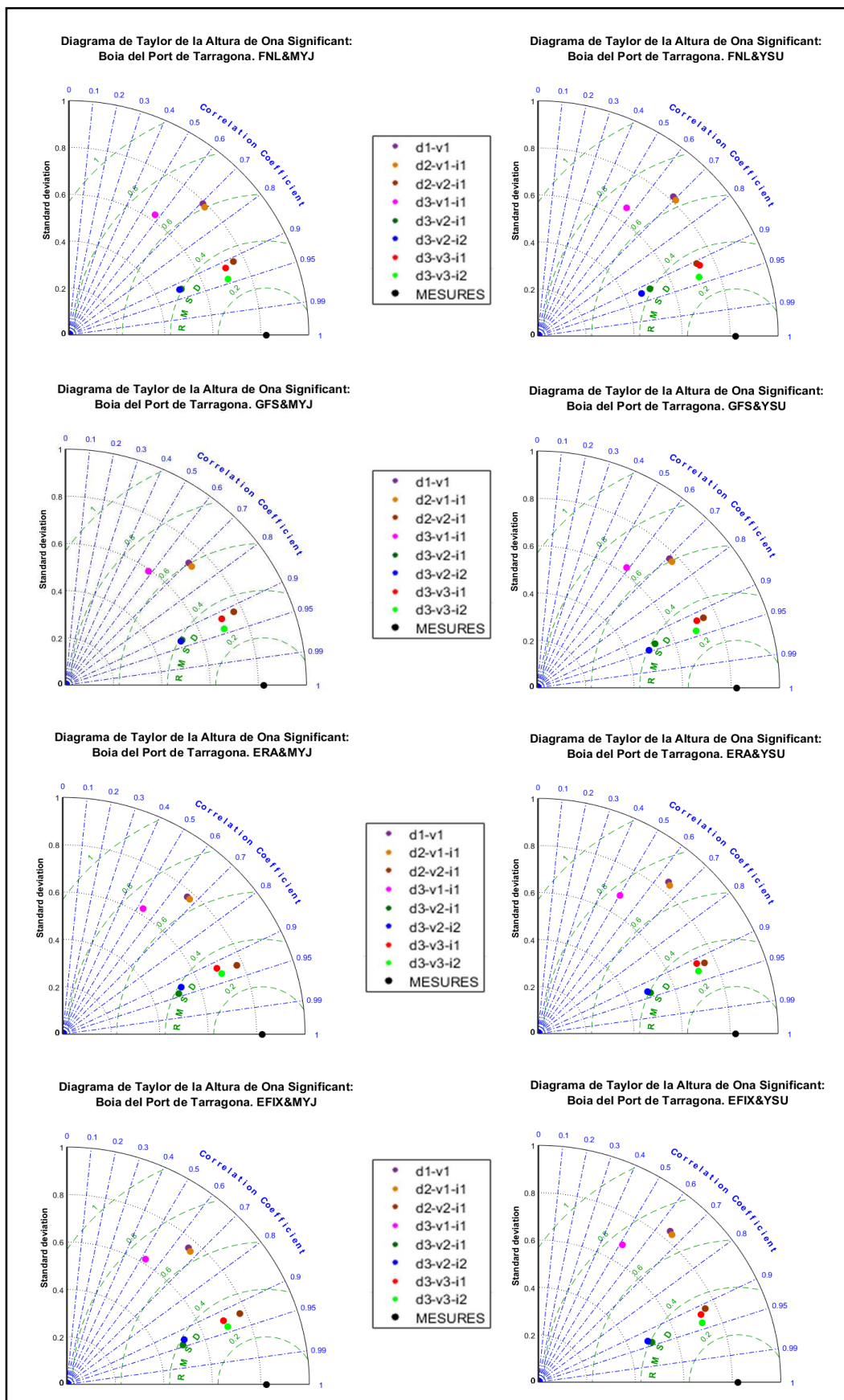


Figura 66: Diagrames de Taylor de l'altura d'ona significant a la boia del port de Tarragona per a cada una de les configuracions del model SWAN forçat amb camps de vent provinents de cada una de les configuracions del model WRF.

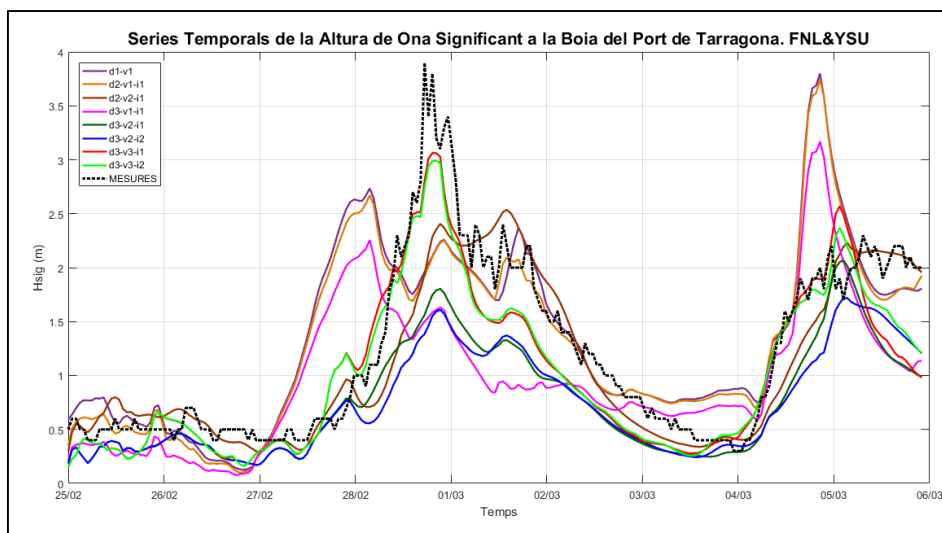


Figura 67: Sèries temporals de l'altura d'ona significant, en les diferents configuracions del model SWAN, a la boia del port de Tarragona, per al camp de vents resultant de la configuració FNL & YSU del model WRF.

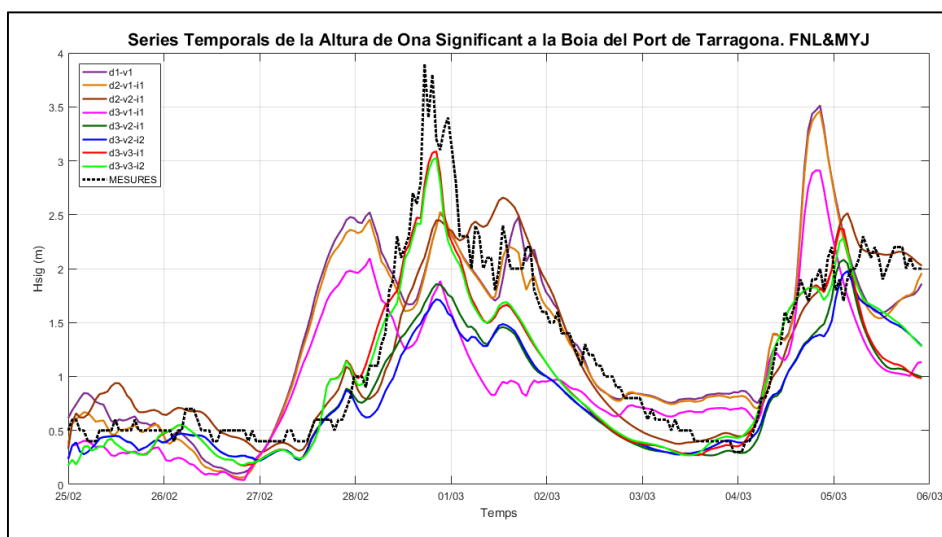


Figura 68: Sèries temporals de l'altura d'ona significant, en les diferents configuracions del model SWAN, a la boia del port de Tarragona, per al camp de vents resultant de la configuració FNL & MYJ del model WRF.

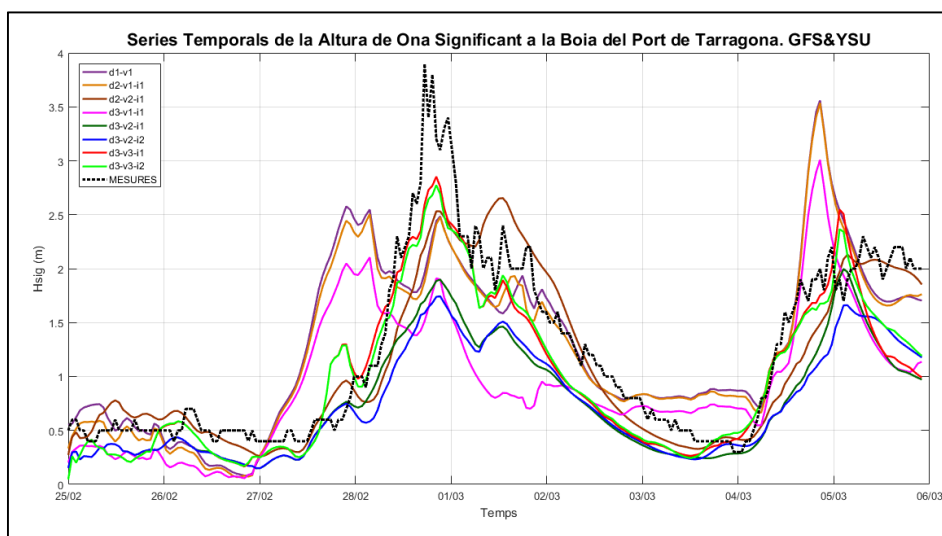


Figura 69: Sèries temporals de l'altura d'ona significant, en les diferents configuracions del model SWAN, a la boia del port de Tarragona, per al camp de vents resultant de la configuració GFS & YSU del model WRF.

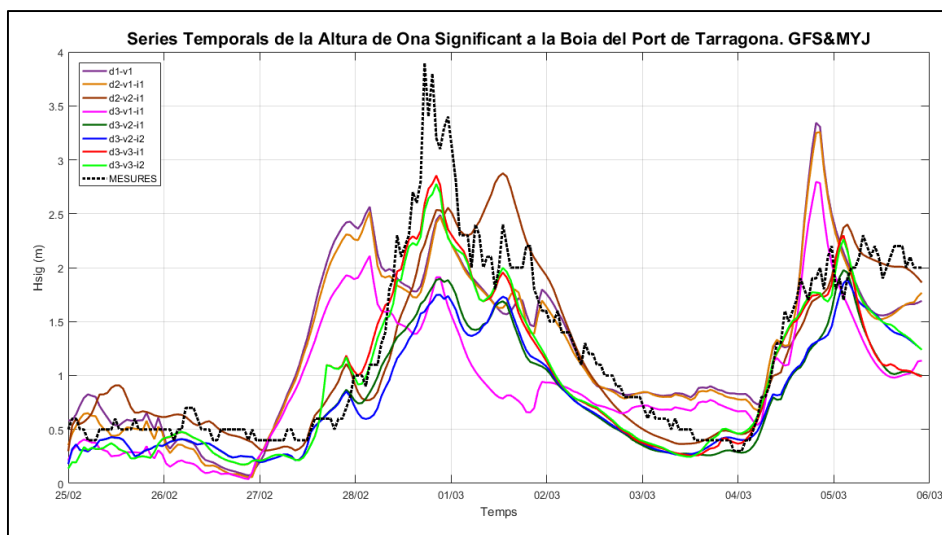


Figura 70: Sèries temporals de l'altura d'ona significant, en les diferents configuracions del model SWAN, a la boia del port de Tarragona, per al camp de vents resultant de la configuració GFS & MYJ del model WRF.

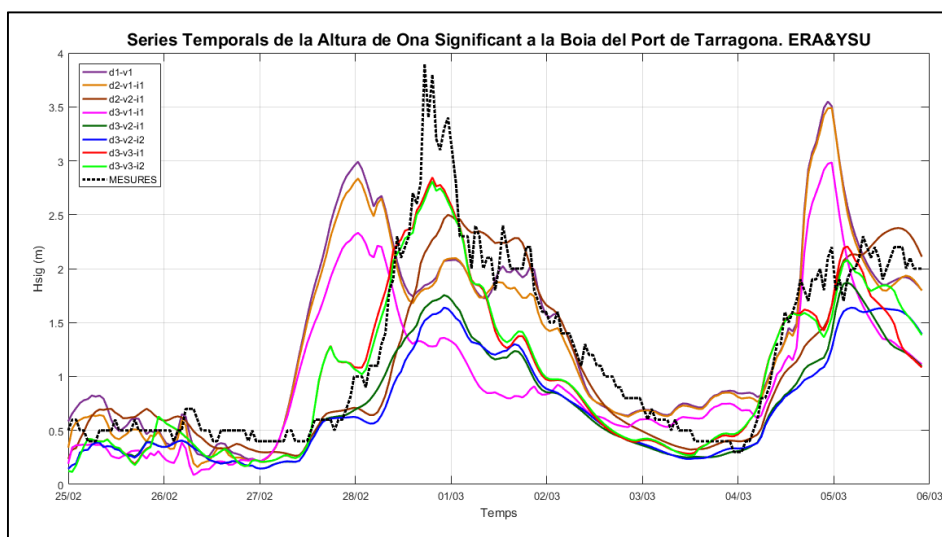


Figura 71: Sèries temporals de l'altura d'ona significant, en les diferents configuracions del model SWAN, a la boia del port de Tarragona, per al camp de vents resultant de la configuració ERA & YSU del model WRF.

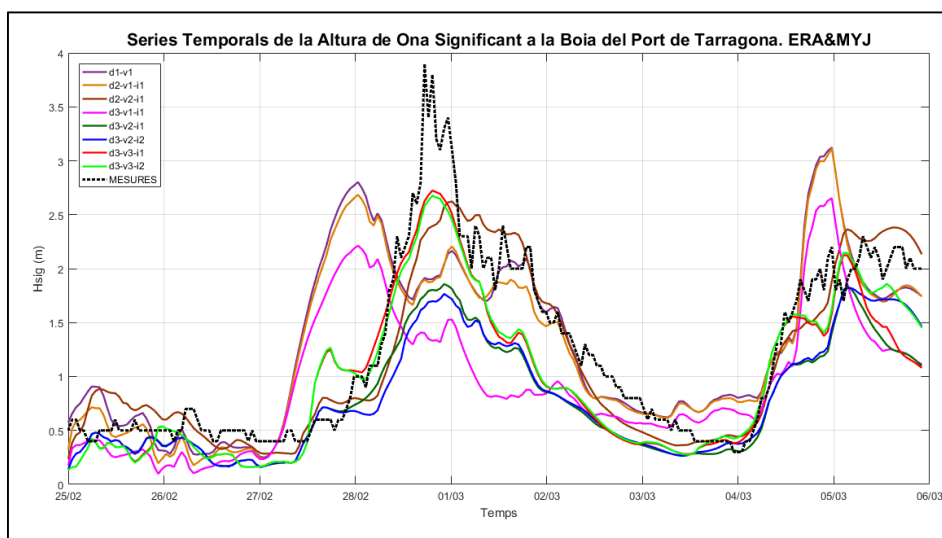


Figura 72: Sèries temporals de l'altura d'ona significant, en les diferents configuracions del model SWAN, a la boia del port de Tarragona, per al camp de vents resultant de la configuració ERA & MYJ del model WRF.

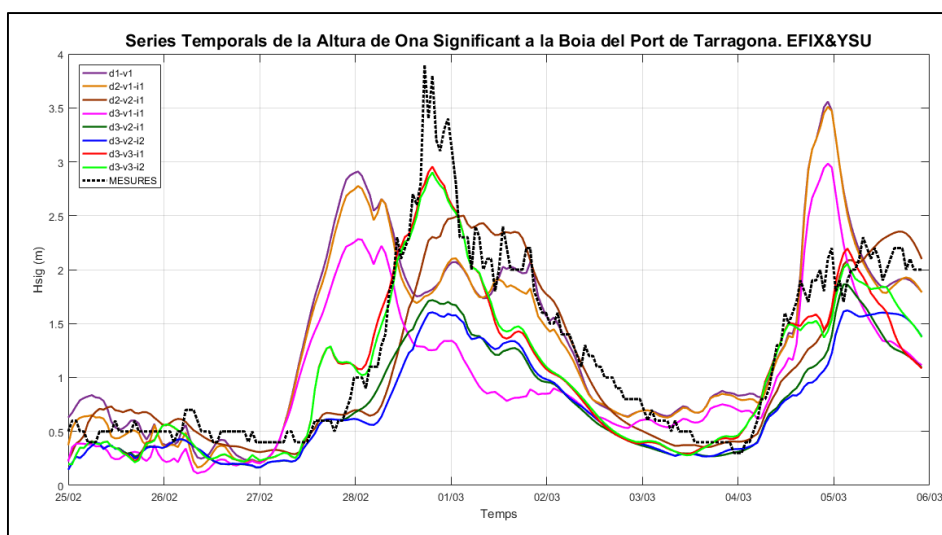


Figura 73: Sèries temporals de l'altura d'ona significant, en les diferents configuracions del model SWAN, a la boia del port de Tarragona, per al camp de vents resultant de la configuració EFIX & YSU del model WRF.

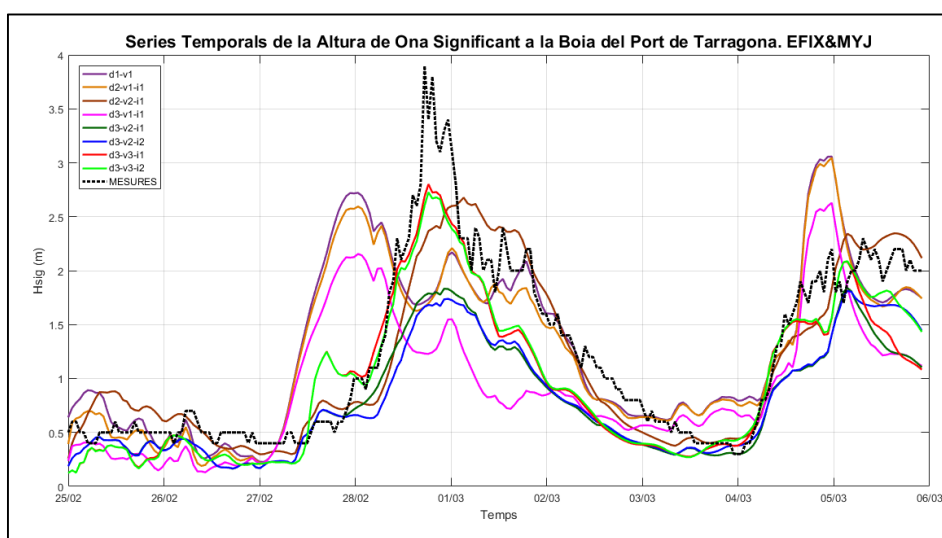


Figura 74: Sèries temporals de l'altura d'ona significant, en les diferents configuracions del model SWAN, a la boia del port de Tarragona, per al camp de vents resultant de la configuració EFIX & MYJ del model WRF.

Taula 10: Paràmetres estadístics de l'altura d'ona significant a la boia del port de Tarragona per cada una de les configuracions del model SWAN forçat amb el camp de vents resultant de cada una de les configuracions del model WRF, respecte de les mesures. Pbias mesura la desviació, STD és la desviació estàndard, CRMSD és l'error quadràtic mig centrat i el Coef. Correlació mesura l'ajust.

HsigBoia9	Configuració SWAN	Pbias (%)	STD	CRMSD	Coef. Correlació
Mesures		0.00	0.82	0.00	1.00
EM	1	8.89	0.78	0.66	0.66
	2	5.12	0.77	0.64	0.68
	3	-4.74	0.78	0.31	0.93
	4	-27.39	0.63	0.72	0.53
	5	-55.88	0.51	0.38	0.94
	6	-52.65	0.53	0.39	0.93
	7	-27.36	0.69	0.33	0.92

<i>HsigBoia9</i>	<i>Configuració SWAN</i>	<i>Pbias (%)</i>	<i>STD</i>	<i>CRMSD</i>	<i>Coef. Correlació</i>
	8	-24.04	0.70	0.30	0.93
EY	1	11.47	0.84	0.70	0.64
	2	7.65	0.83	0.69	0.66
	3	-12.31	0.76	0.33	0.92
	4	-23.69	0.68	0.76	0.50
	5	-63.74	0.50	0.39	0.94
	6	-66.75	0.49	0.41	0.93
	7	-21.28	0.73	0.34	0.91
	8	-20.42	0.72	0.31	0.93
FM	1	10.88	0.79	0.62	0.71
	2	7.51	0.79	0.60	0.72
	3	-2.27	0.75	0.34	0.91
	4	-24.65	0.63	0.69	0.57
	5	-51.97	0.51	0.40	0.92
	6	-50.64	0.50	0.41	0.92
	7	-26.17	0.71	0.33	0.92
	8	-23.73	0.70	0.29	0.94
FY	1	12.25	0.82	0.65	0.69
	2	9.09	0.81	0.63	0.71
	3	-9.35	0.73	0.35	0.91
	4	-22.02	0.66	0.71	0.56
	5	-57.85	0.51	0.41	0.92
	6	-63.33	0.47	0.43	0.92
	7	-19.31	0.74	0.34	0.91
	8	-19.36	0.72	0.29	0.94
GM	1	6.06	0.73	0.60	0.70
	2	2.80	0.73	0.59	0.72
	3	-2.99	0.76	0.33	0.91
	4	-29.34	0.59	0.68	0.58
	5	-53.49	0.52	0.39	0.93
	6	-51.33	0.51	0.39	0.93
	7	-27.50	0.71	0.33	0.92
	8	-24.55	0.70	0.29	0.94
GY	1	7.85	0.77	0.61	0.71
	2	4.78	0.77	0.60	0.72
	3	-8.68	0.75	0.33	0.92
	4	-26.82	0.63	0.68	0.59
	5	-58.16	0.52	0.38	0.93
	6	-61.43	0.49	0.40	0.95
	7	-22.79	0.72	0.33	0.92
	8	-22.46	0.70	0.29	0.94
EFIXM	1	7.97	0.76	0.66	0.66
	2	4.02	0.76	0.64	0.67
	3	-3.93	0.77	0.32	0.92

<i>HsigBoia9</i>	<i>Configuració SWAN</i>	<i>Pbias (%)</i>	<i>STD</i>	<i>CRMSD</i>	<i>Coef. Correlació</i>
	4	-28.69	0.62	0.72	0.53
	5	-53.83	0.51	0.38	0.95
	6	-51.26	0.52	0.39	0.93
	7	-27.17	0.70	0.32	0.92
	8	-24.26	0.71	0.29	0.94
<i>EFIXY</i>	1	10.76	0.84	0.69	0.65
	2	7.29	0.83	0.68	0.66
	3	-10.96	0.76	0.34	0.91
	4	-24.19	0.68	0.75	0.51
	5	-60.96	0.50	0.39	0.94
	6	-64.26	0.48	0.41	0.93
	7	-19.82	0.73	0.32	0.92
	8	-19.19	0.72	0.29	0.94

Període de pic

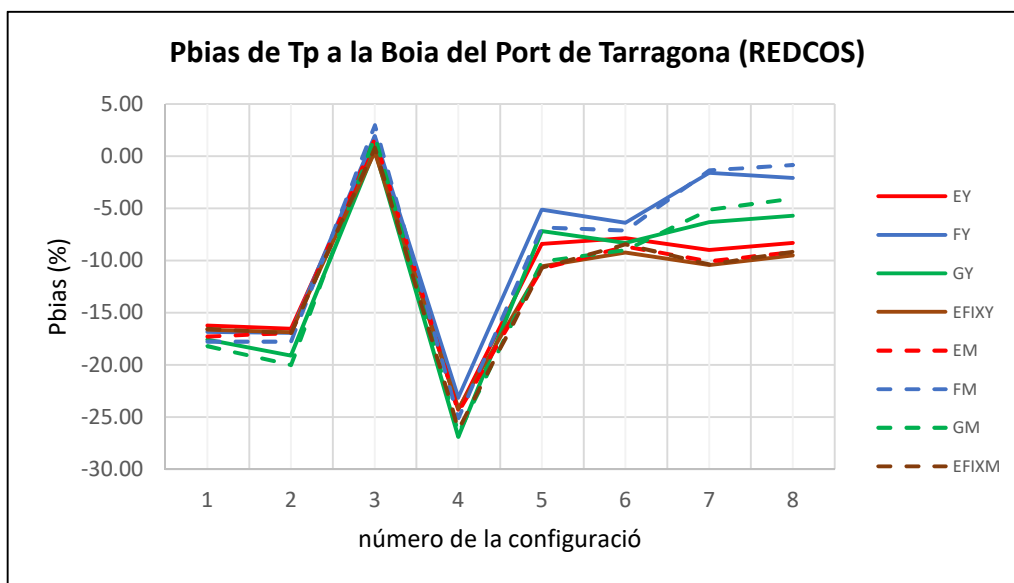


Figura 75: Evolució del Pbias del període de pic a la boia del port de Tarragona per a cada una de les configuracions del model SWAN forçat amb camps de vent provinents de cada una de les configuracions del model WRF.

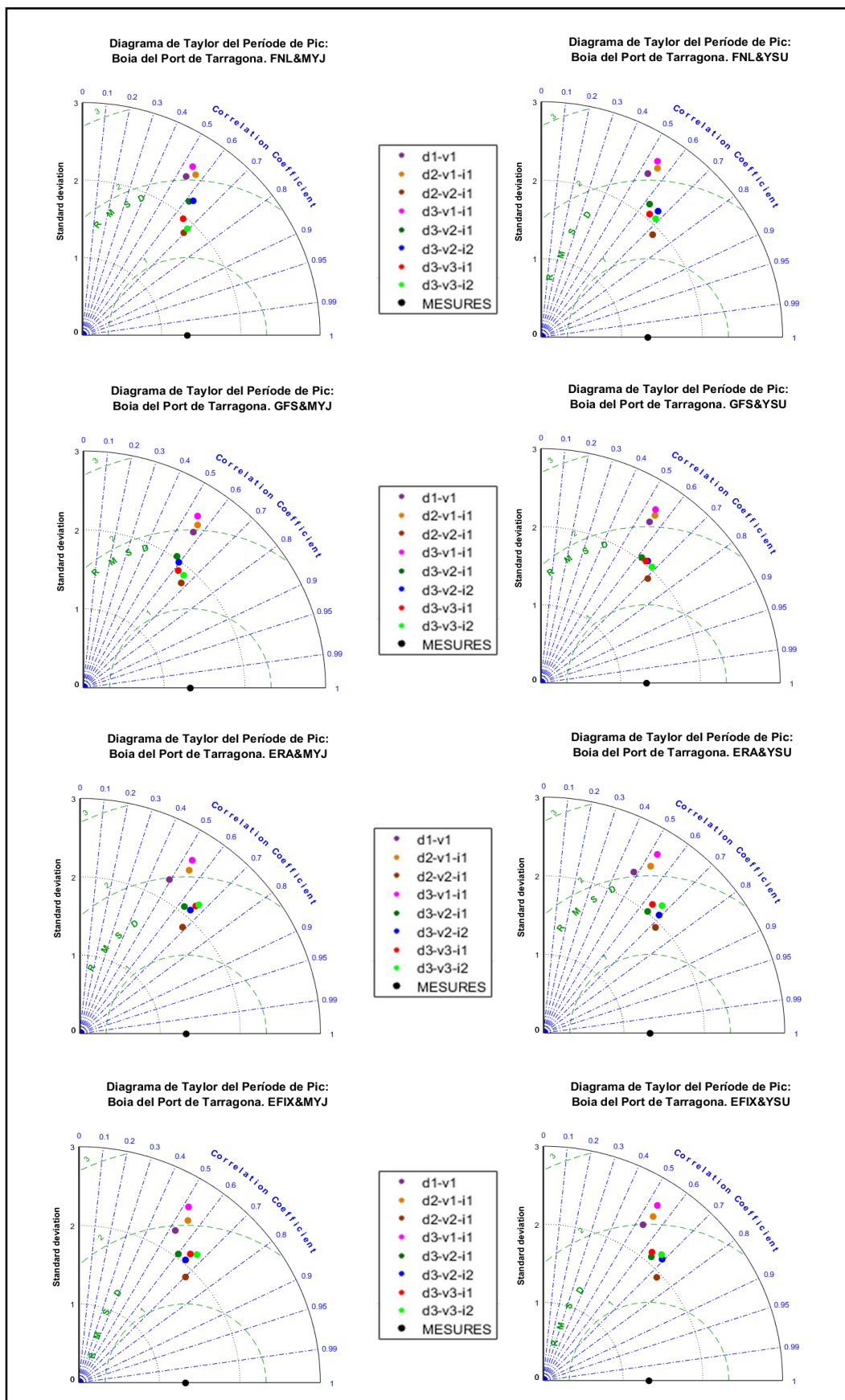


Figura 76: Diagrames de Taylor del període de pic a la boia del port de Tarragona per a cada una de les configuracions del model SWAN forçat amb camps de vent provinents de cada una de les configuracions del model WRF.

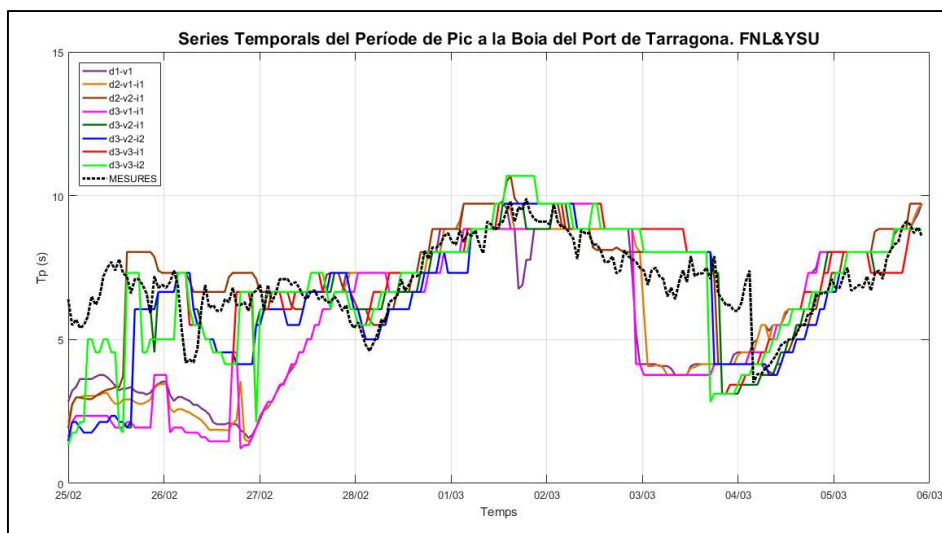


Figura 77: Sèries temporals del període de pic, en les diferents configuracions del model SWAN, a la boia del port de Tarragona, per al camp de vents resultant de la configuració FNL & YSU del model WRF.

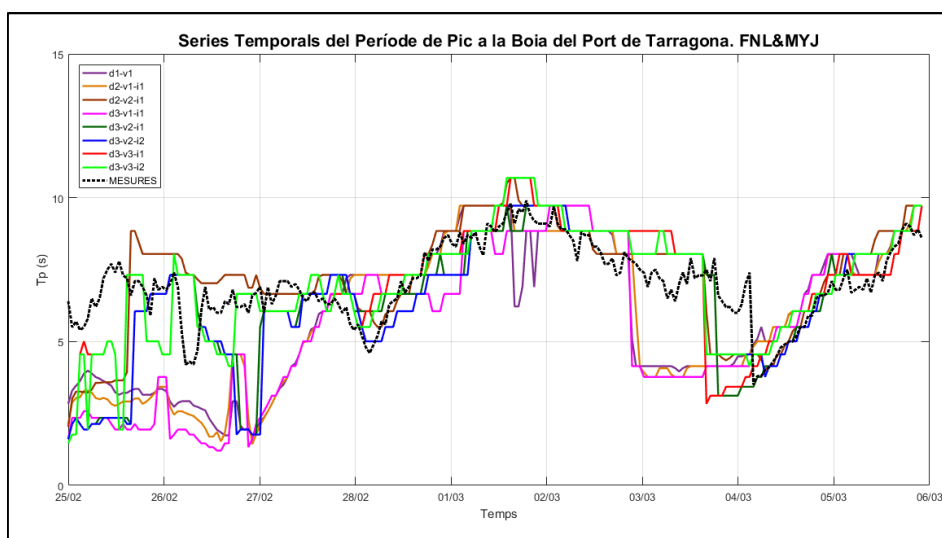


Figura 78: Sèries temporals del període de pic, en les diferents configuracions del model SWAN, a la boia del port de Tarragona, per al camp de vents resultant de la configuració FNL & MYJ del model WRF.

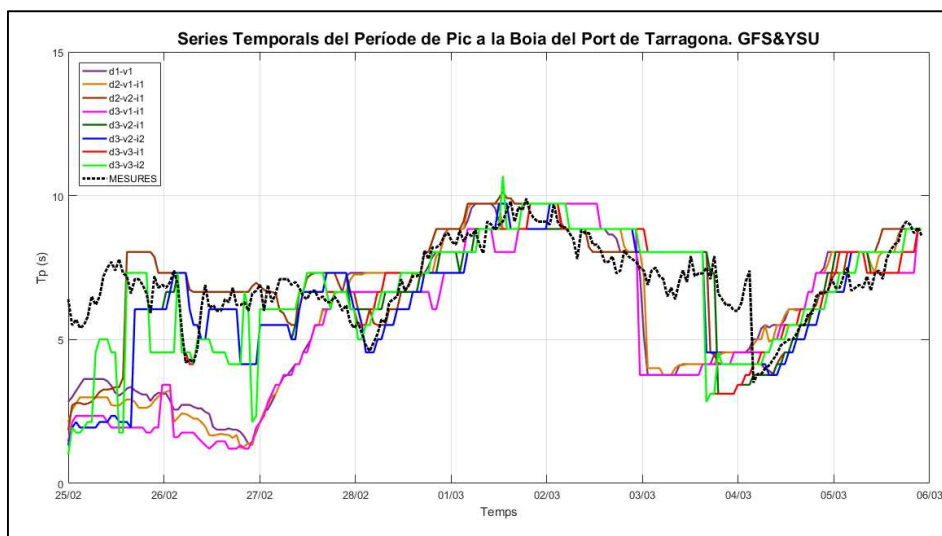


Figura 79: Sèries temporals del període de pic, en les diferents configuracions del model SWAN, a la boia del port de Tarragona, per al camp de vents resultant de la configuració GFS & YSU del model WRF.

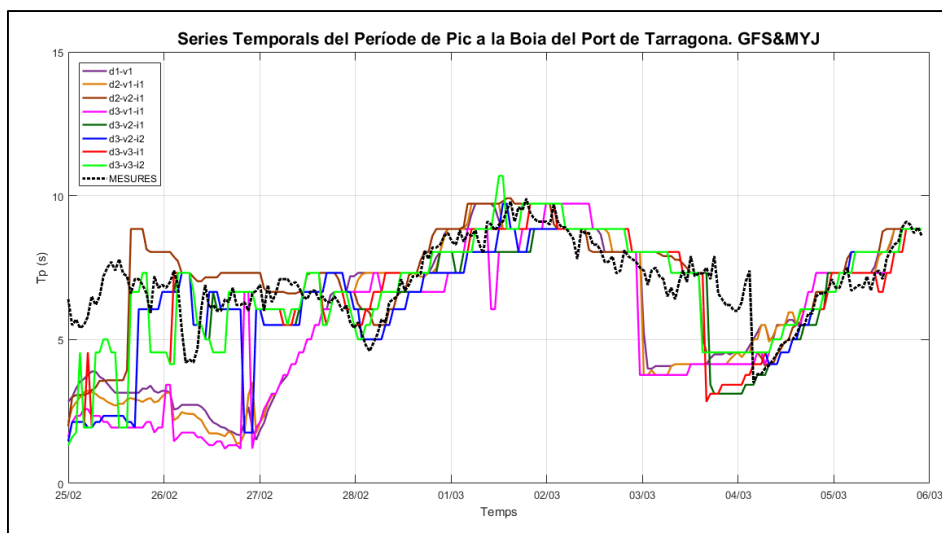


Figura 80: Sèries temporals del període de pic, en les diferents configuracions del model SWAN, a la boia del port de Tarragona, per al camp de vents resultant de la configuració GFS & MYJ del model WRF.

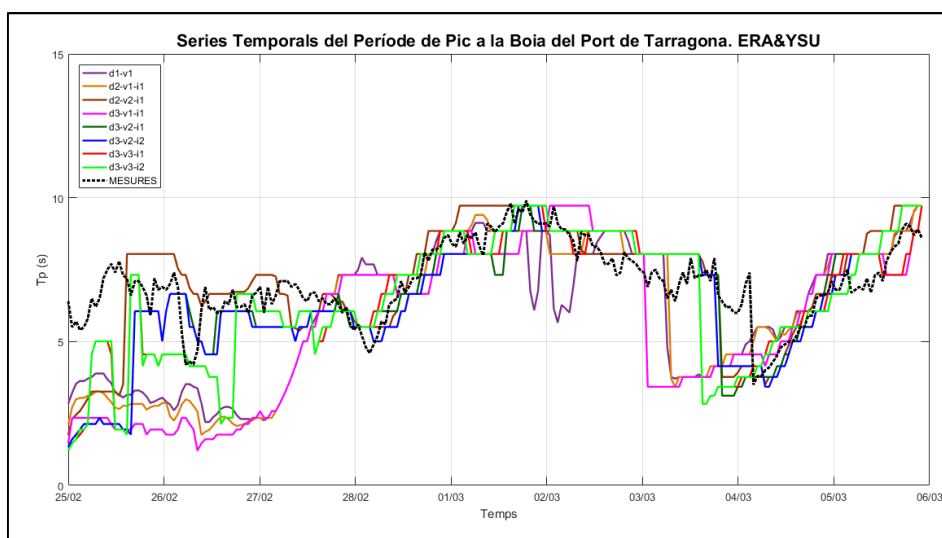


Figura 81: Sèries temporals del període de pic, en les diferents configuracions del model SWAN, a la boia del port de Tarragona, per al camp de vents resultant de la configuració ERA & YSU del model WRF.

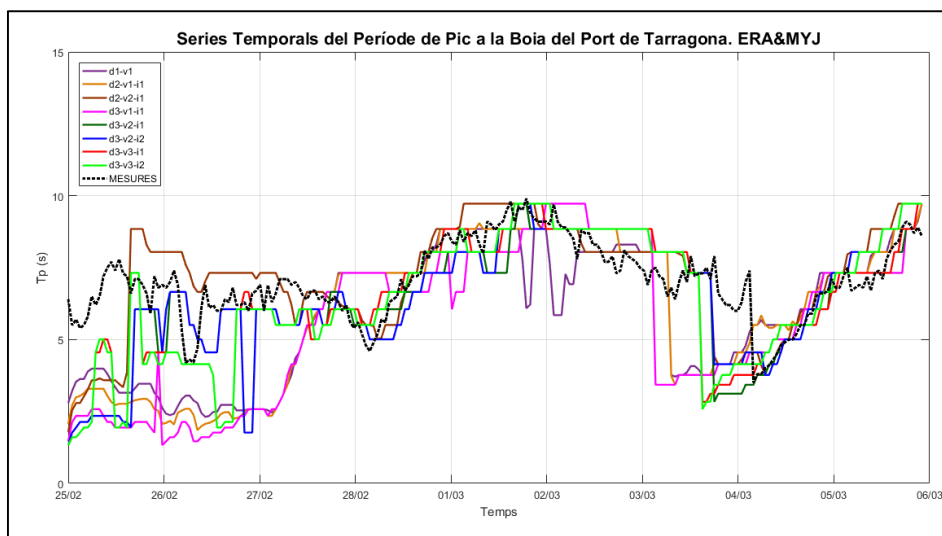


Figura 82: Sèries temporals del període de pic, en les diferents configuracions del model SWAN, a la boia del port de Tarragona, per al camp de vents resultant de la configuració ERA & MYJ del model WRF.

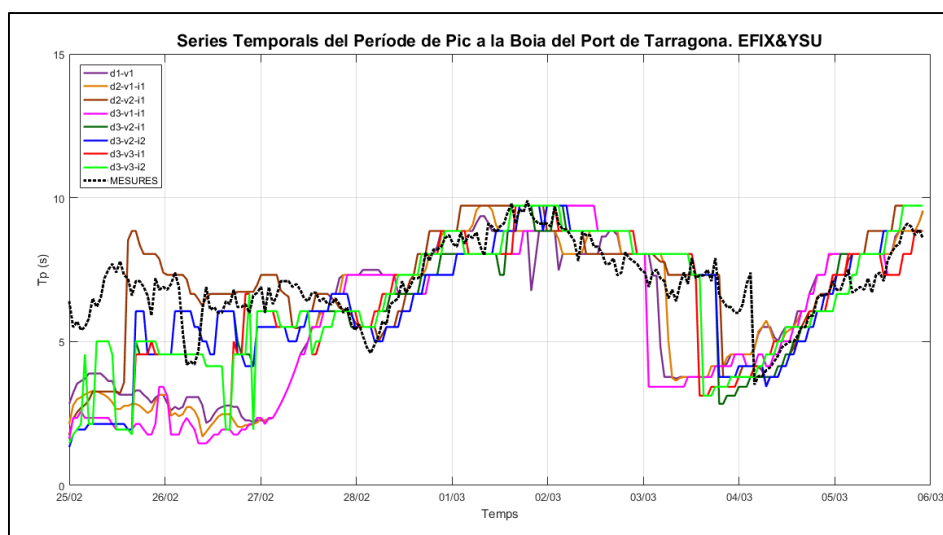


Figura 83: Sèries temporals del període de pic, en les diferents configuracions del model SWAN, a la boia del port de Tarragona, per al camp de vents resultant de la configuració EFIX & YSU del model WRF.

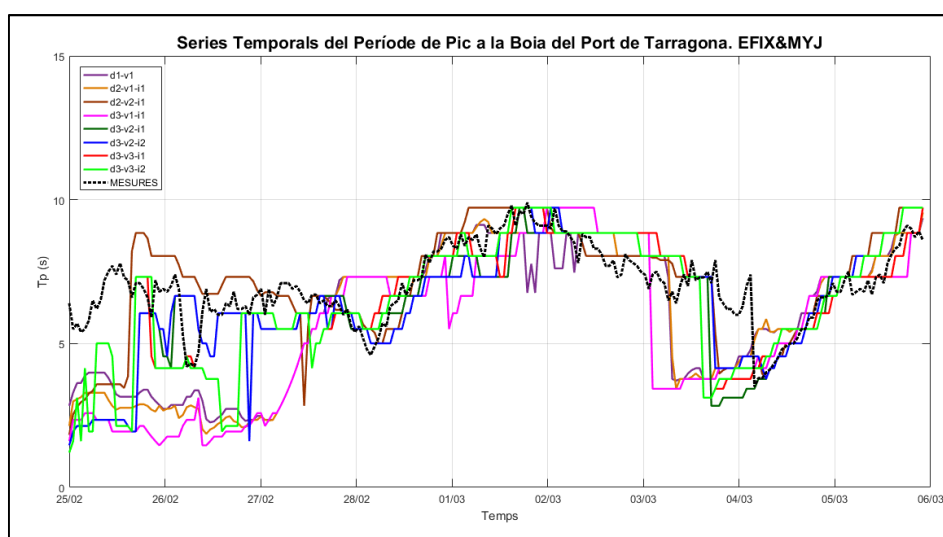


Figura 84: Sèries temporals del període de pic, en les diferents configuracions del model SWAN, a la boia del port de Tarragona, per al camp de vents resultant de la configuració EFIX & MYJ del model WRF.

Taula 11: Paràmetres estadístics del període de pic a la boia del port de Tarragona per cada una de les configuracions del model SWAN forçat amb el camp de vents resultant de cada una de les configuracions del model WRF, respecte de les mesures. Pbias mesura la desviació, STD és la desviació estàndard, CRMSD és l'error quadràtic mig centrat i el Coef. Correlació mesura l'ajust.

TpBoia9	Configuració SWAN	Pbias (%)	STD	CRMSD	Coef. Correlació
Mesures		0.00	1.33	0.00	1.00
EM	1	-17.27	2.26	1.97	0.49
	2	-16.94	2.49	2.09	0.55
	3	1.69	1.87	1.36	0.69
	4	-24.50	2.62	2.22	0.54
	5	-10.78	2.08	1.62	0.63
	6	-8.65	2.09	1.58	0.66

<i>TpBoia9</i>	<i>Configuració SWAN</i>	<i>Pbias (%)</i>	<i>STD</i>	<i>CRMSD</i>	<i>Coef. Correlació</i>
	7	-10.07	2.18	1.64	0.66
	8	-9.17	2.21	1.65	0.67
<i>EY</i>	1	-16.23	2.33	2.05	0.48
	2	-16.53	2.51	2.12	0.53
	3	1.15	1.94	1.35	0.72
	4	-24.28	2.67	2.27	0.53
	5	-8.41	2.01	1.54	0.64
	6	-7.86	2.08	1.51	0.69
	7	-8.99	2.13	1.63	0.64
	8	-8.31	2.19	1.63	0.67
<i>FM</i>	1	-17.76	2.43	2.05	0.54
	2	-17.76	2.51	2.07	0.57
	3	2.99	1.84	1.32	0.70
	4	-25.08	2.58	2.18	0.54
	5	-6.80	2.19	1.73	0.62
	6	-7.11	2.23	1.73	0.63
	7	-1.36	1.97	1.50	0.65
	8	-0.83	1.91	1.38	0.69
<i>FY</i>	1	-16.83	2.47	2.08	0.54
	2	-16.93	2.59	2.15	0.56
	3	1.92	1.90	1.30	0.73
	4	-23.15	2.67	2.25	0.54
	5	-5.13	2.17	1.70	0.62
	6	-6.39	2.17	1.61	0.67
	7	-1.59	2.07	1.57	0.65
	8	-2.08	2.07	1.51	0.69
<i>GM</i>	1	-18.18	2.40	1.97	0.57
	2	-20.00	2.50	2.07	0.57
	3	1.87	1.80	1.33	0.68
	4	-26.55	2.59	2.18	0.54
	5	-10.08	2.03	1.67	0.57
	6	-9.00	1.98	1.60	0.60
	7	-5.12	1.89	1.50	0.62
	8	-4.04	1.89	1.43	0.66
<i>GY</i>	1	-17.57	2.47	2.06	0.55
	2	-19.10	2.58	2.14	0.56
	3	0.62	1.89	1.34	0.71
	4	-26.90	2.65	2.23	0.54
	5	-7.19	2.04	1.61	0.62
	6	-8.32	2.06	1.56	0.65
	7	-6.32	2.04	1.56	0.64
	8	-5.71	2.04	1.49	0.68
<i>EFIXM</i>	1	-16.52	2.28	1.94	0.53
	2	-16.96	2.47	2.07	0.55

<i>TpBoia9</i>	<i>Configuració SWAN</i>	<i>Pbias (%)</i>	<i>STD</i>	<i>CRMSD</i>	<i>Coef. Correlació</i>
	3	0.82	1.89	1.34	0.70
	4	-26.18	2.62	2.24	0.52
	5	-10.67	2.05	1.64	0.60
	6	-8.42	2.05	1.56	0.65
	7	-10.37	2.14	1.64	0.65
	8	-9.13	2.19	1.63	0.67
<i>EFIXY</i>	1	-16.61	2.35	2.00	0.53
	2	-16.86	2.51	2.10	0.55
	3	0.40	1.94	1.33	0.73
	4	-24.21	2.66	2.25	0.54
	5	-10.54	2.09	1.59	0.65
	6	-9.22	2.15	1.56	0.69
	7	-10.42	2.14	1.65	0.64
	8	-9.52	2.19	1.62	0.68

Direcció mitjana de l'onatge

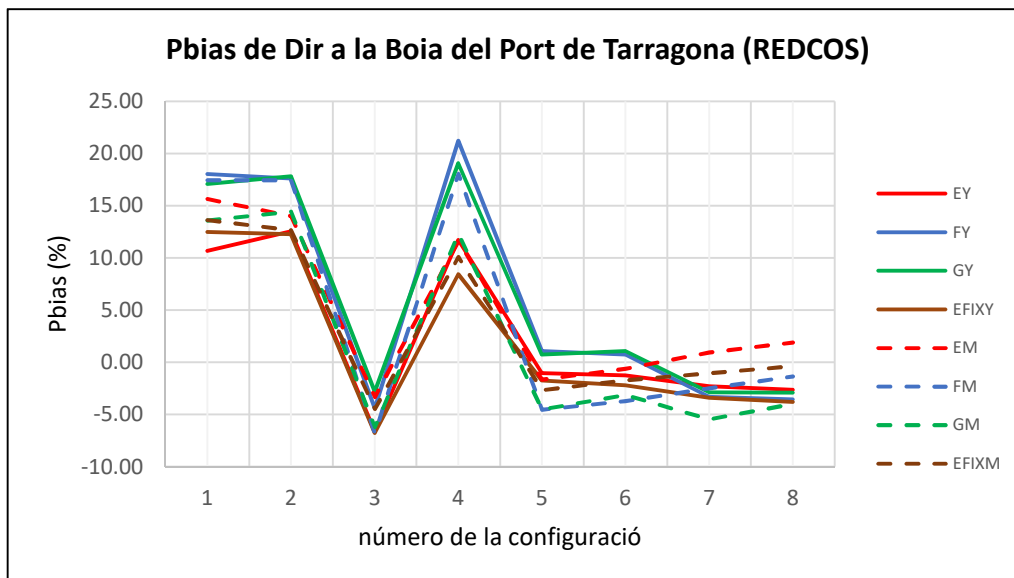


Figura 85: Evolució del Pbias de la direcció mitjana de l'onatge a la boia del port de Tarragona per a cada una de les configuracions del model SWAN forçat amb camps de vent provinents de cada una de les configuracions del model WRF.

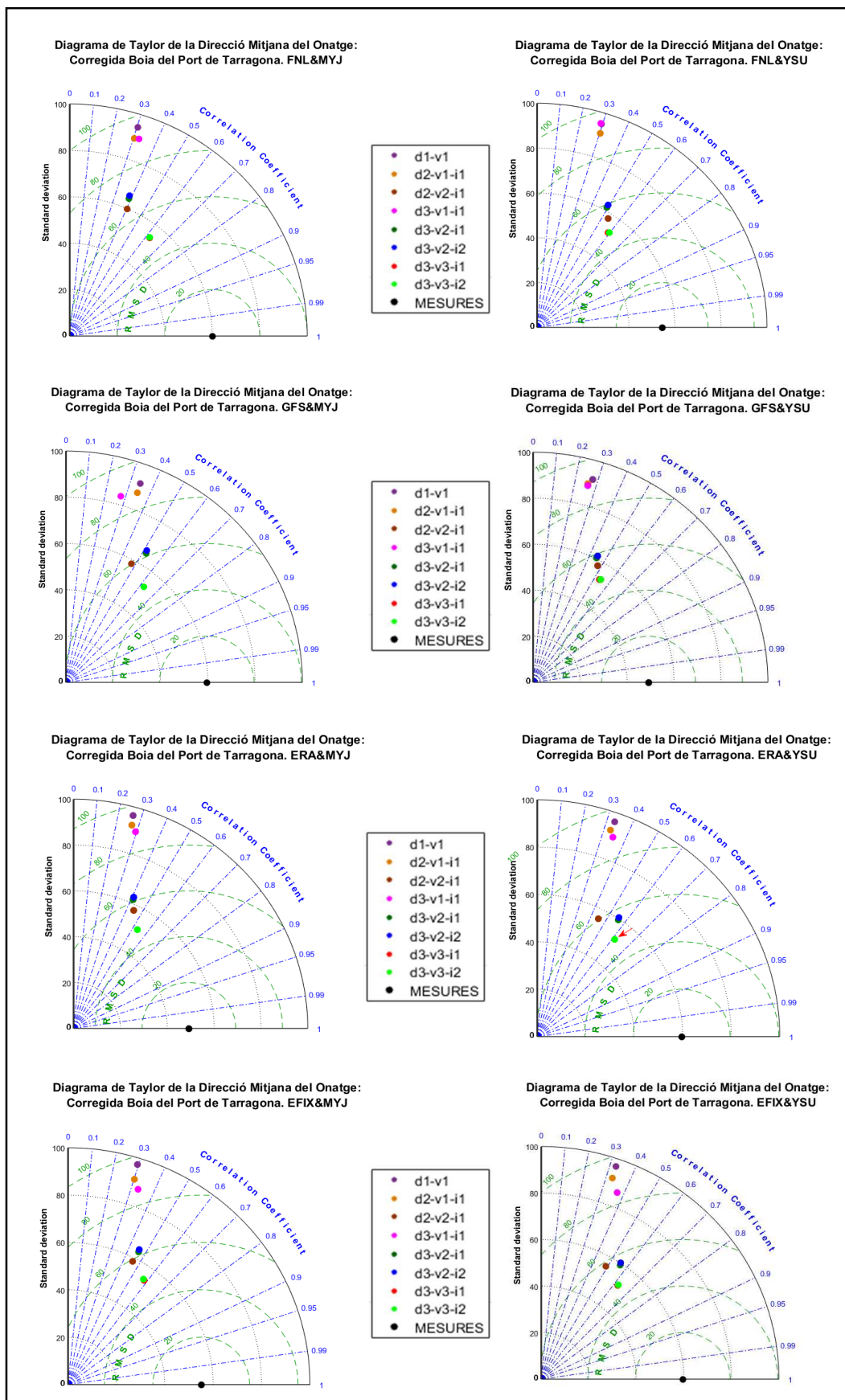


Figura 86: Diagrames de Taylor de la direcció mitjana de l'onatge a la boia del port de Tarragona per a cada una de les configuracions del model SWAN forçat amb camps de vent provinents de cada una de les configuracions del model WRF.

Taula 12: Paràmetres estadístics de la direcció mitjana de l'onatge a la boia del port de Tarragona per cada una de les configuracions del model SWAN forçat amb el camp de vents resultant de cada una de les configuracions del model WRF, respecte de les mesures. Pbias mesura la desviació, STD és la desviació estàndard, CRMSD és l'error quadràtic mig centrat i el Coef. Correlació mesura l'ajust.

DirBoia9	Configuració SWAN	Pbias (%)	STD	CRMSD	Coef. Correlació
Mesures		0.00	49.22	0.00	1.00
EM	1	15.66	96.23	95.76	0.27
	2	14.04	92.09	91.88	0.27
	3	-3.31	57.58	56.77	0.44
	4	11.64	89.92	88.86	0.30
	5	-1.64	61.65	61.06	0.41
	6	-0.61	62.63	61.79	0.41
	7	0.95	51.06	48.43	0.53
	8	1.91	50.91	48.26	0.54
EY	1	10.67	96.05	94.73	0.33
	2	12.57	92.24	92.02	0.33
	3	-6.64	55.67	60.38	0.45
	4	11.72	89.73	88.83	0.35
	5	-1.04	59.54	55.88	0.56
	6	-1.24	60.38	56.45	0.56
	7	-2.30	52.04	49.37	0.62
	8	-2.61	52.02	49.47	0.61
FM	1	17.47	94.33	95.12	0.30
	2	17.46	89.39	91.26	0.30
	3	-6.79	59.84	65.52	0.40
	4	18.08	89.83	90.43	0.32
	5	-4.53	64.36	68.94	0.39
	6	-3.70	65.61	69.78	0.39
	7	-2.47	54.06	49.85	0.62
	8	-1.33	54.24	49.92	0.62
FY	1	18.04	94.94	94.51	0.29
	2	17.62	90.79	90.65	0.30
	3	-4.39	57.47	53.95	0.54
	4	21.25	95.15	94.80	0.29
	5	1.10	61.71	58.79	0.49
	6	0.76	62.73	59.34	0.49
	7	-3.29	52.45	48.35	0.59
	8	-3.53	52.56	48.12	0.60
GM	1	13.60	91.44	90.43	0.34
	2	14.46	87.34	86.99	0.35
	3	-6.19	58.14	60.30	0.48
	4	12.30	83.83	88.39	0.28
	5	-4.49	65.39	61.41	0.52
	6	-3.13	66.40	62.30	0.52
	7	-5.45	52.70	49.06	0.62
	8	-3.97	52.90	49.19	0.62

<i>DirBoia9</i>	<i>Configuració SWAN</i>	<i>Pbias (%)</i>	<i>STD</i>	<i>CRMSD</i>	<i>Coef. Correlació</i>
GY	1	17.08	91.77	91.39	0.28
	2	17.82	89.50	90.19	0.26
	3	-2.80	57.71	55.08	0.48
	4	19.08	88.73	89.43	0.26
	5	0.76	60.49	58.49	0.45
	6	1.10	61.44	59.06	0.45
	7	-2.87	52.88	49.18	0.54
	8	-2.90	53.01	49.04	0.54
EFIXM	1	13.64	97.12	96.49	0.30
	2	12.69	90.87	90.98	0.30
	3	-4.46	58.33	59.18	0.46
	4	10.10	87.44	86.55	0.33
	5	-2.66	63.26	61.73	0.46
	6	-1.70	64.25	62.57	0.46
	7	-1.04	54.08	49.99	0.58
	8	-0.35	54.32	50.44	0.57
EFIXY	1	12.49	96.60	95.62	0.32
	2	12.28	91.54	91.40	0.33
	3	-6.78	55.54	58.24	0.49
	4	8.43	86.41	84.85	0.37
	5	-1.73	59.14	55.71	0.56
	6	-2.19	60.03	56.41	0.55
	7	-3.39	51.67	48.70	0.62
	8	-3.79	51.83	48.80	0.62